

Program EVALPLOT  
(Version 2015-2)

by

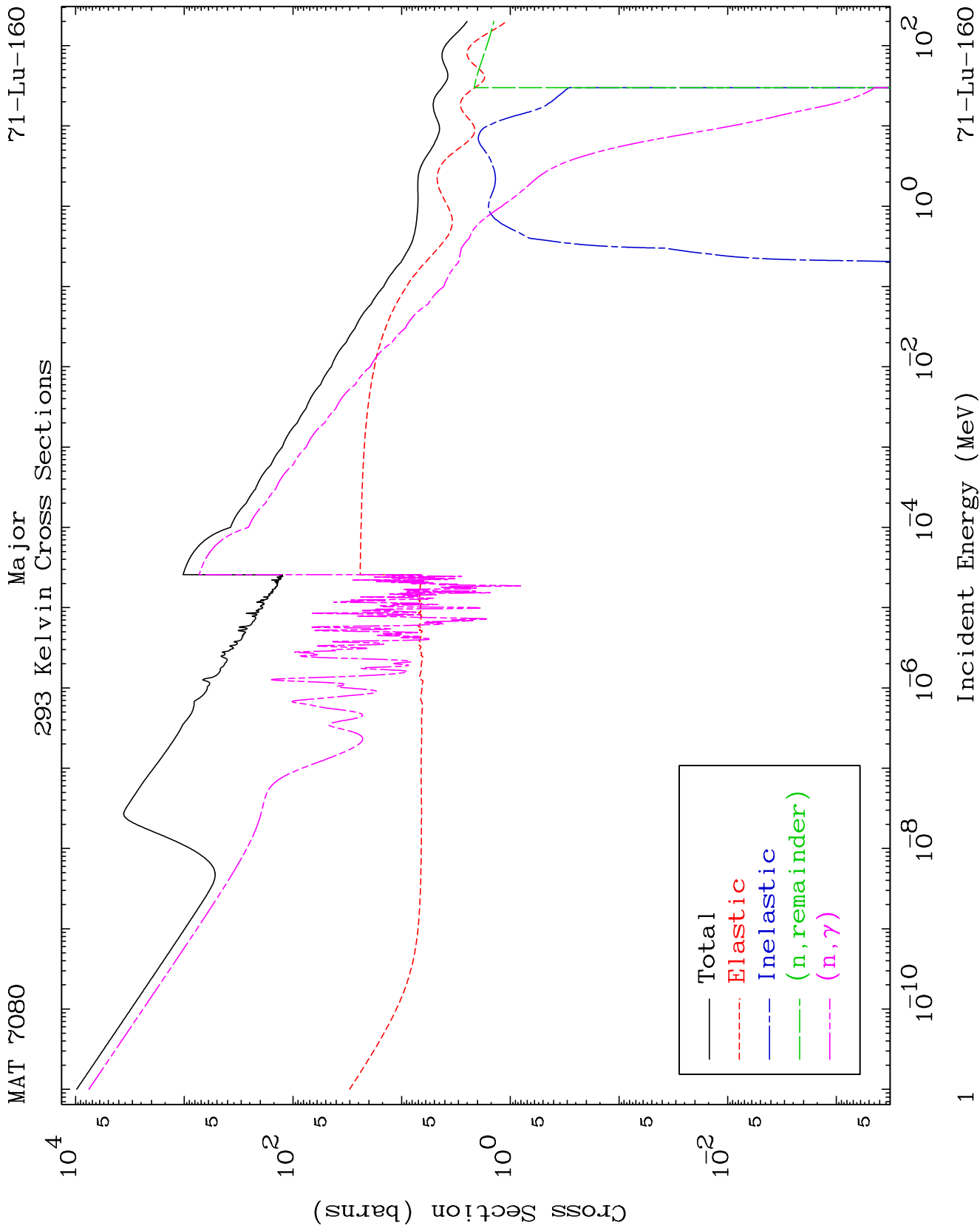
Dermott E. Cullen  
(Present Contact Information)

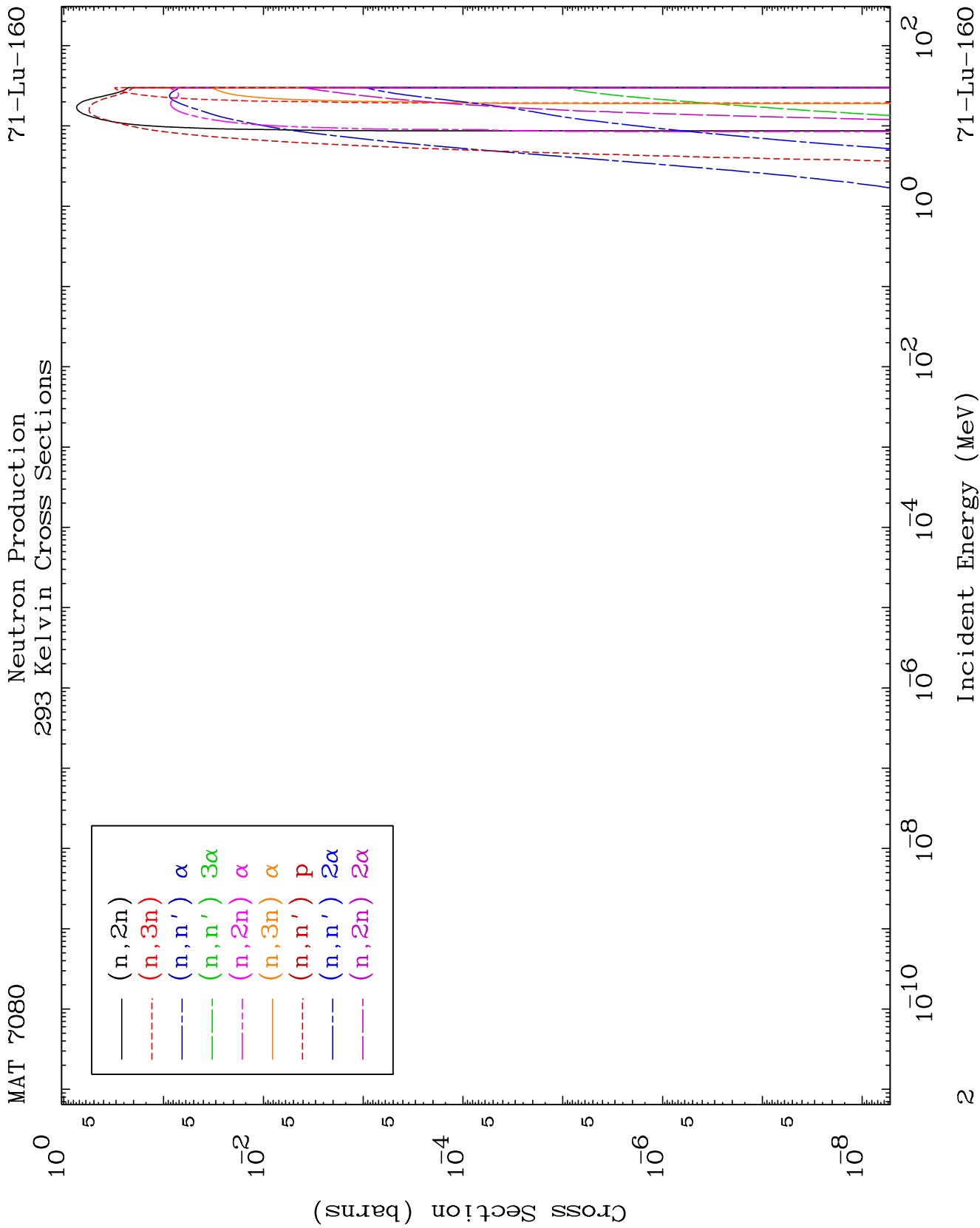
Dermott E. Cullen  
1466 Hudson Way  
Livermore, CA 94550  
U.S.A.

Tele: 925-443-1911

E.Mail:redcullen1@comcast.net  
Web:home.comcast.net/~redcullen1

Press Mouse Button to Start

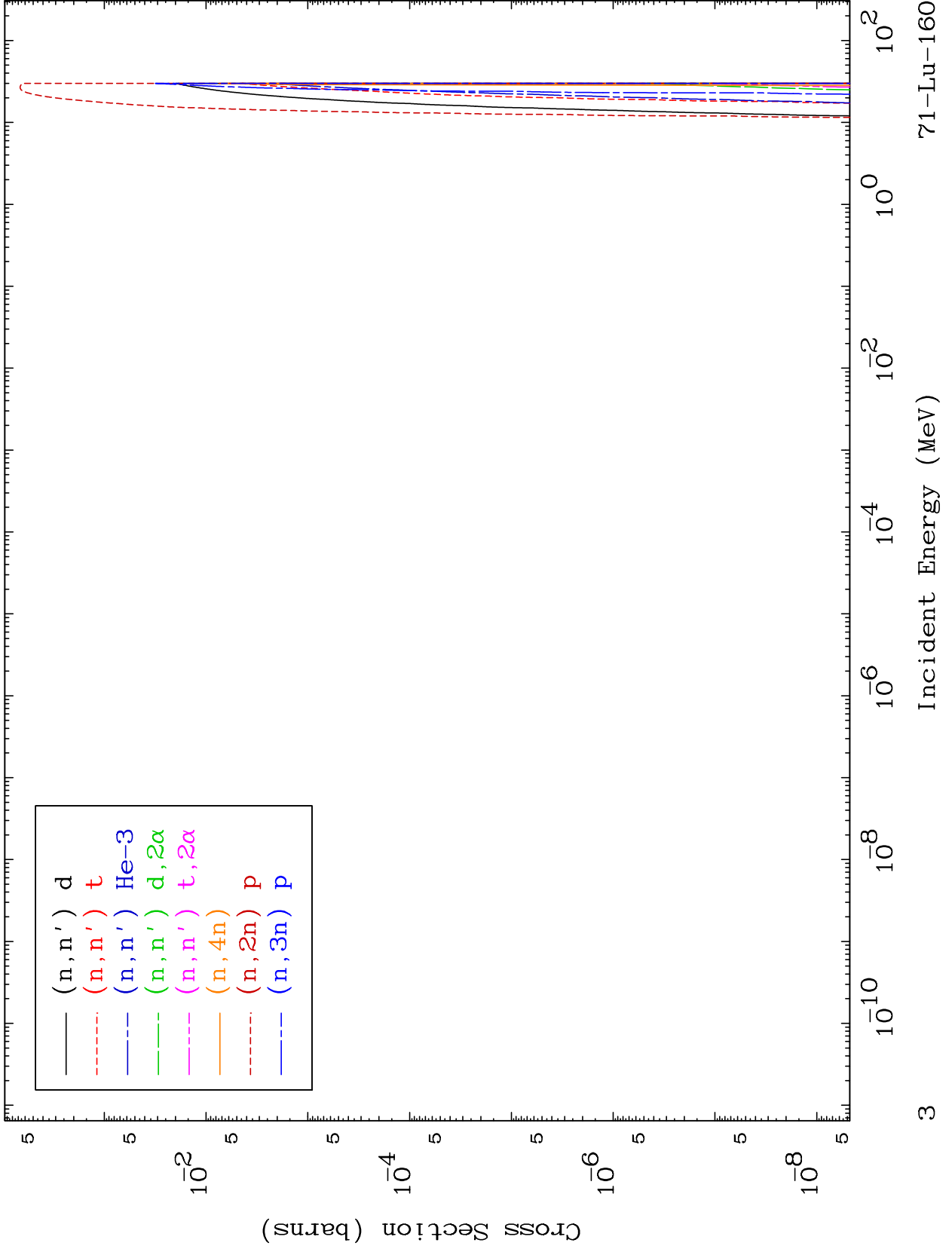




MAT 7080

Neutron Production  
293 Kelvin Cross Sections

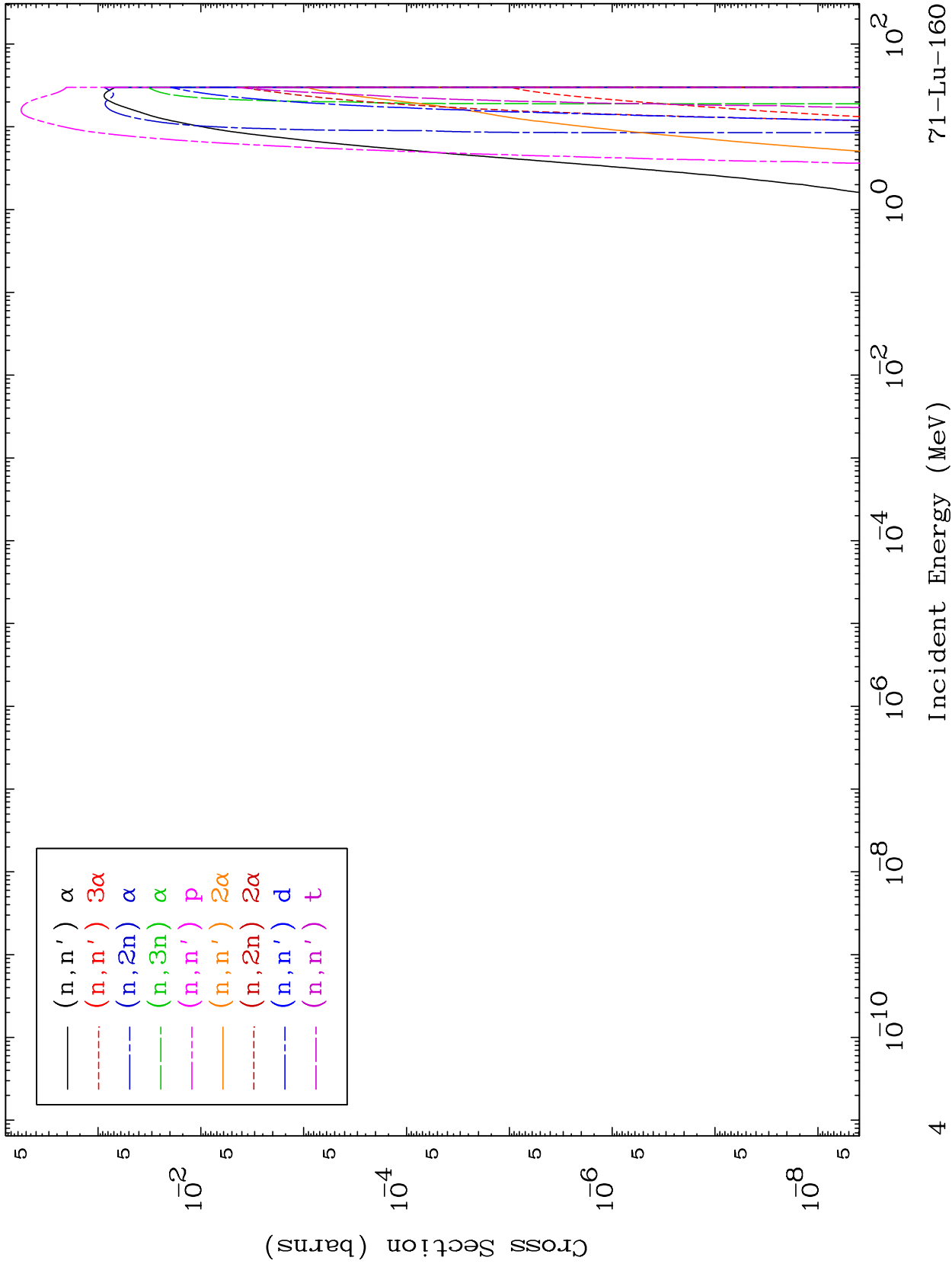
<sup>71</sup>Lu-160



MAT 7080

Charged Particle  
293 Kelvin Cross Sections

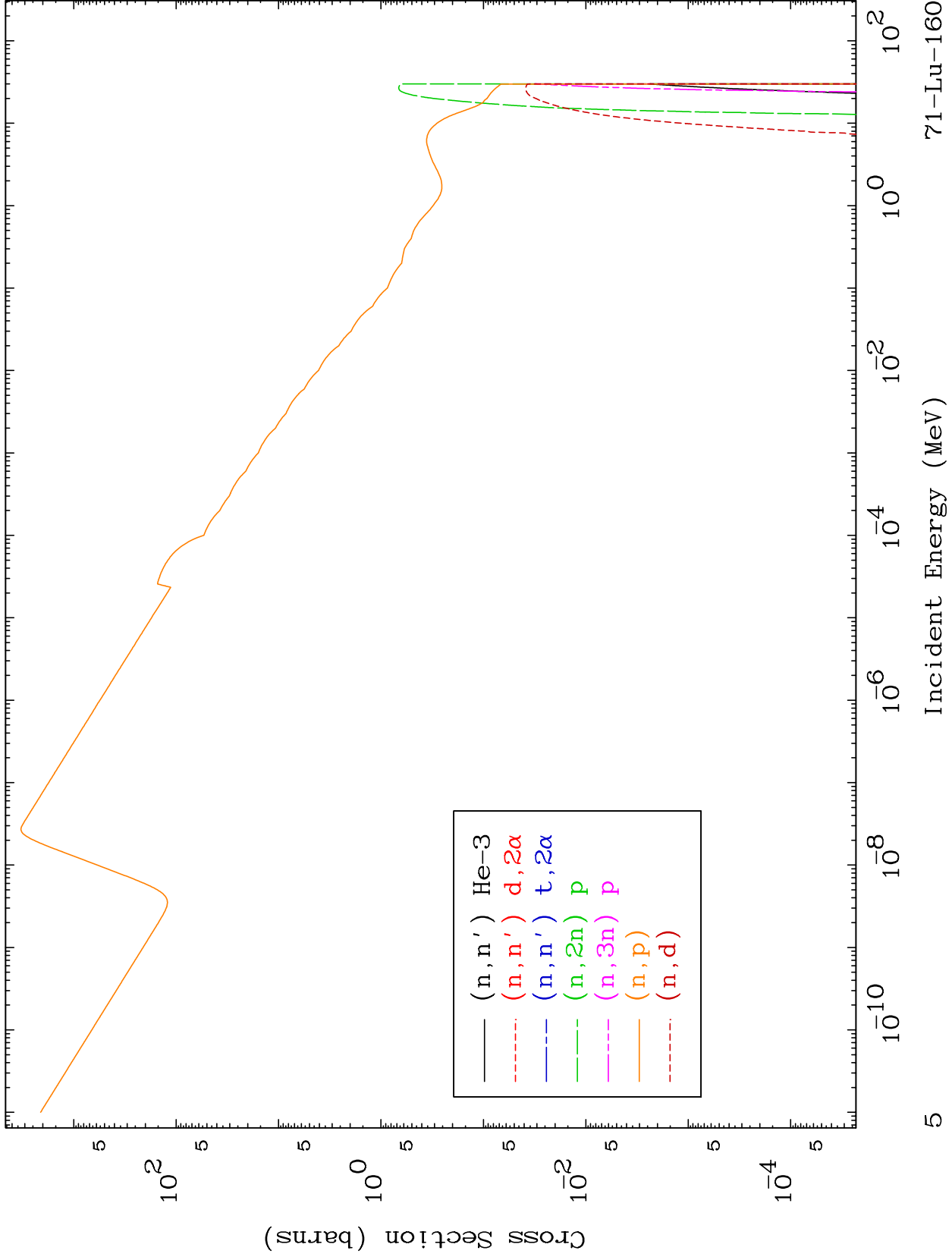
71-Lu-160



MAT 7080

Charged Particle  
293 Kelvin Cross Sections

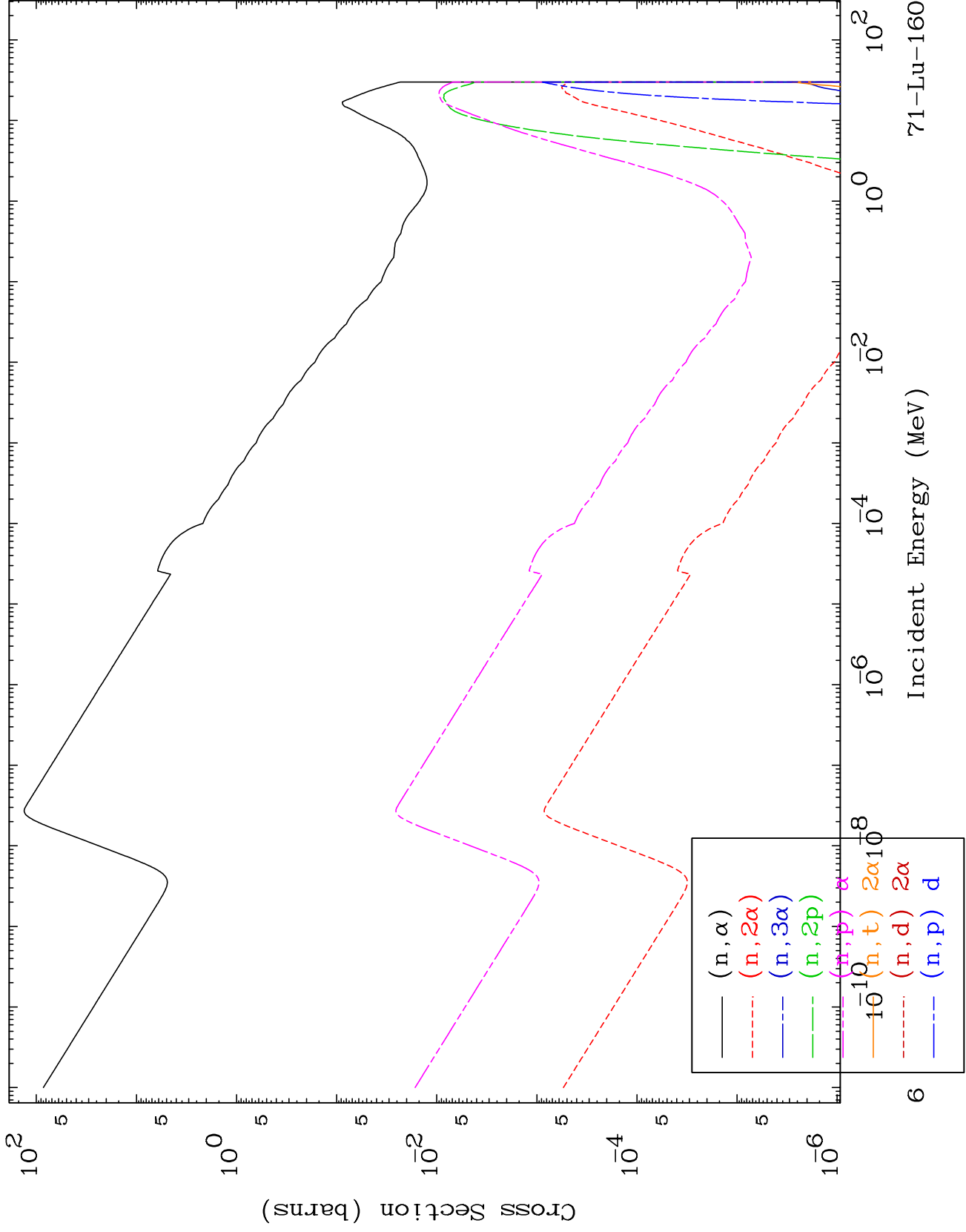
71-Lu-160



MAT 7080

Charged Particle  
293 Kelvin Cross Sections

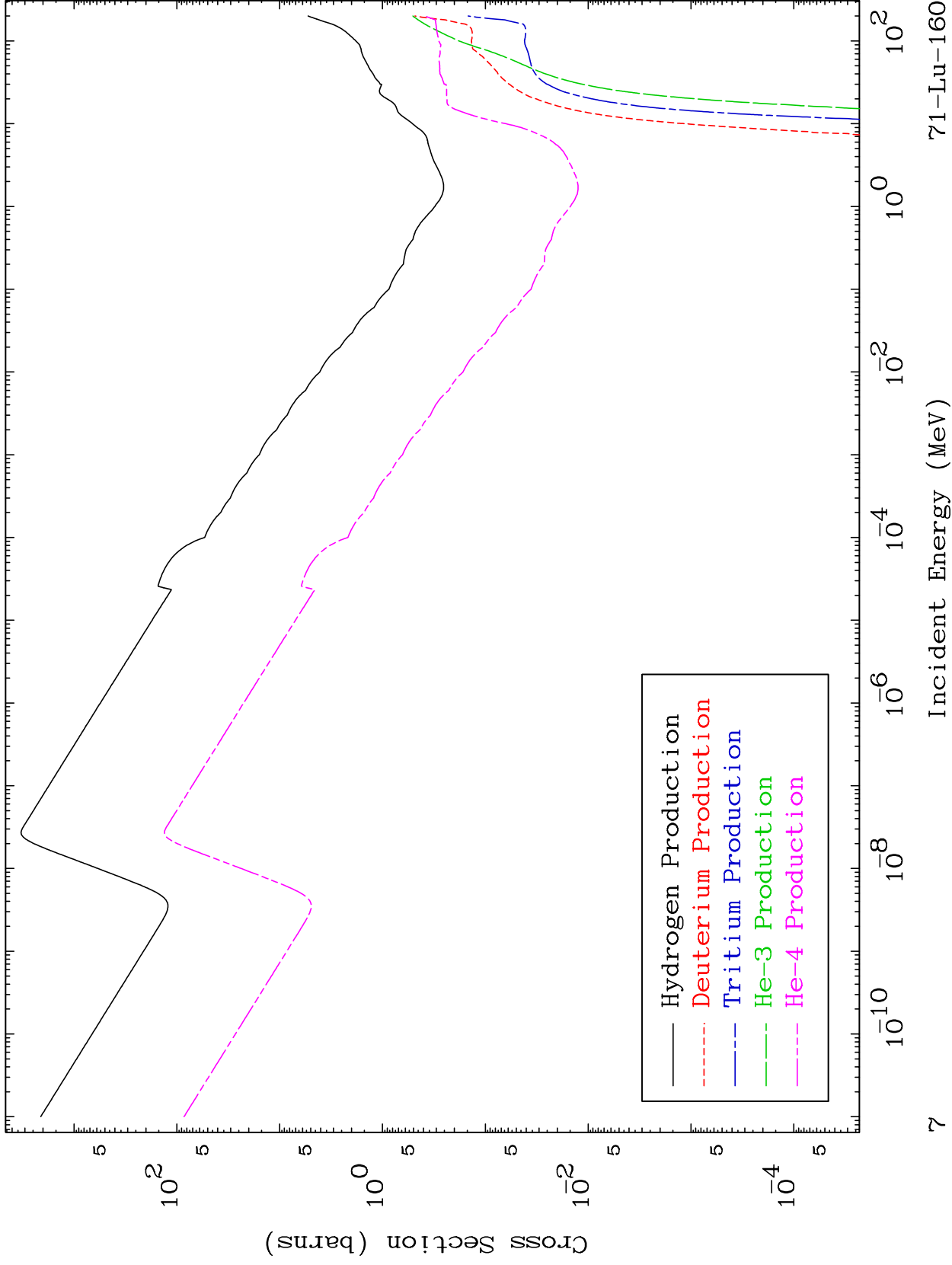
71-Lu-160



MAT 7080

Particle Production  
293 Kelvin Cross Sections

71-Lu-160

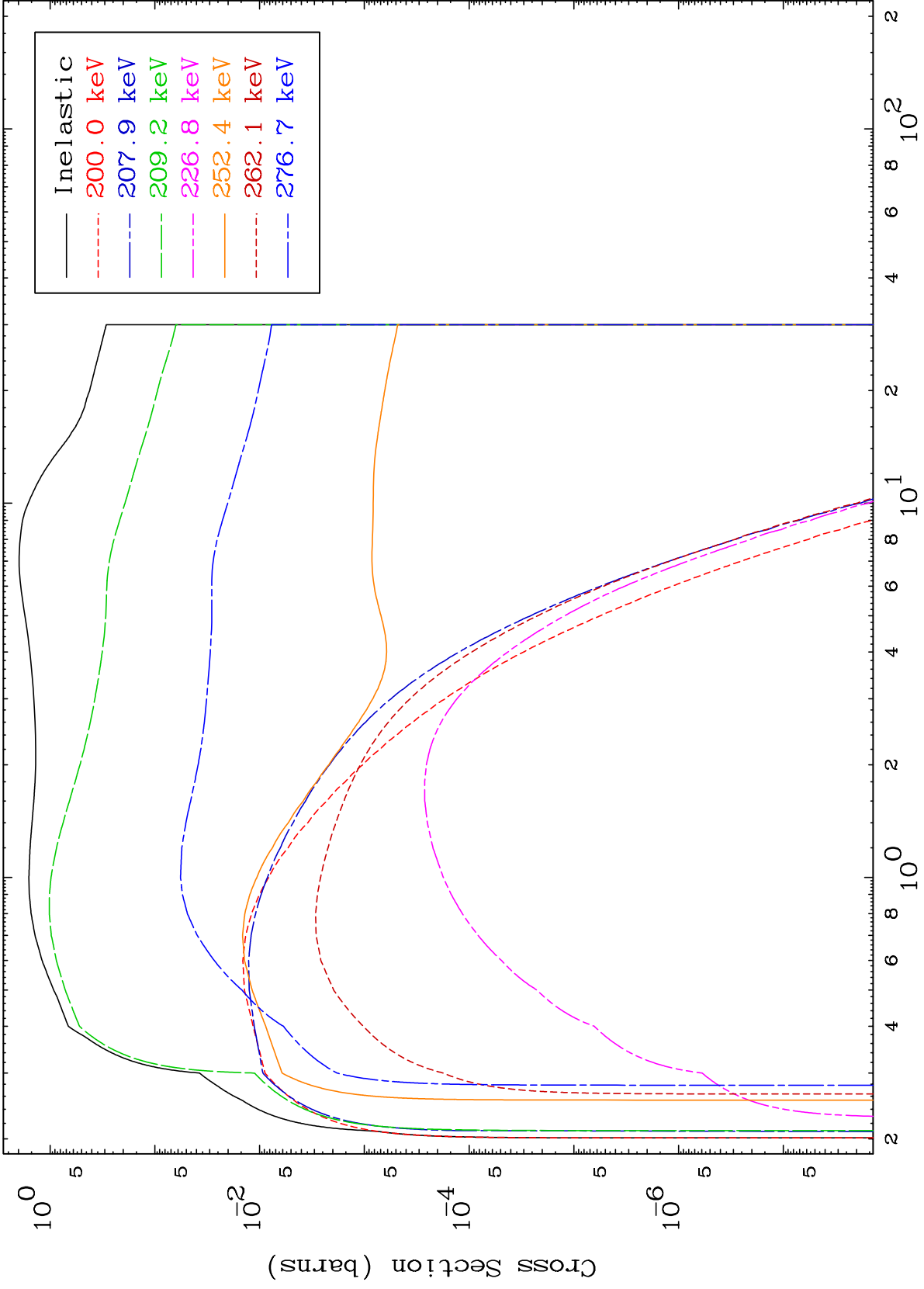




MAT 7080

(n,n') Level  
293 Kelvin Cross Sections

71-Lu-160



8

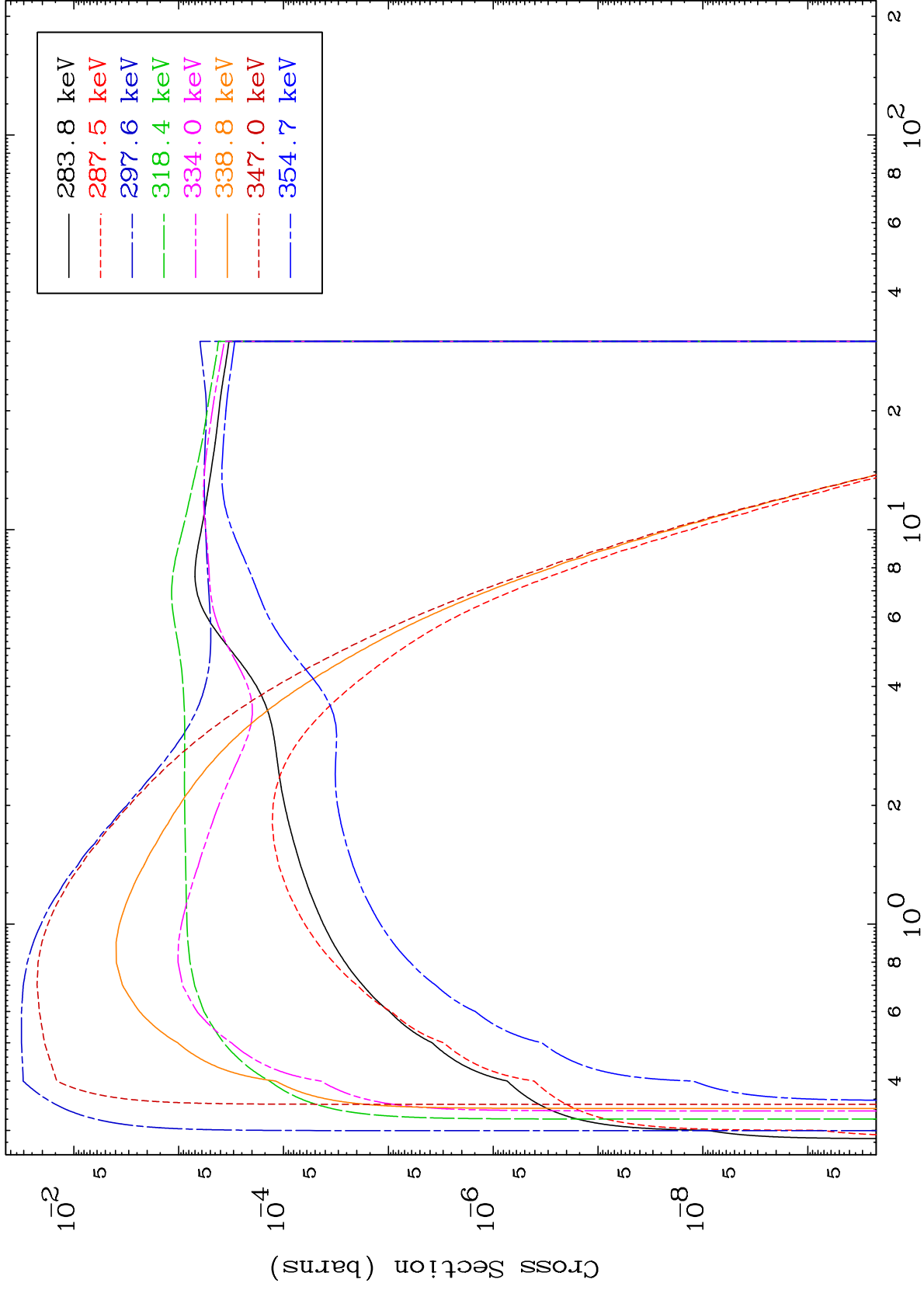
Incident Energy (MeV)

71-Lu-160

MAT 7080

(n,n') Level  
293 Kelvin Cross Sections

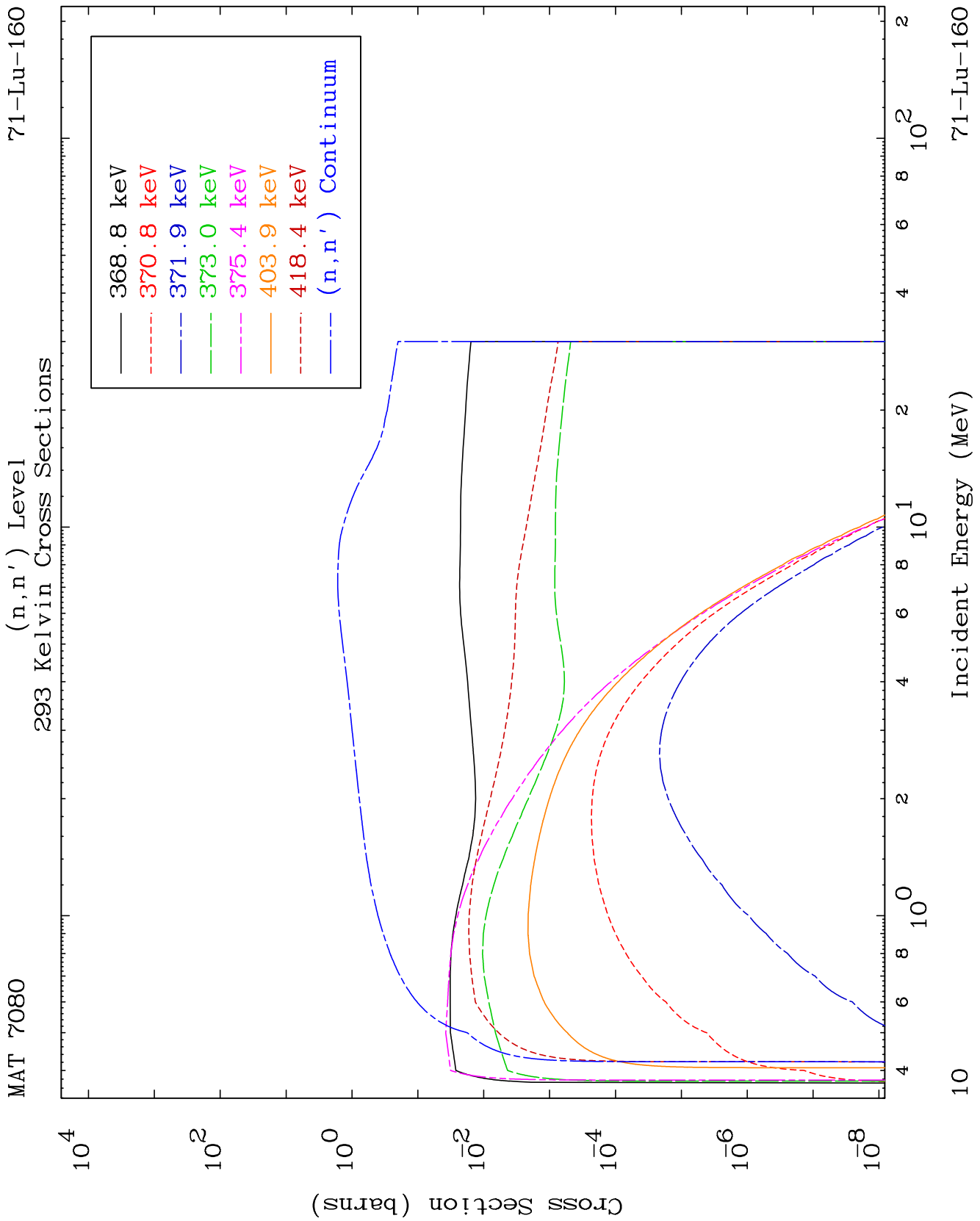
71-Lu-160



9

Incident Energy (MeV)

71-Lu-160



MAT 7080

Cross Section (barns)

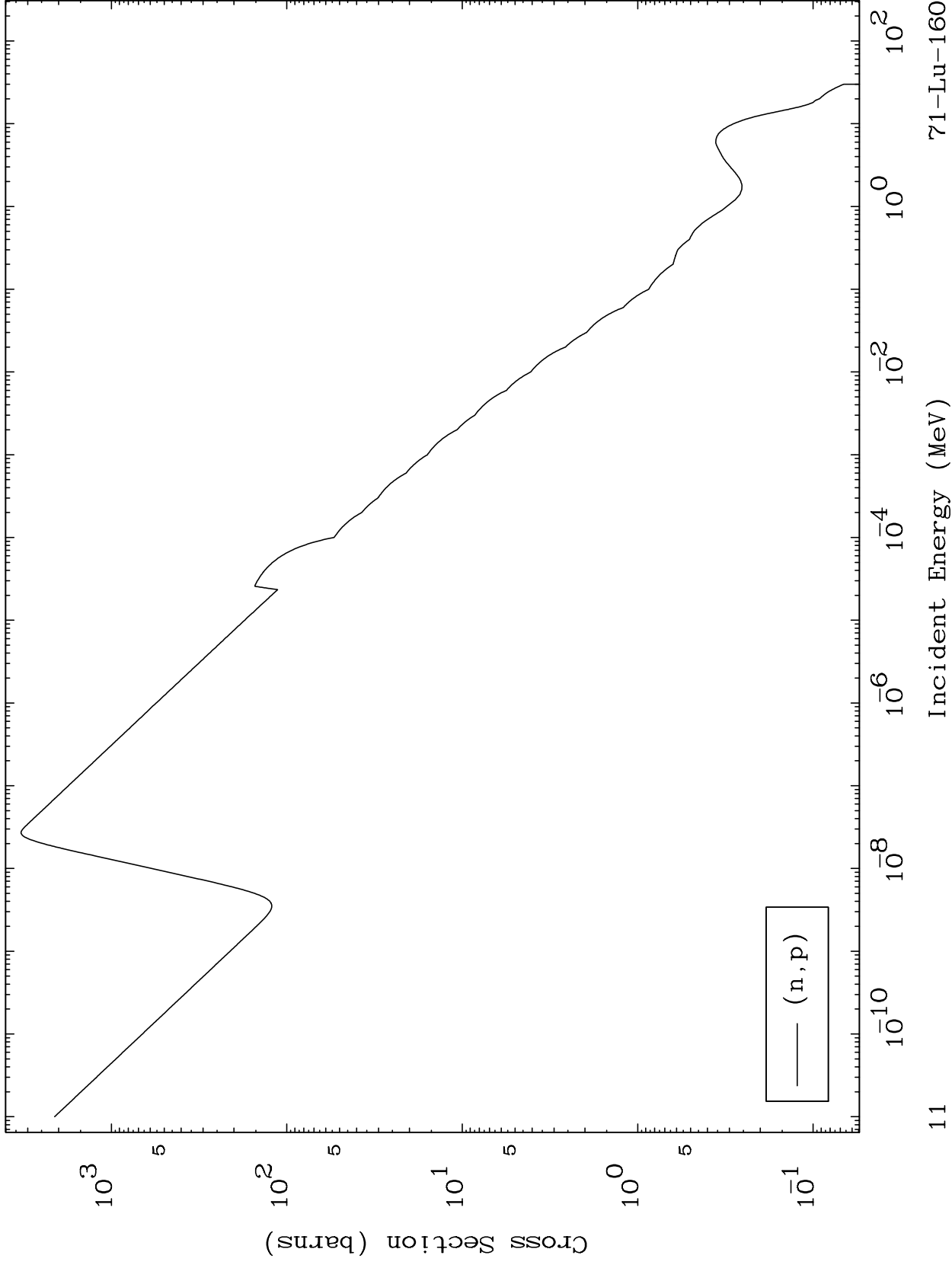
10<sup>4</sup>  
10<sup>2</sup>  
10<sup>0</sup>  
10<sup>-2</sup>  
10<sup>-4</sup>  
10<sup>-6</sup>  
10<sup>-8</sup>

10    4    6    8    10<sup>0</sup>    2    4    6    8    10<sup>1</sup>    2    4    6    8    10<sup>2</sup>    2

MAT 7080

(n,p) Levels  
293 Kelvin Cross Sections

71-Lu-160



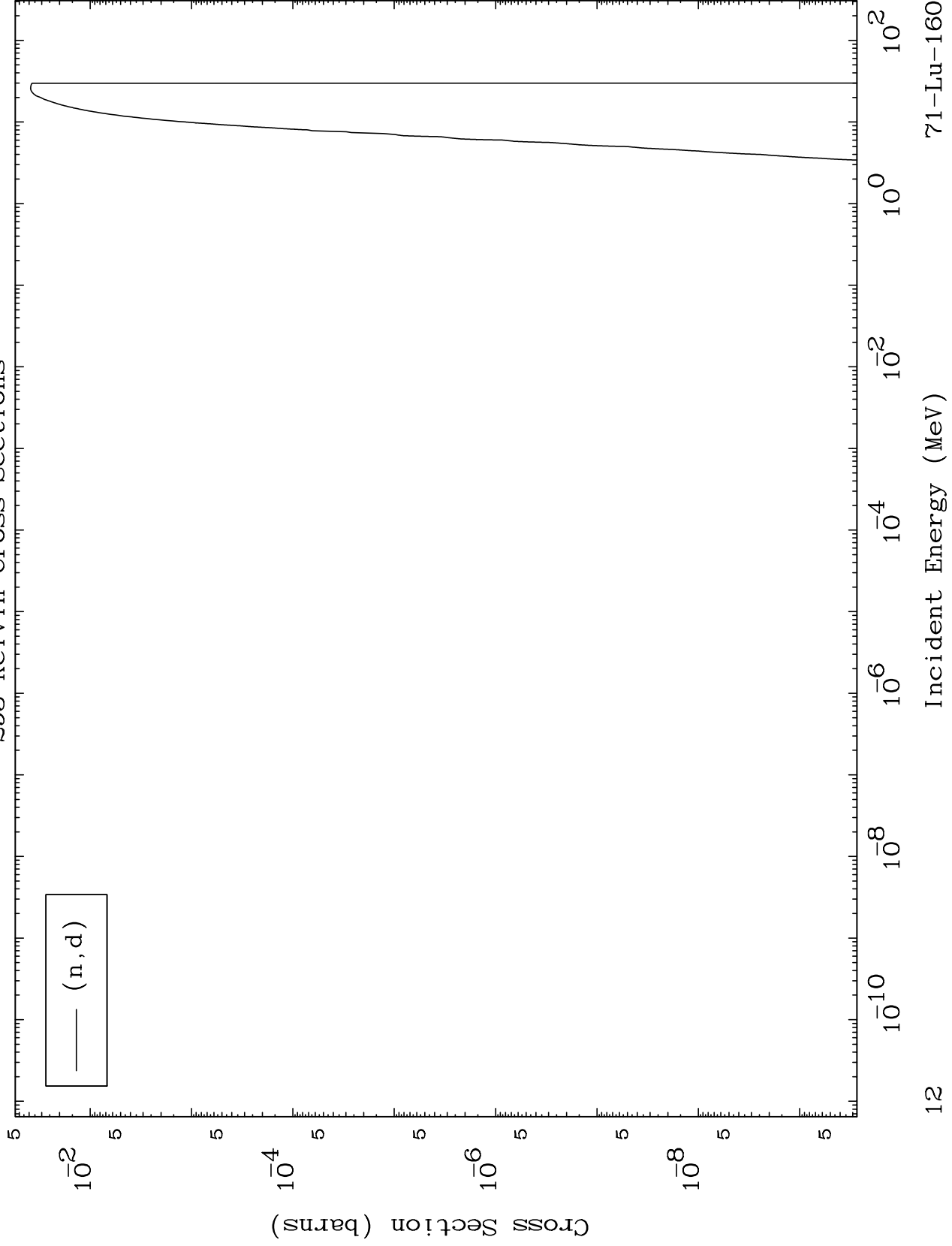
11

71-Lu-160

MAT 7080

(n,d) Levels  
293 Kelvin Cross Sections

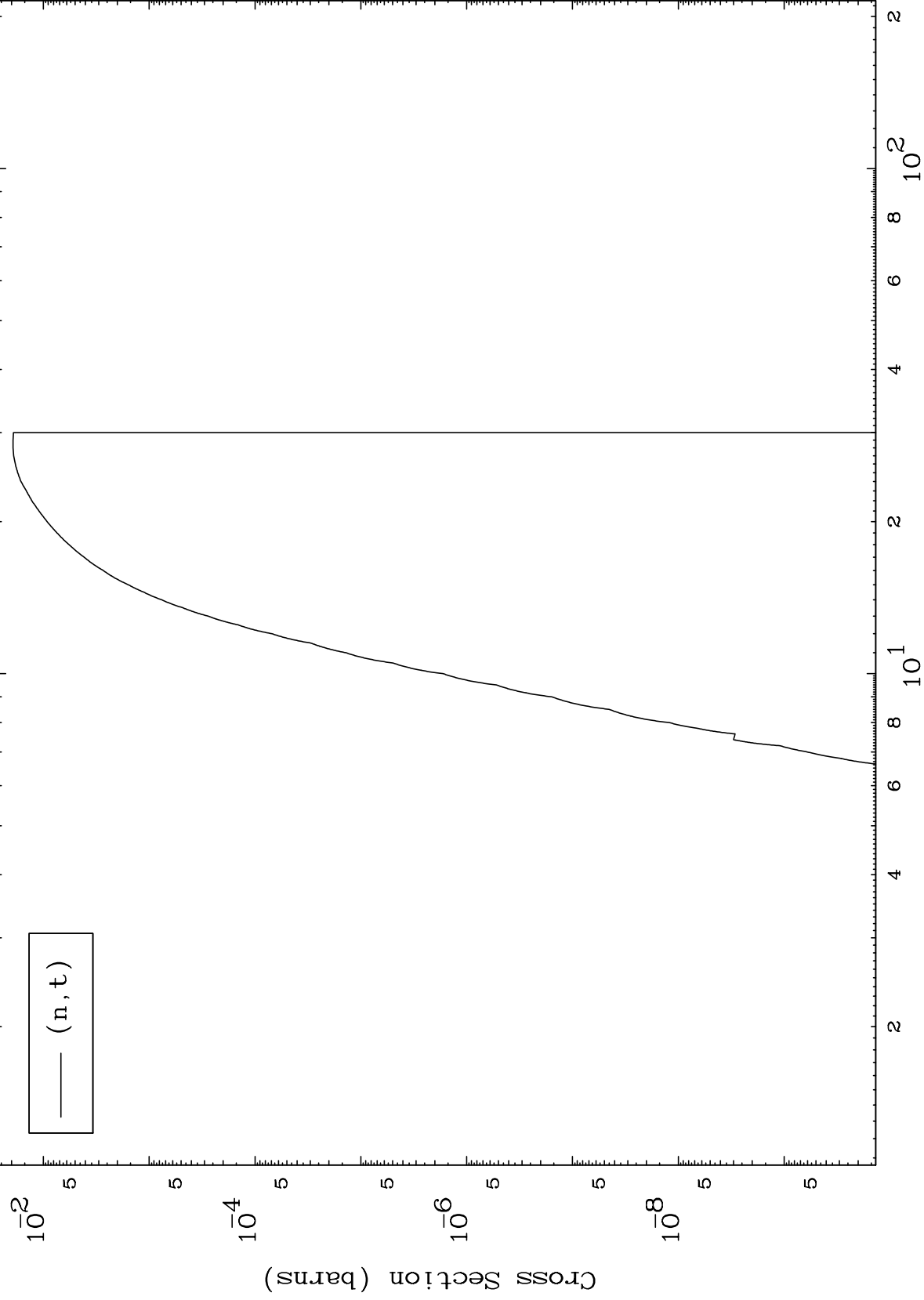
71-Lu-160

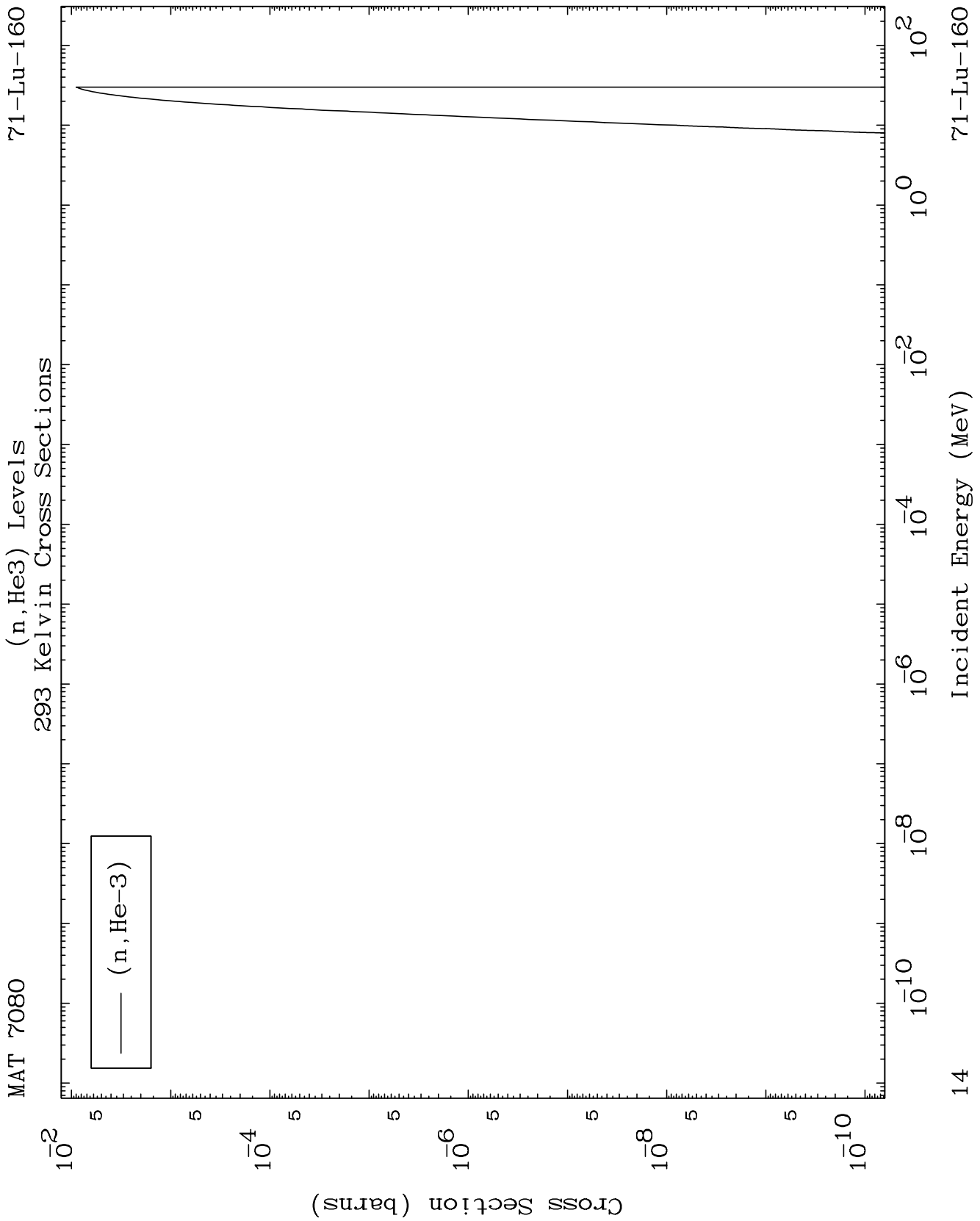


MAT 7080

(n,t) Levels  
293 Kelvin Cross Sections

71-Lu-160

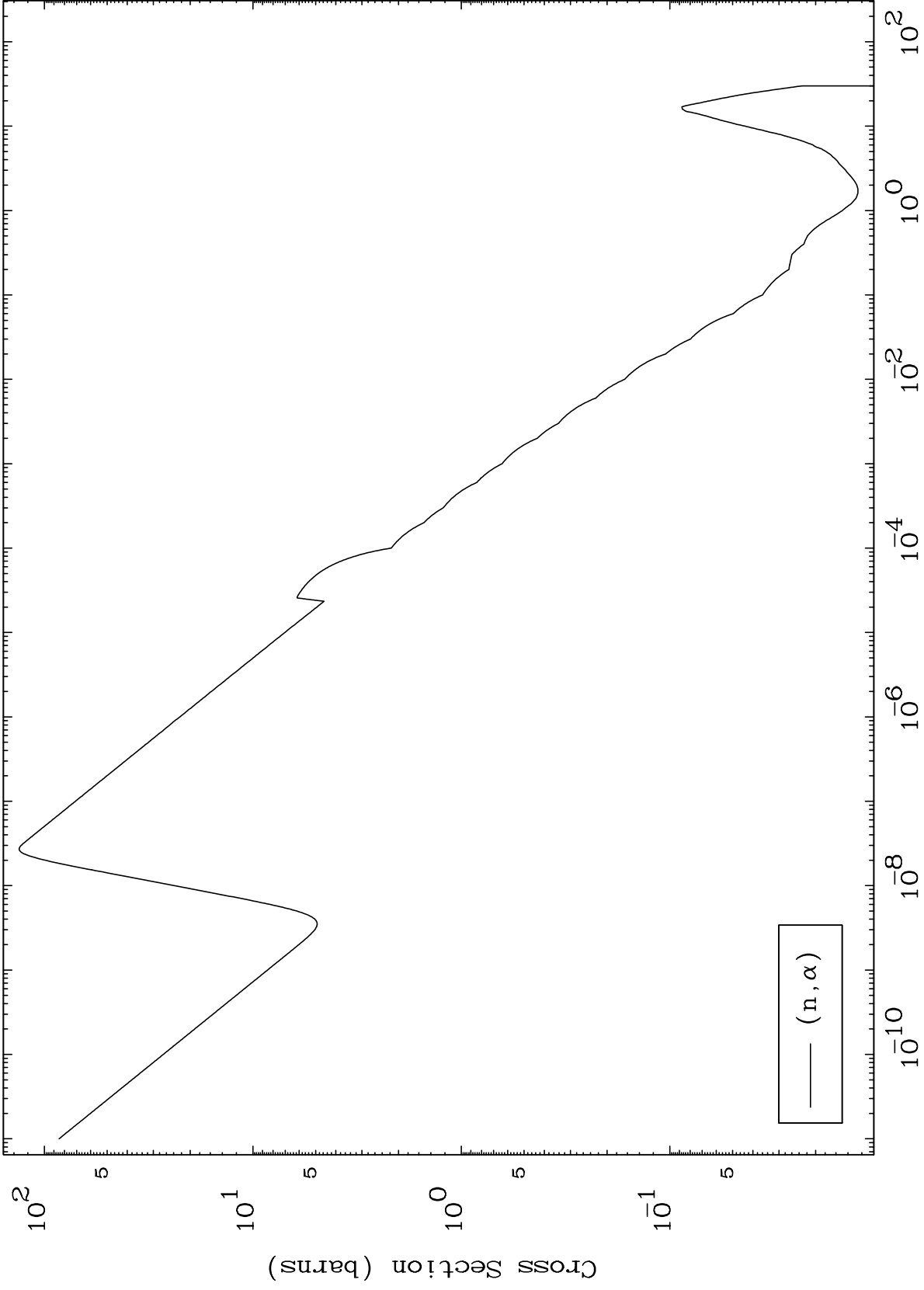




MAT 7080

(n,  $\alpha$ ) Levels  
293 Kelvin Cross Sections

71-Lu-160

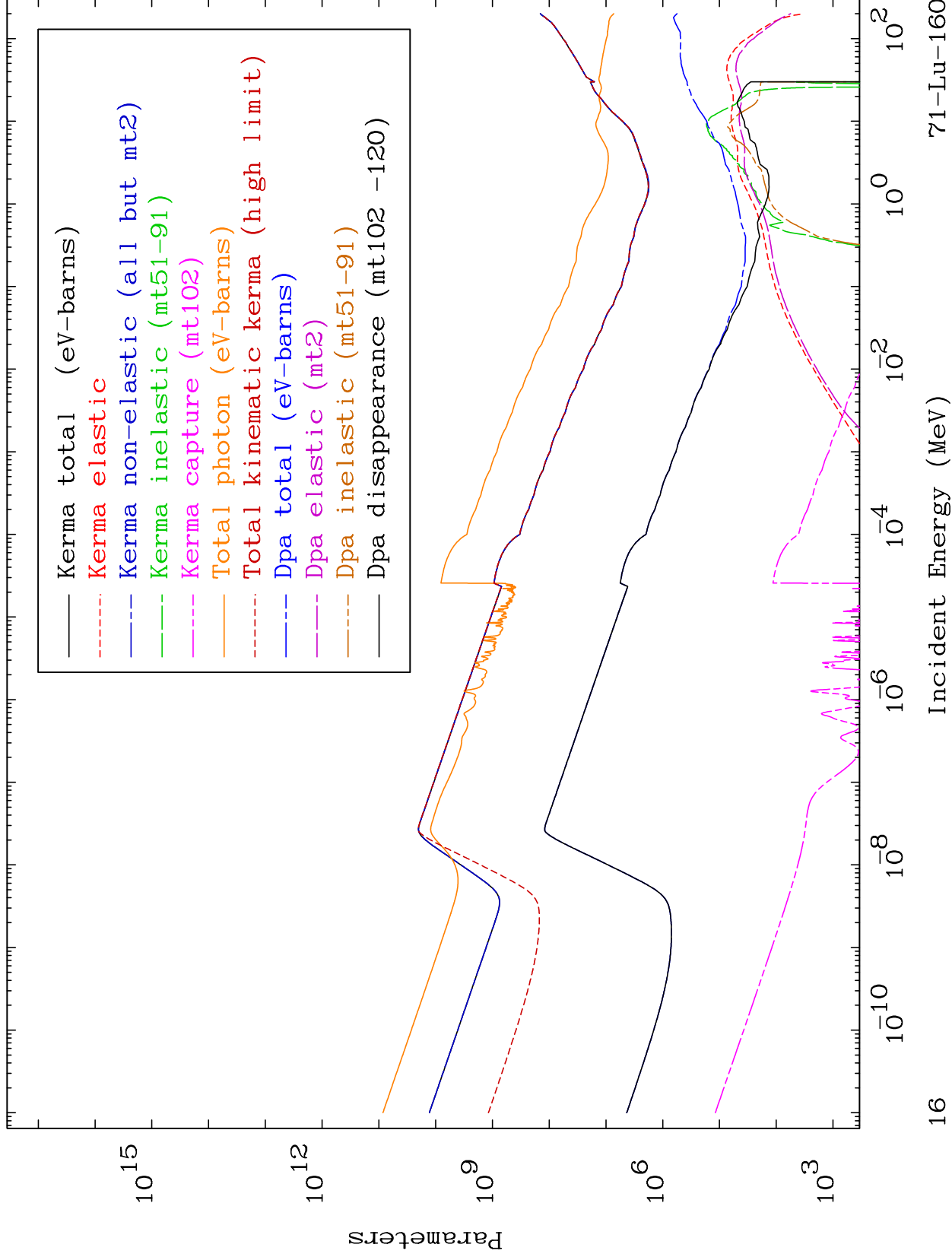


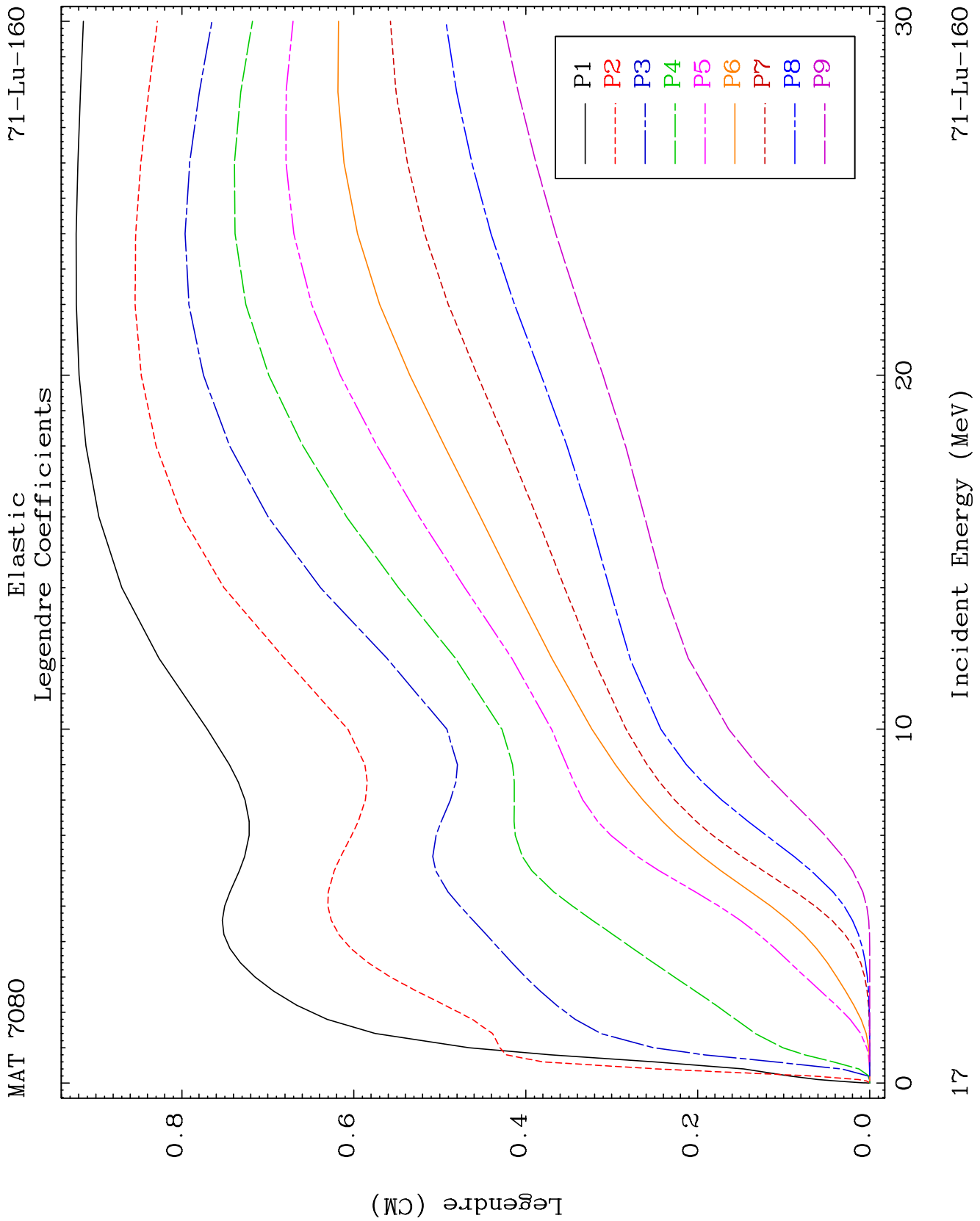
15

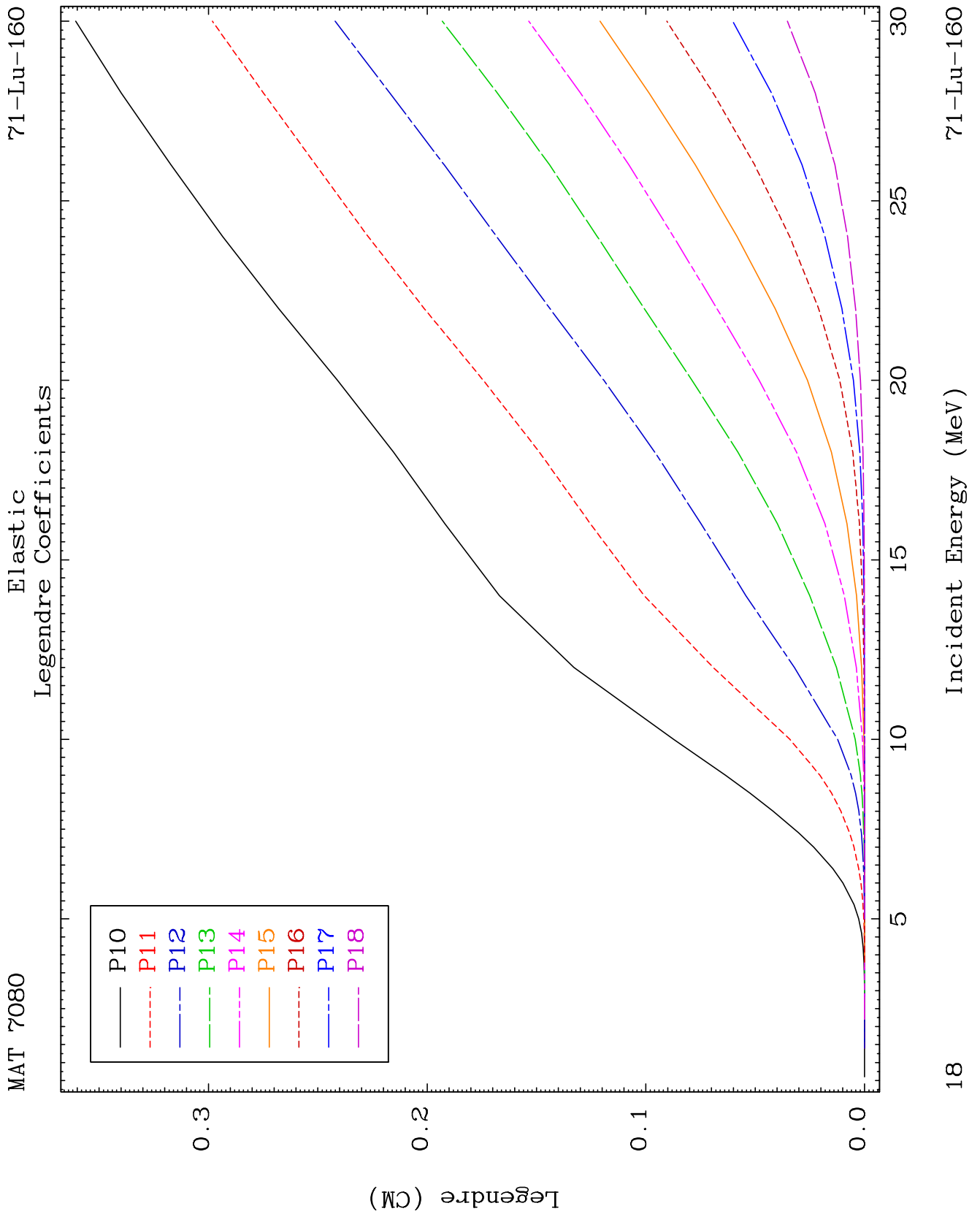
Incident Energy (MeV)

71-Lu-160









MAT 7080

Elastic Legendre Coefficients

$^{71}\text{Lu-160}$

18

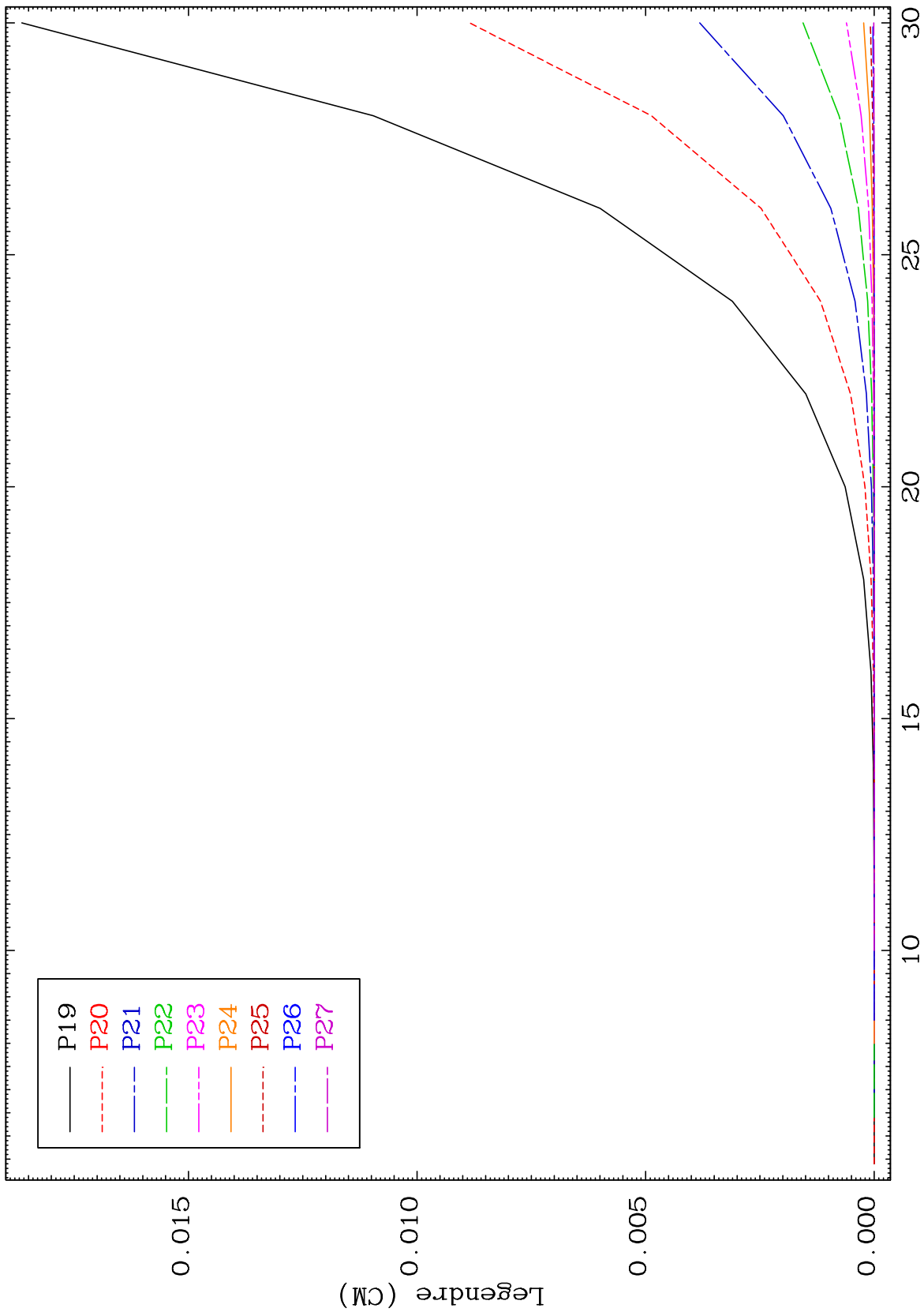
Incident Energy (MeV)

$^{71}\text{Lu-160}$

MAT 7080

Elastic Legendre Coefficients

<sup>71</sup>Lu-160



19

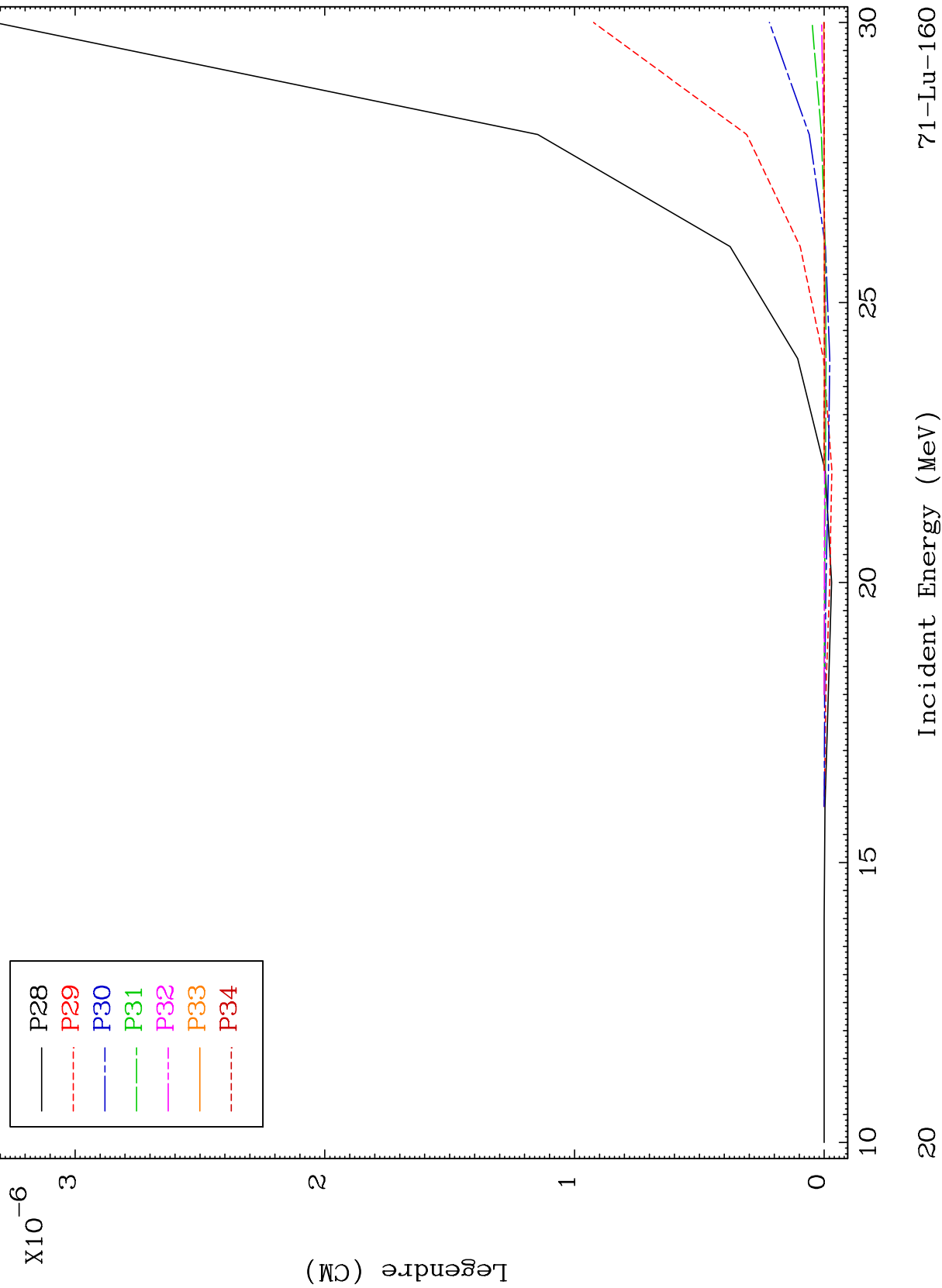
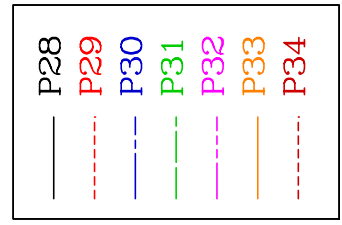
Incident Energy (MeV)

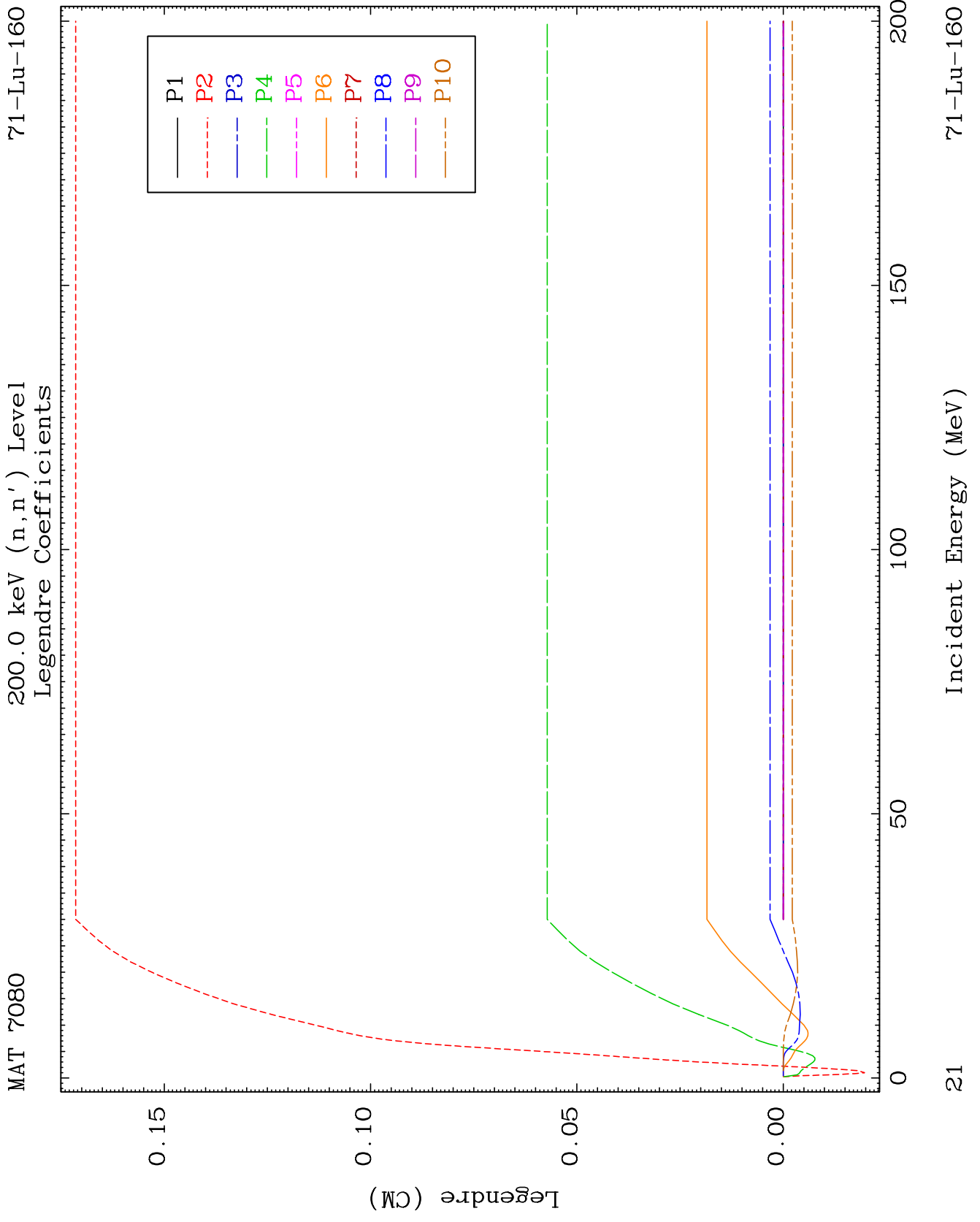
<sup>71</sup>Lu-160

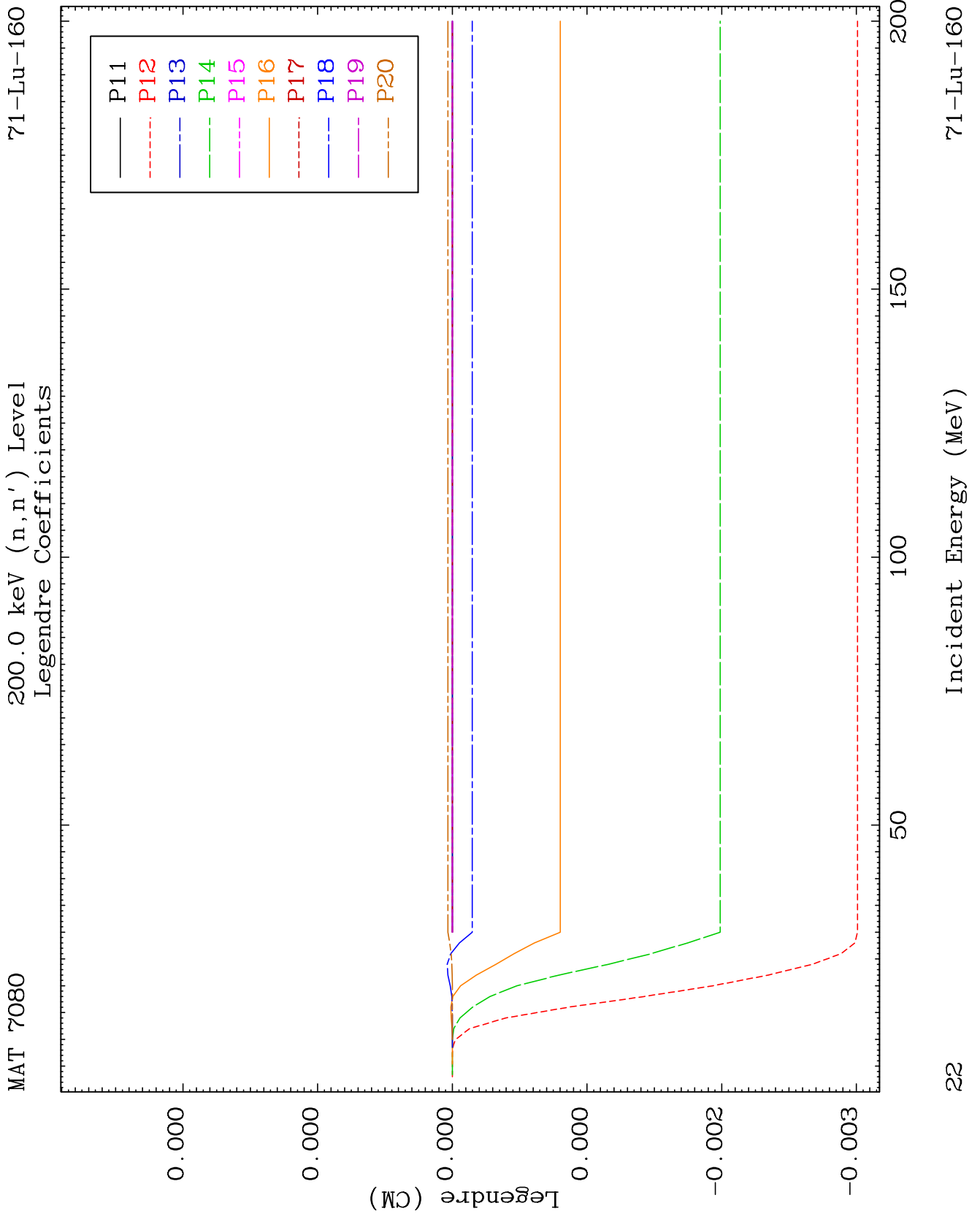
MAT 7080

Elastic Legendre Coefficients

<sup>71</sup>Lu-160



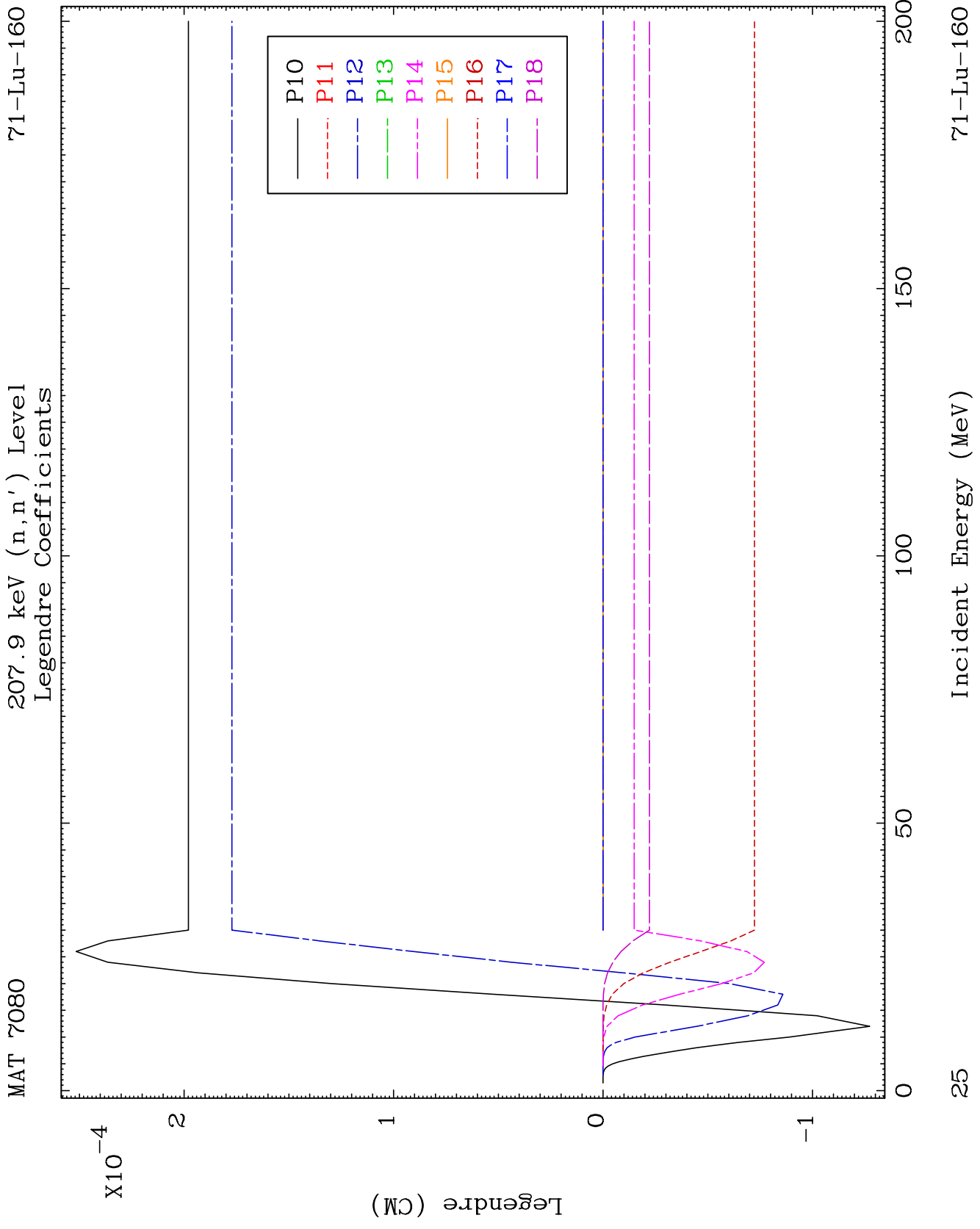


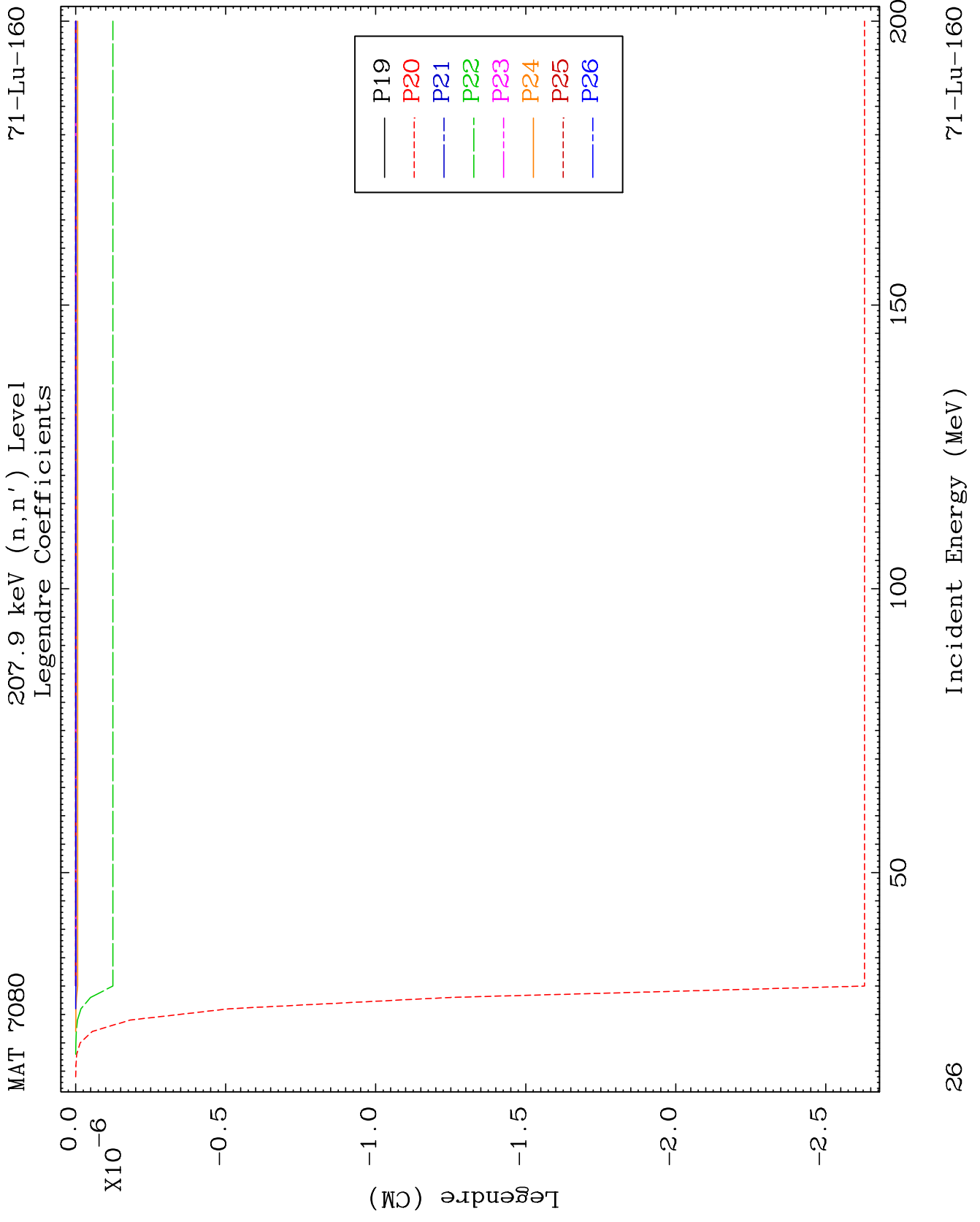






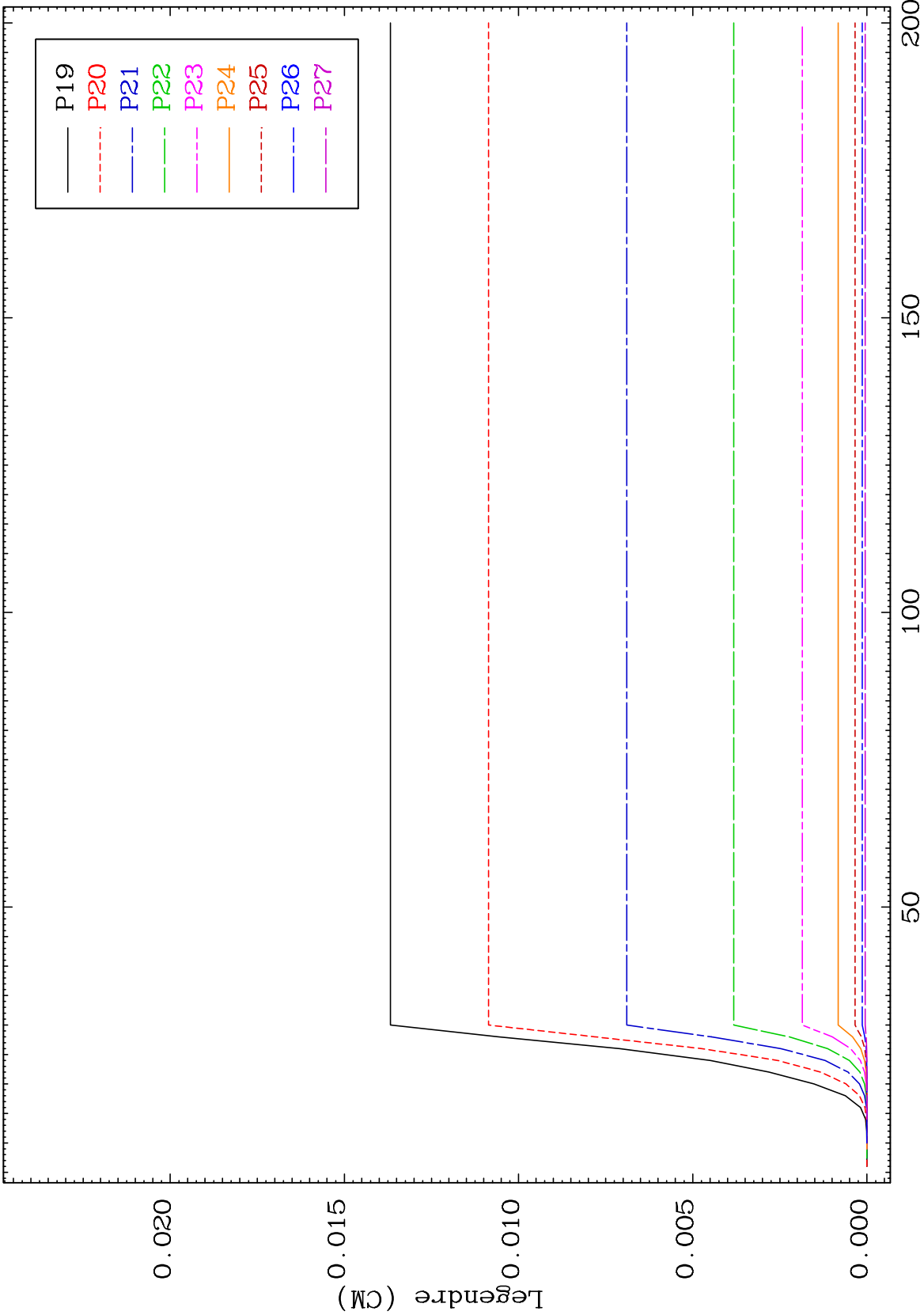


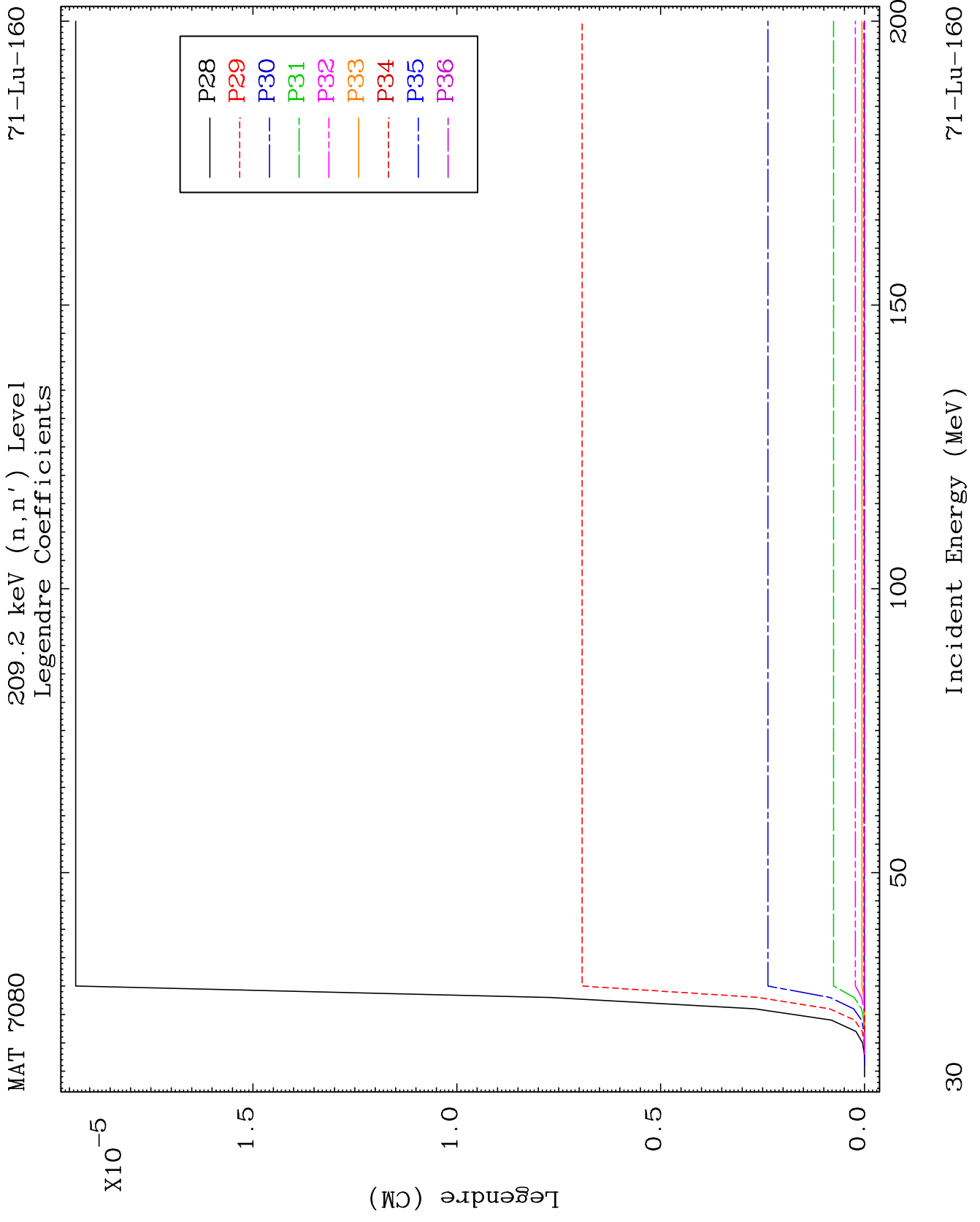










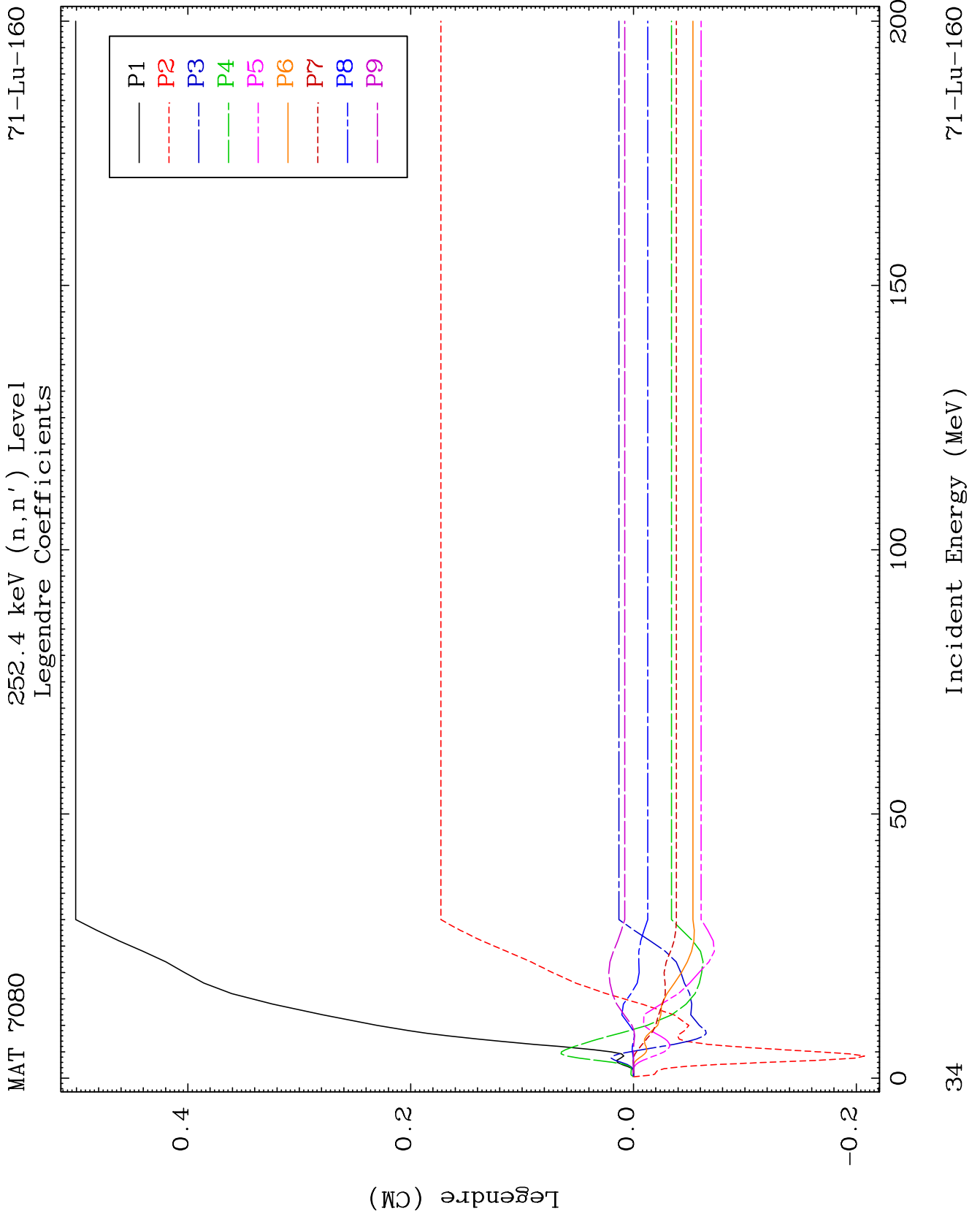


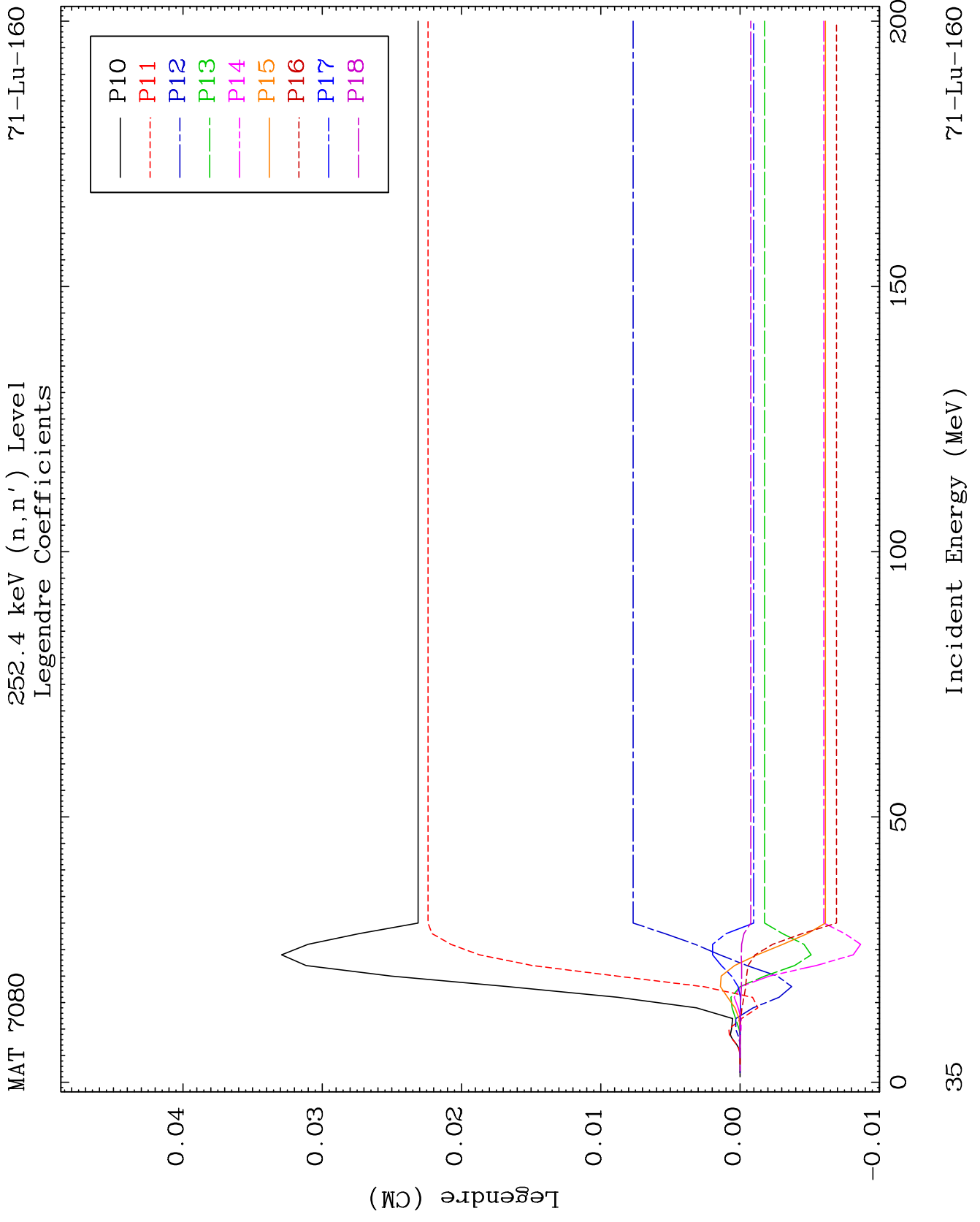


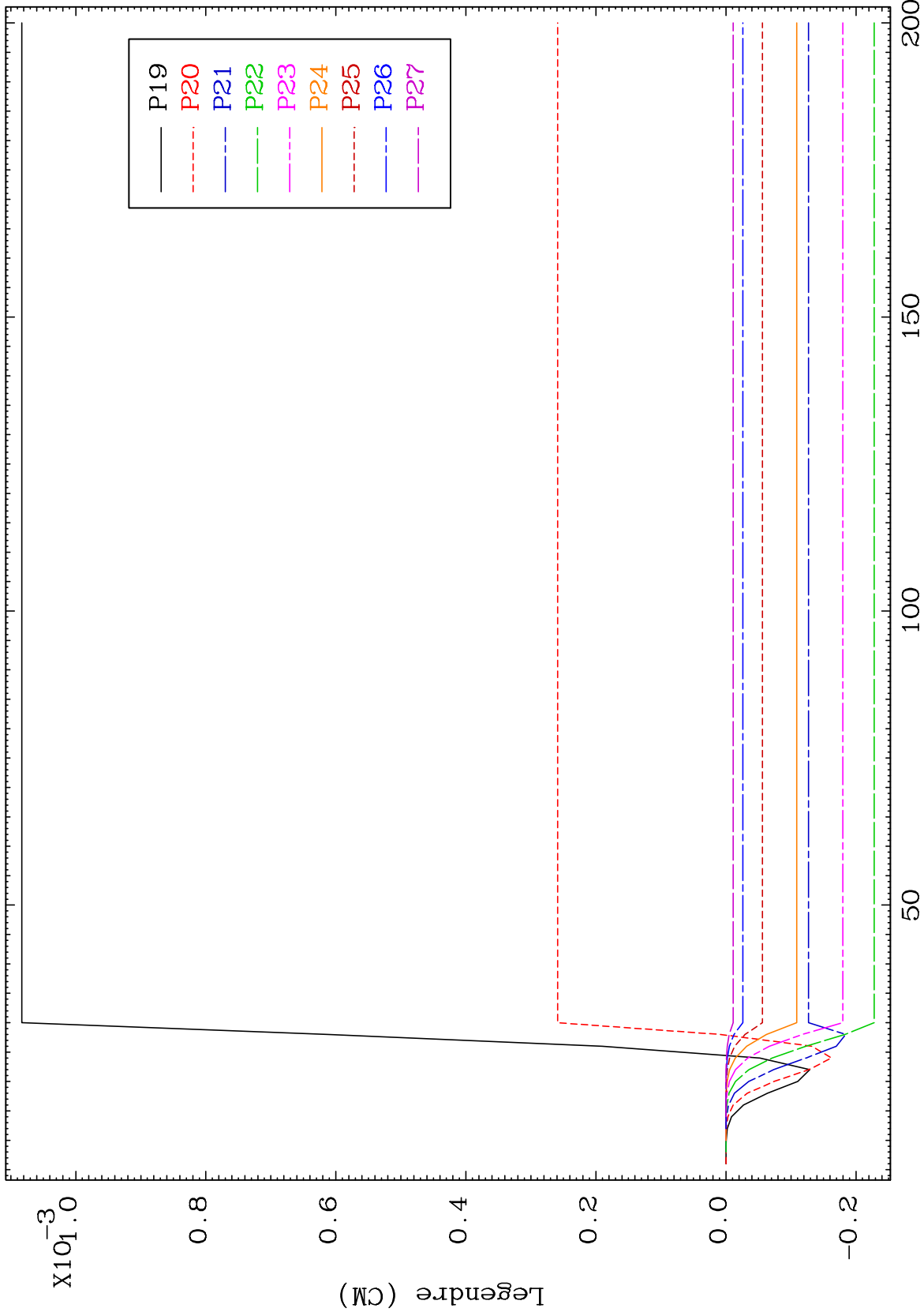


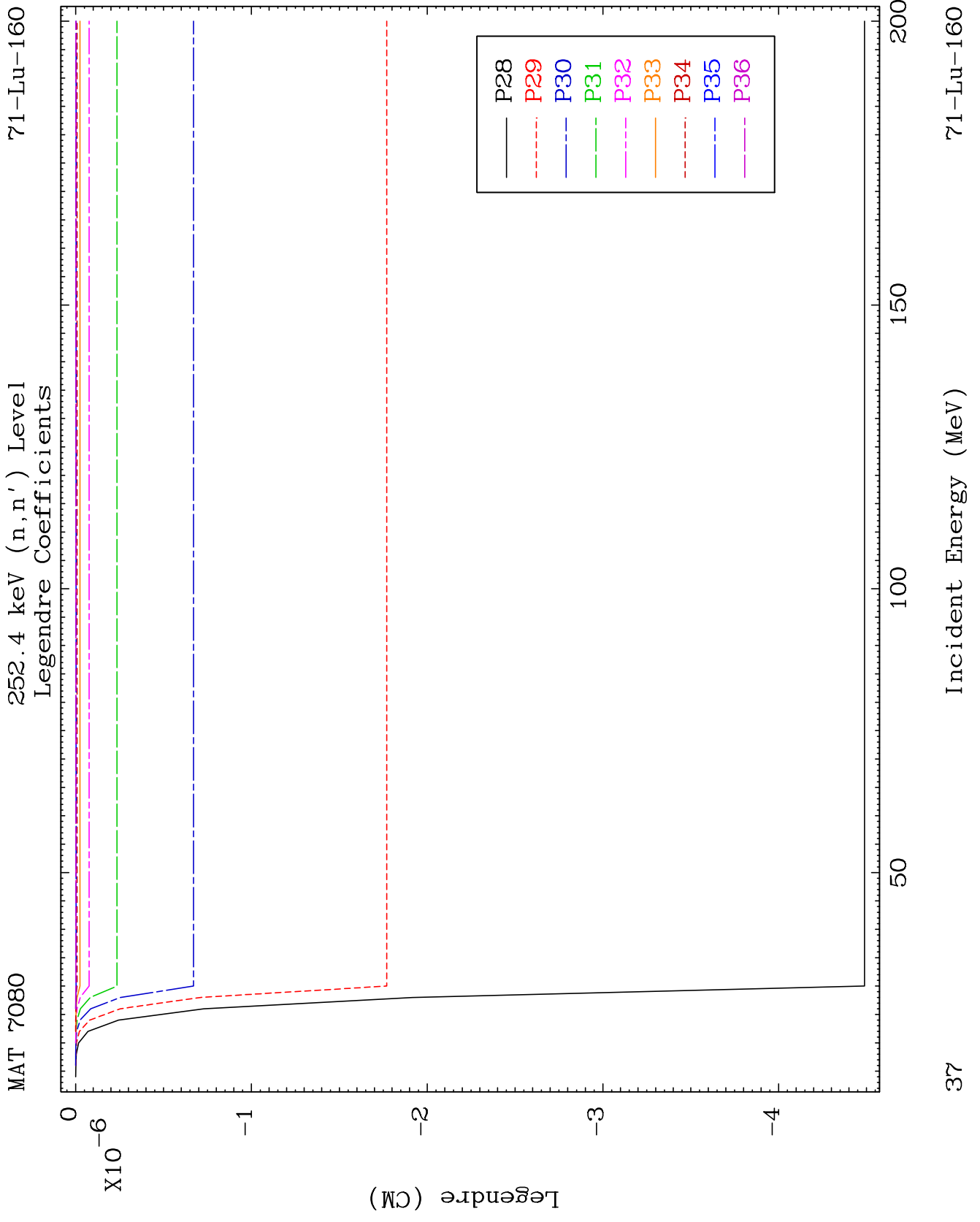


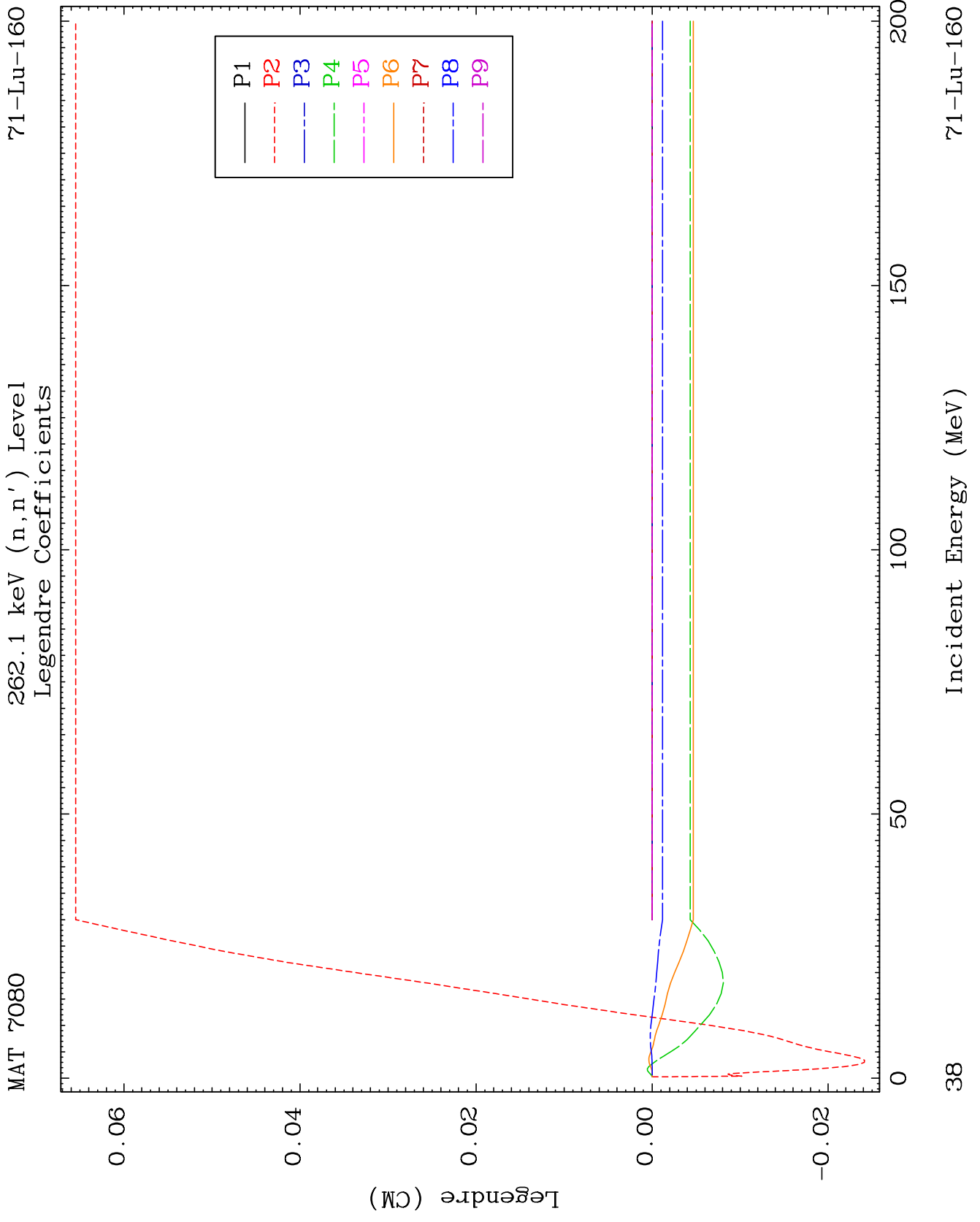








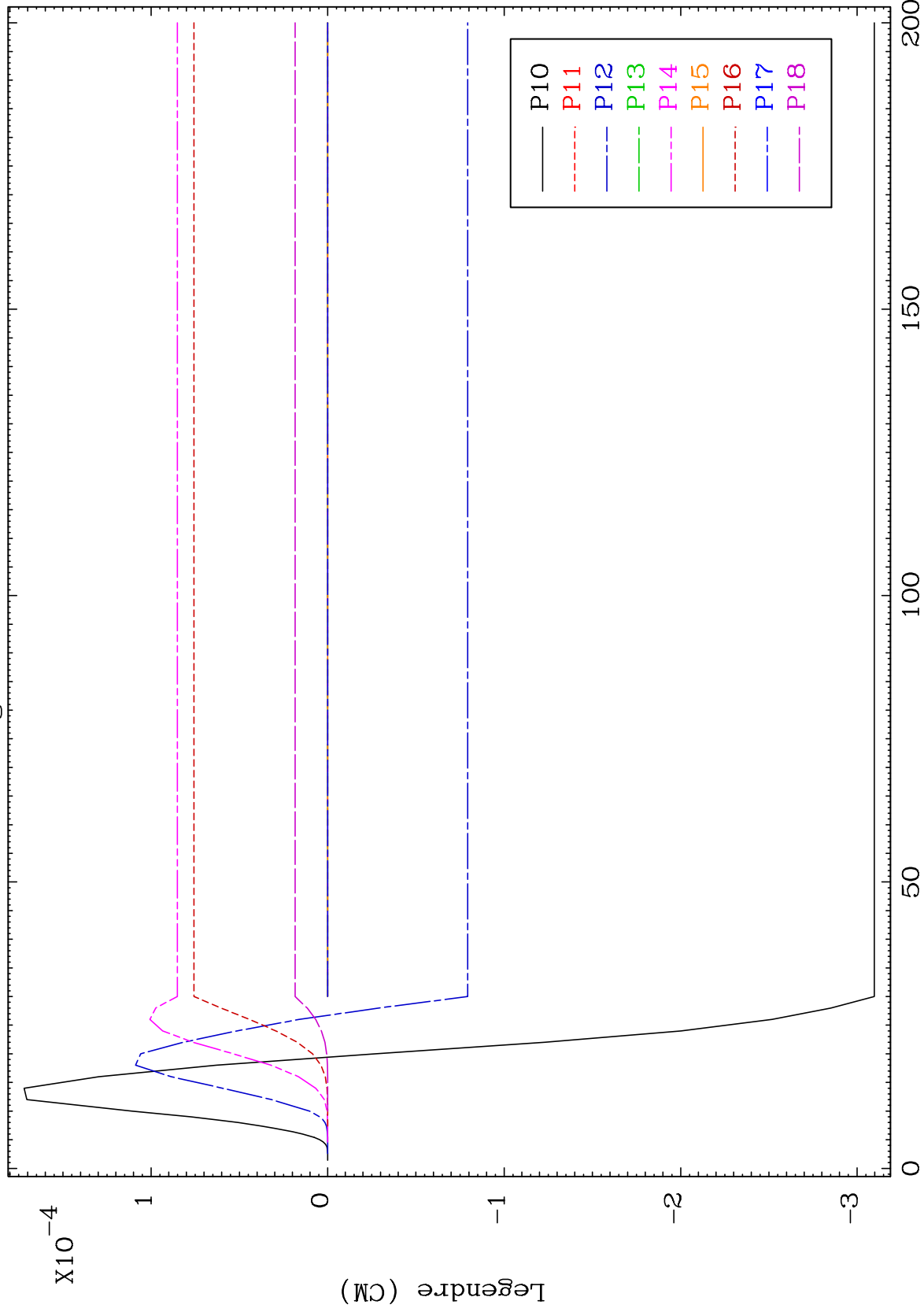




MAT 7080

262.1 keV (n,n') Level  
Legendre Coefficients

71-Lu-160

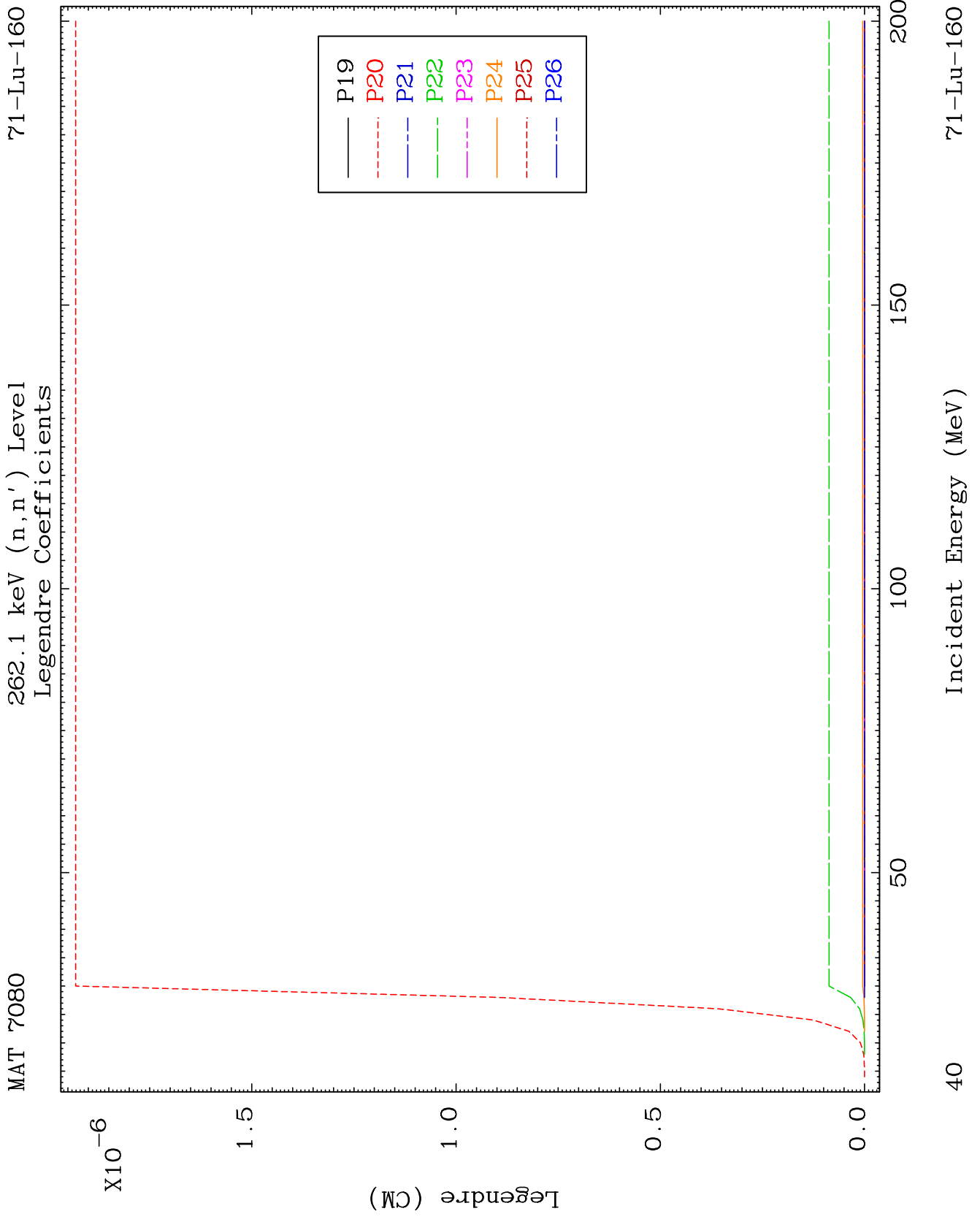


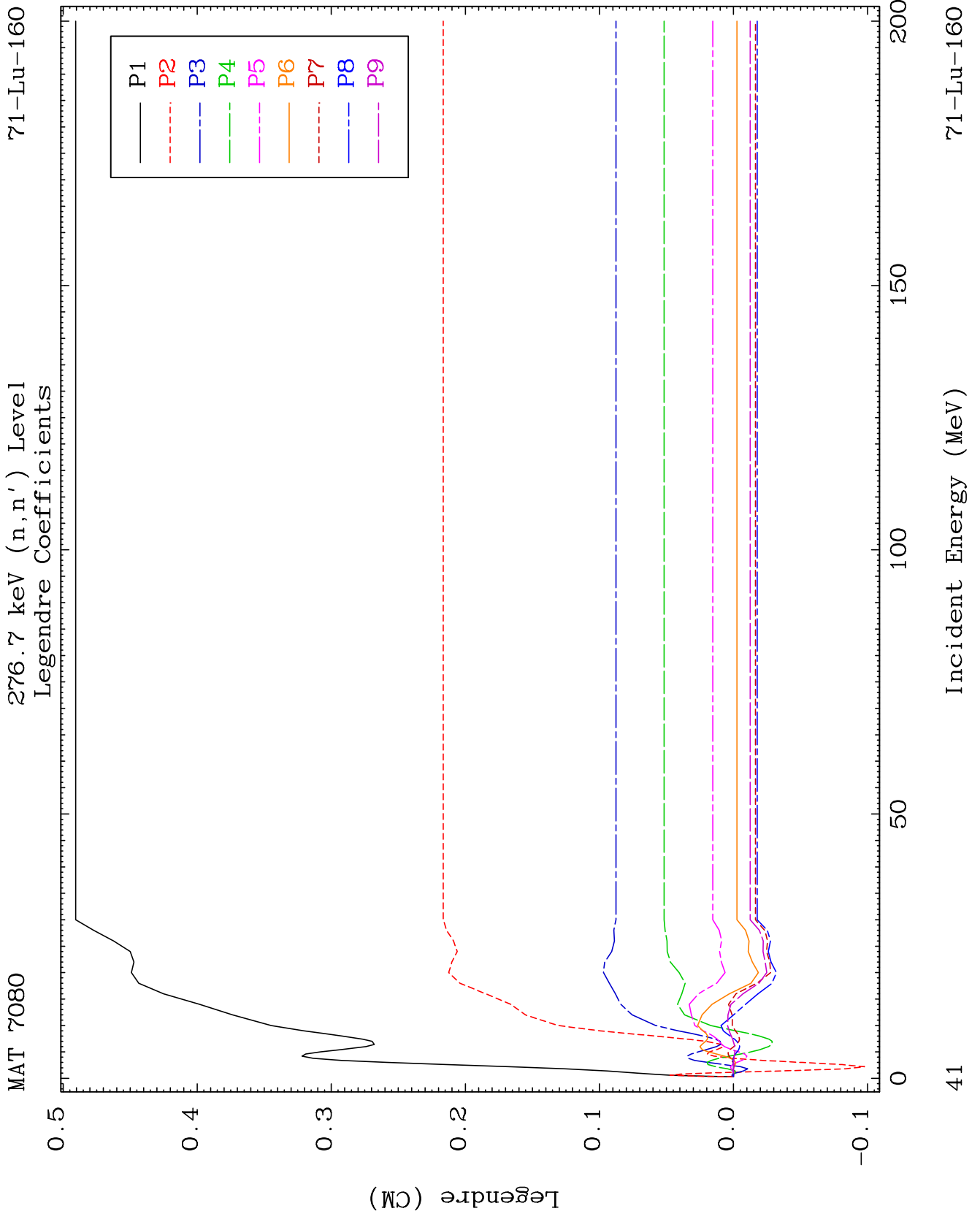
39

Incident Energy (MeV)

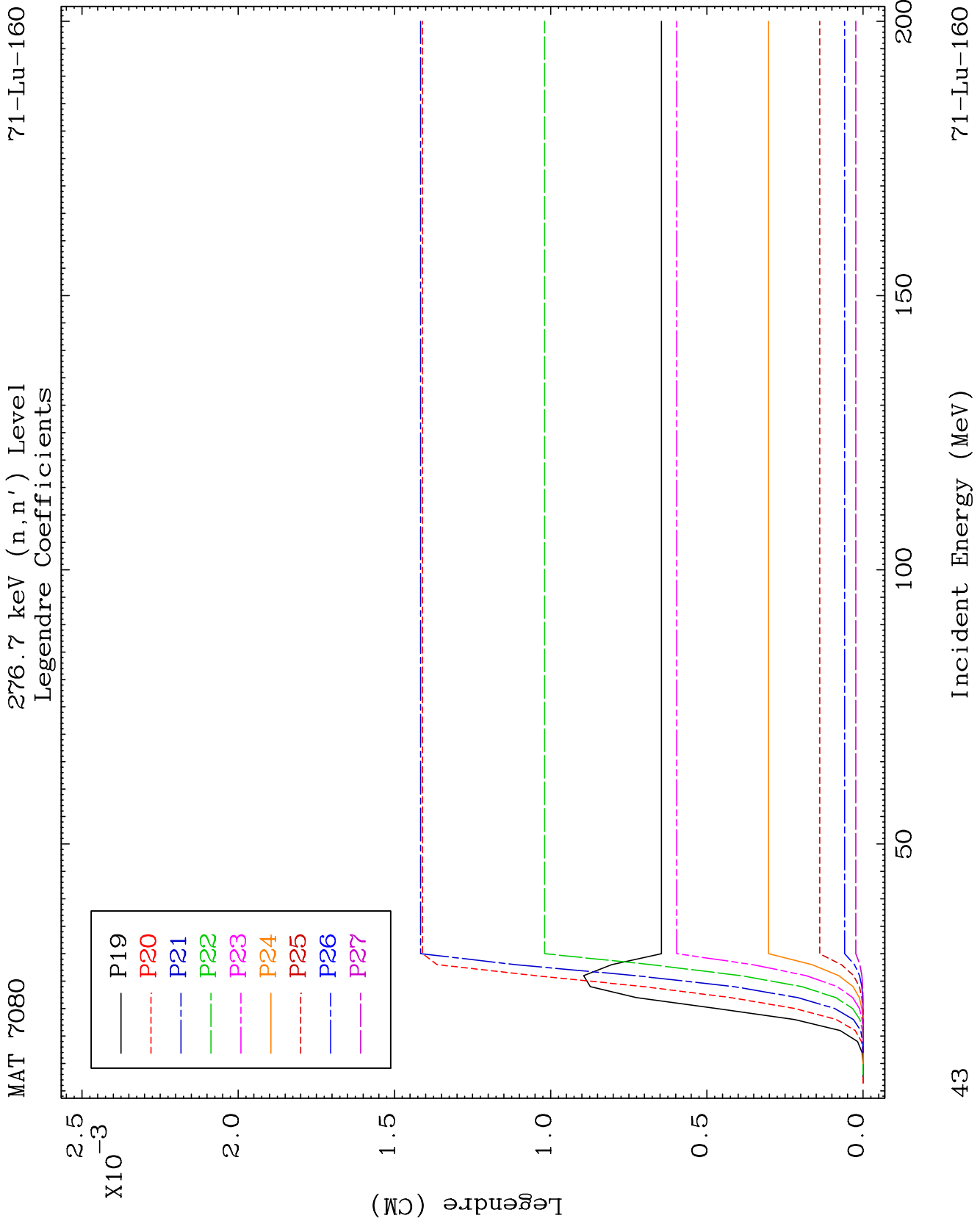
71-Lu-160

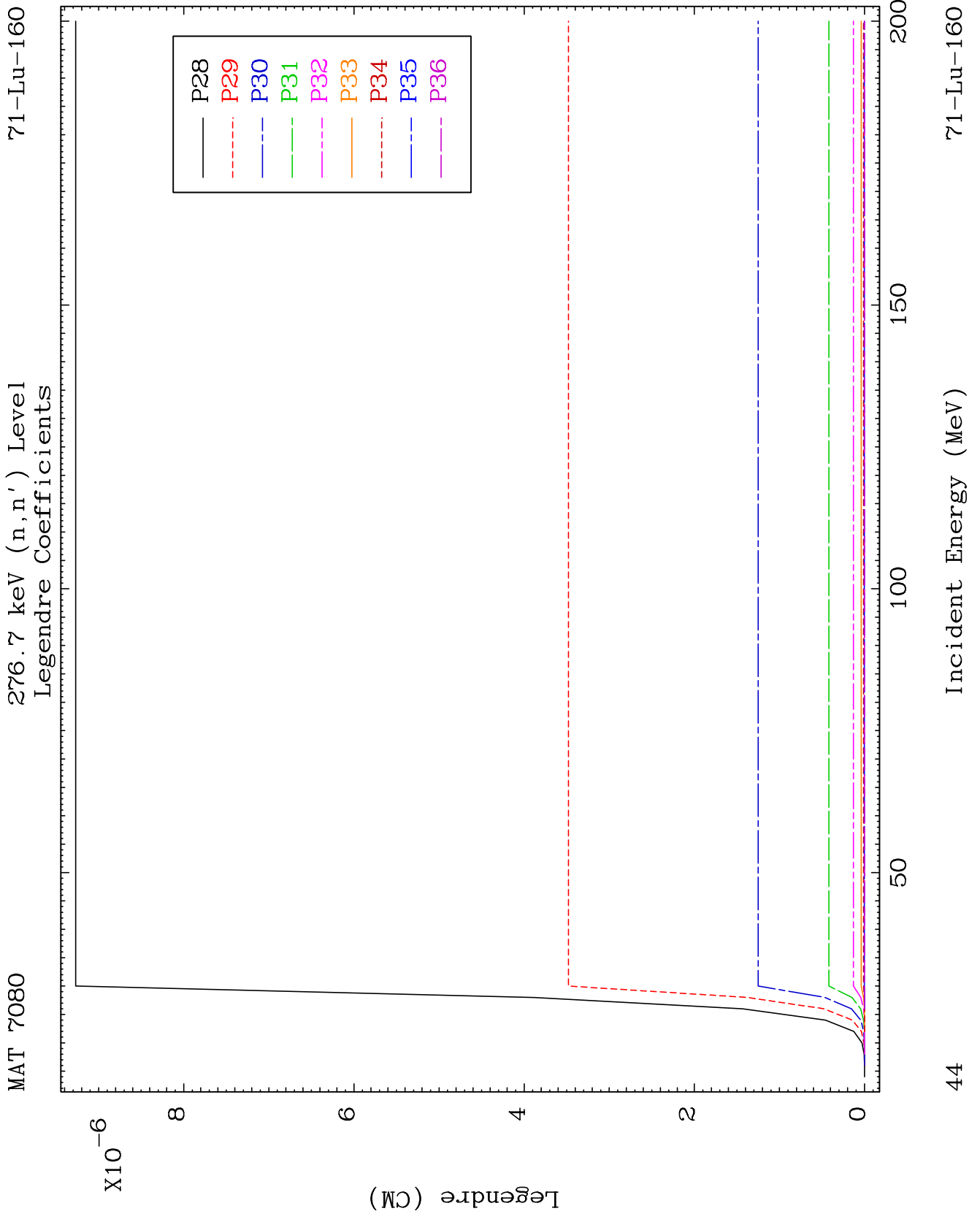


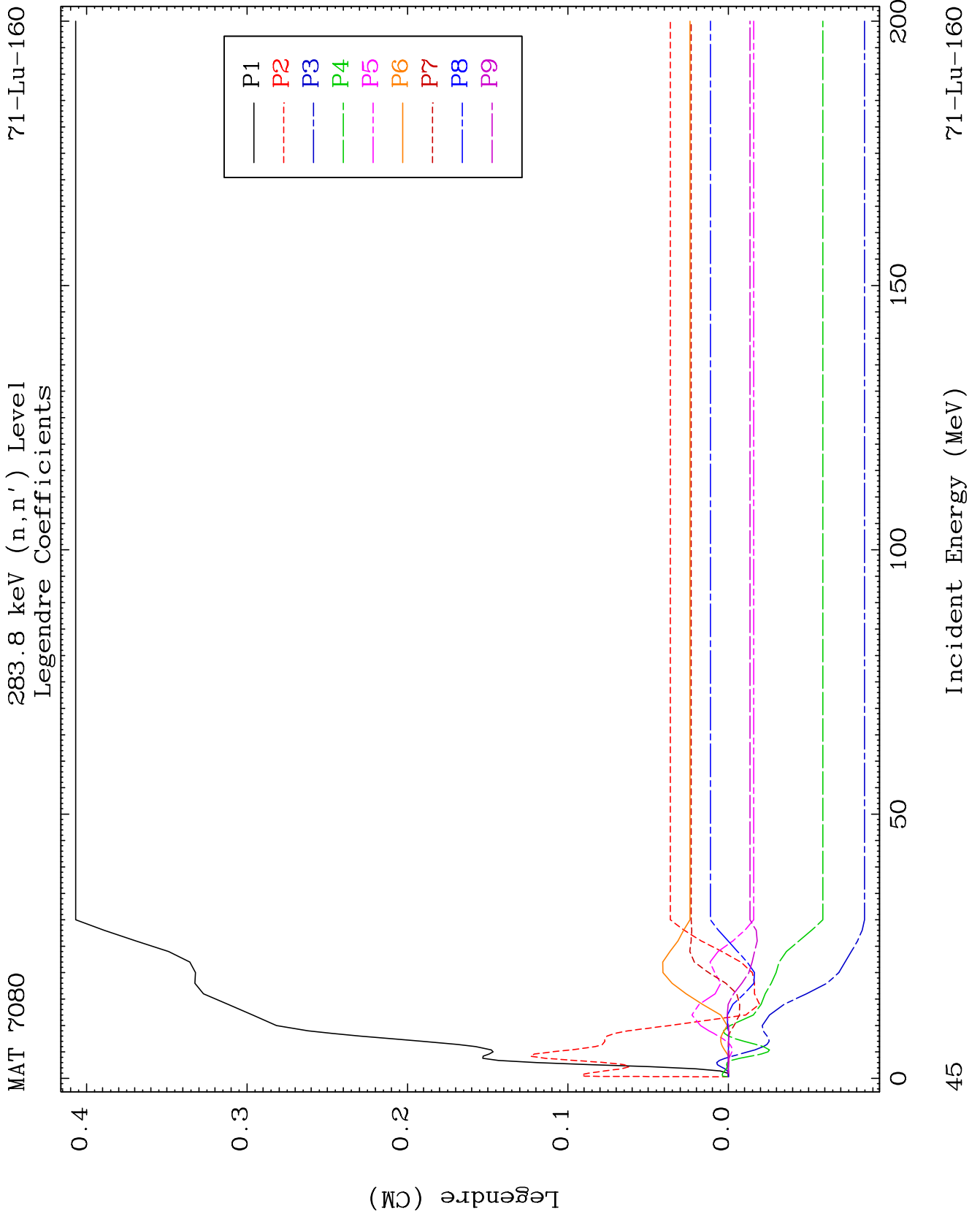




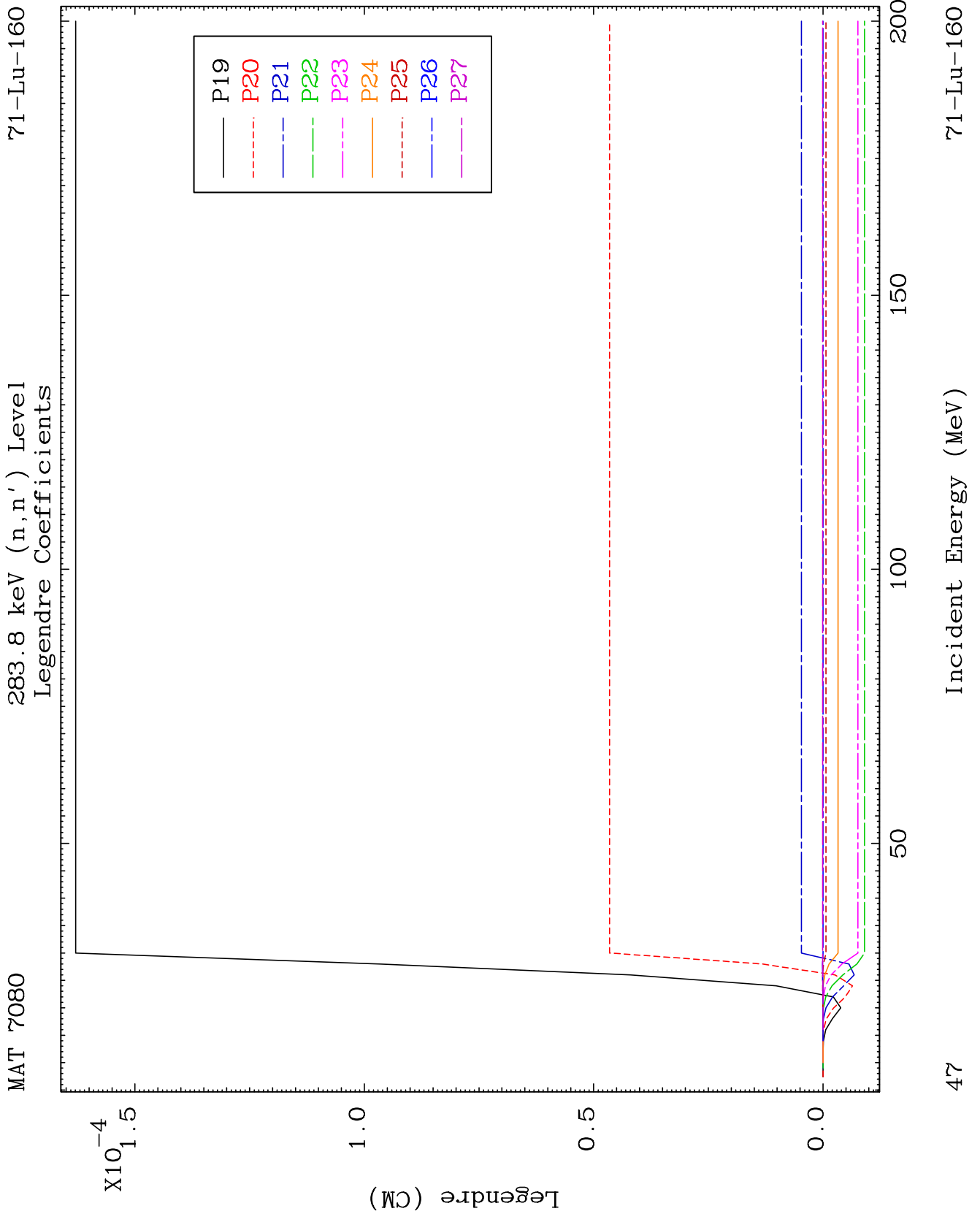




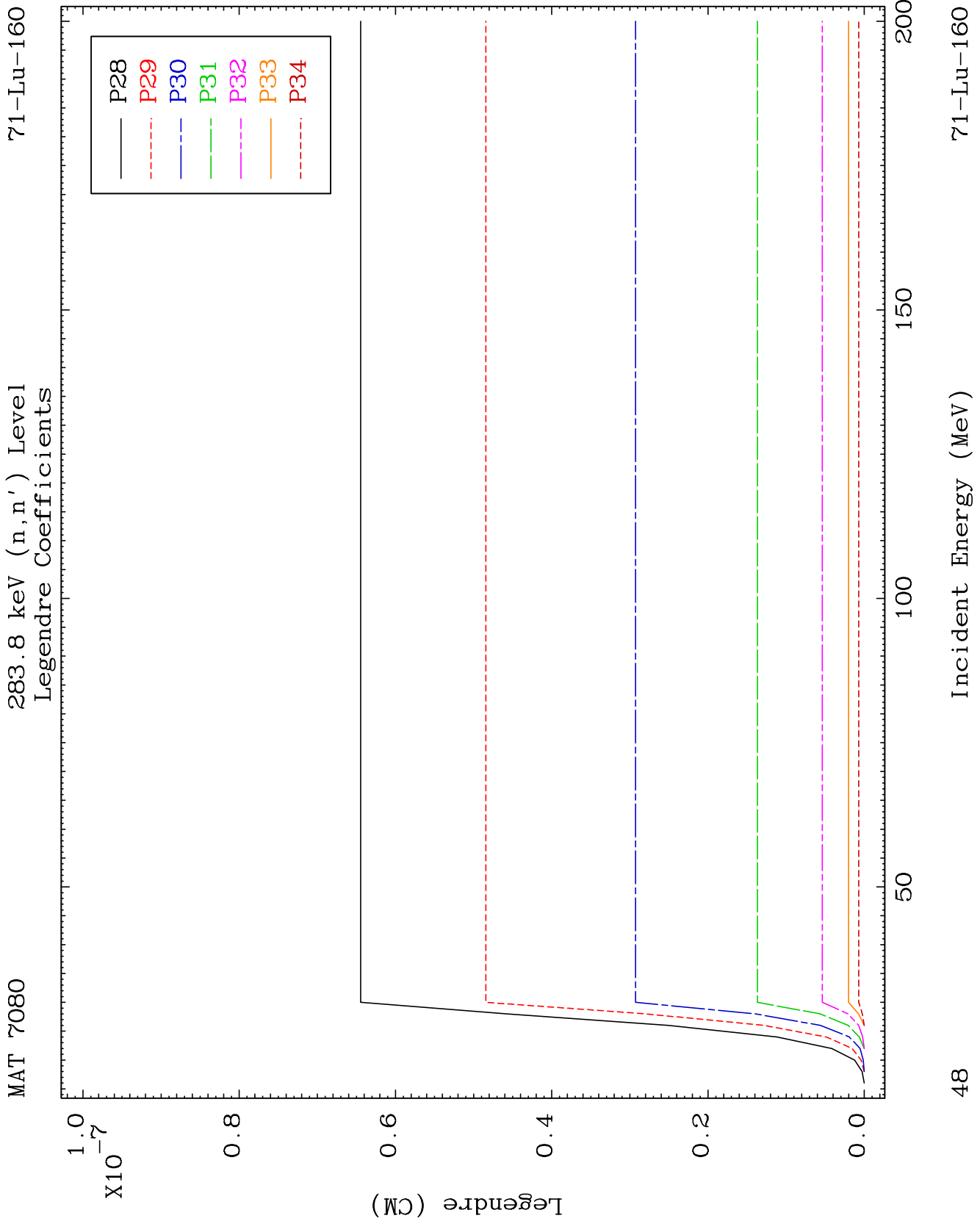


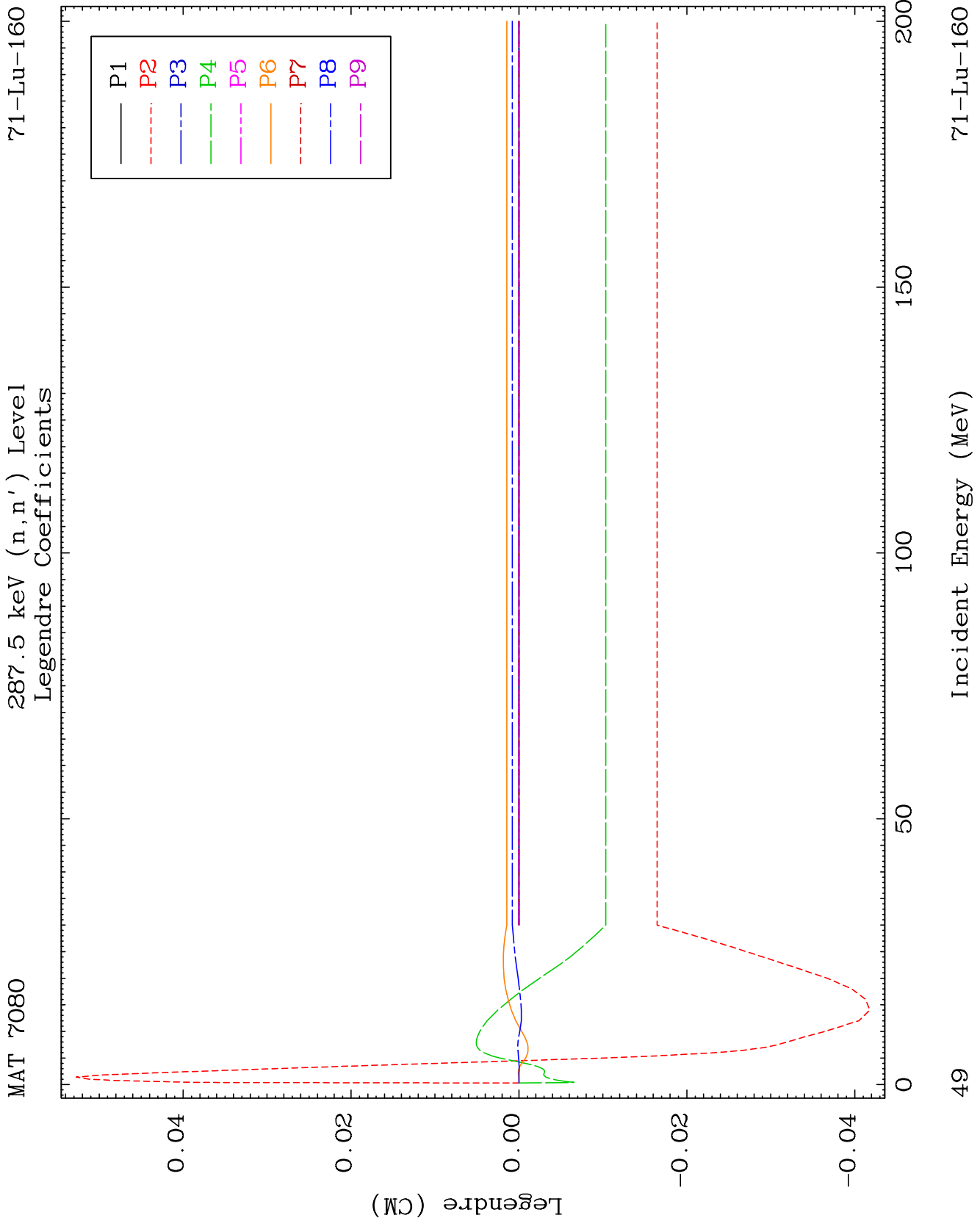




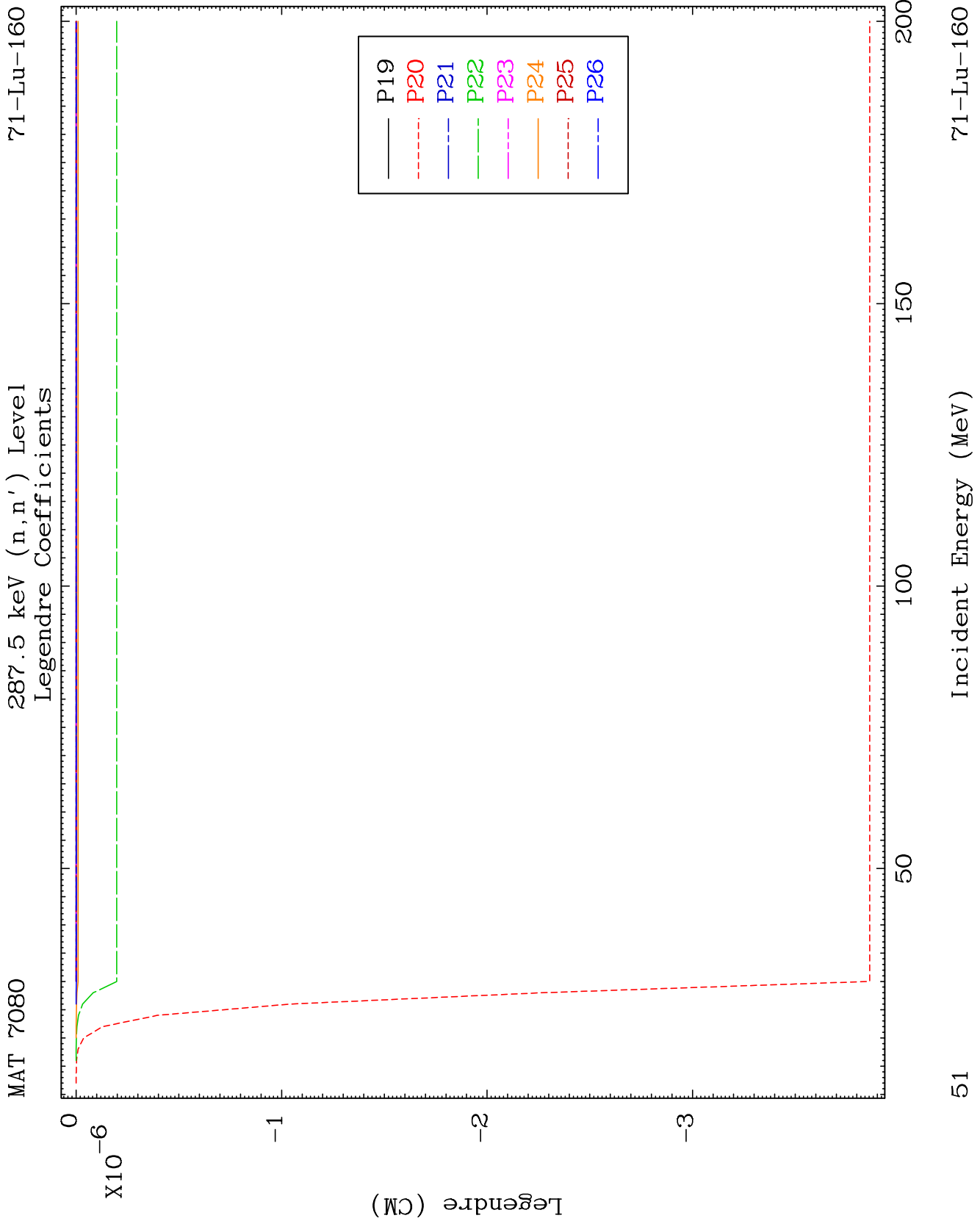


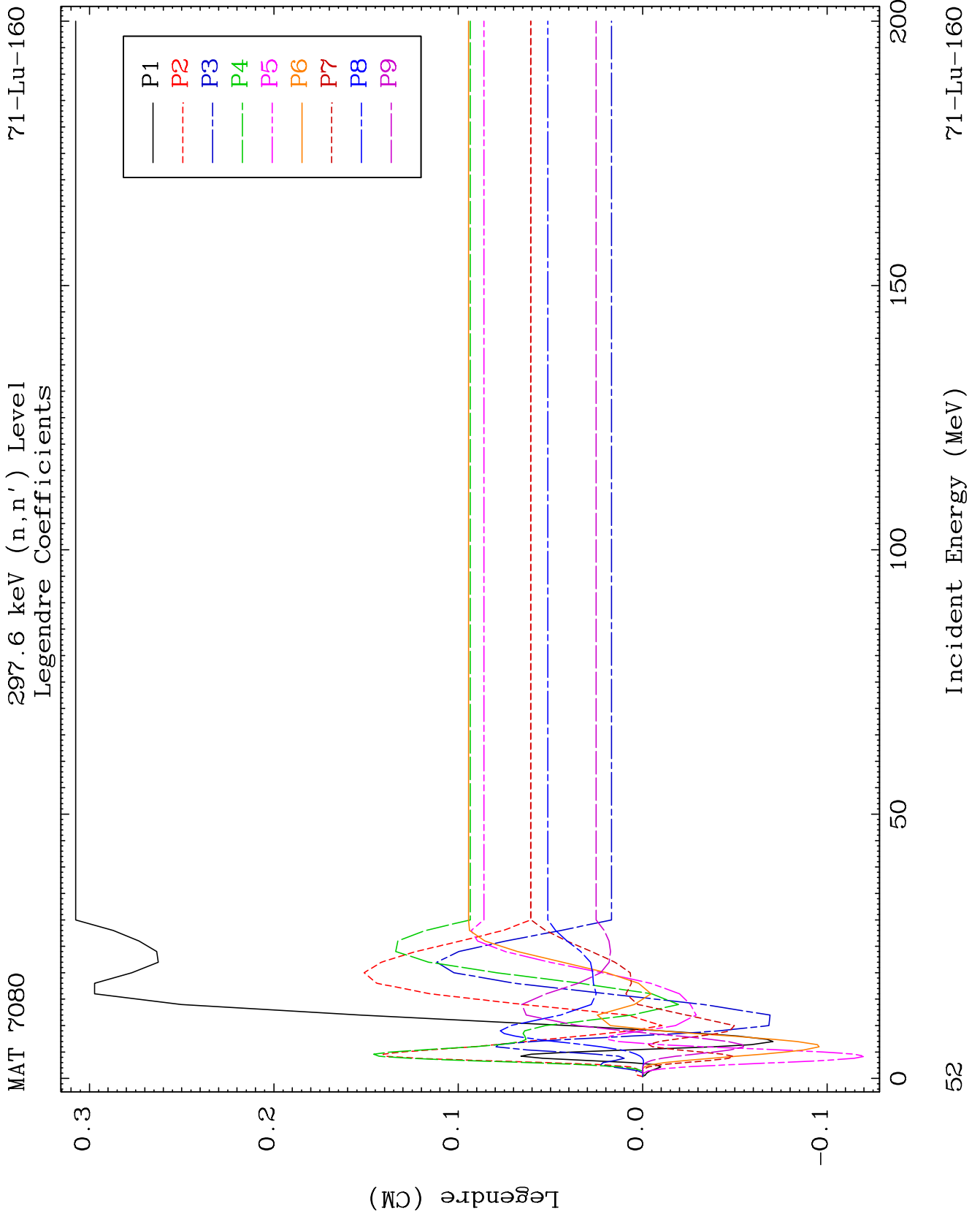


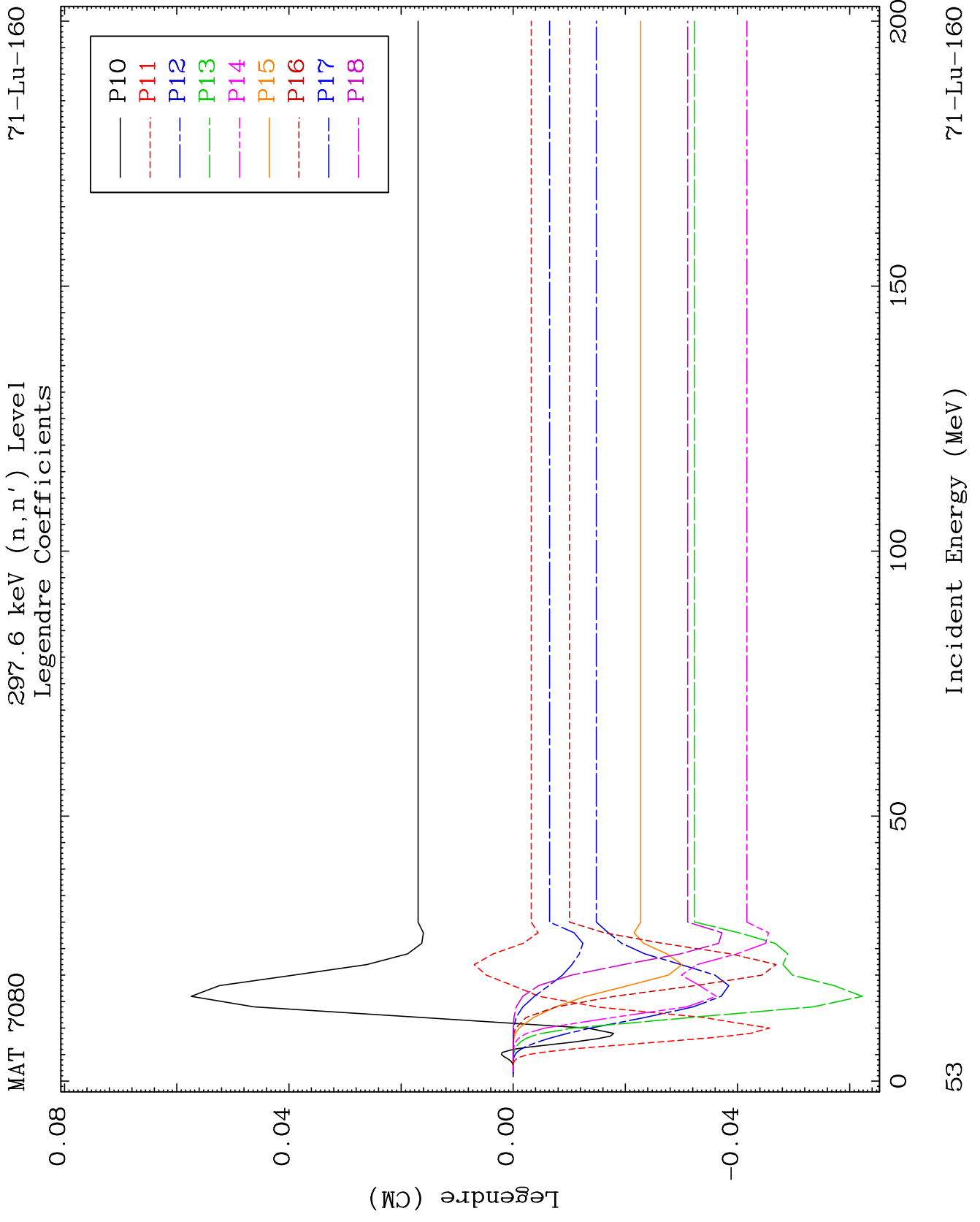


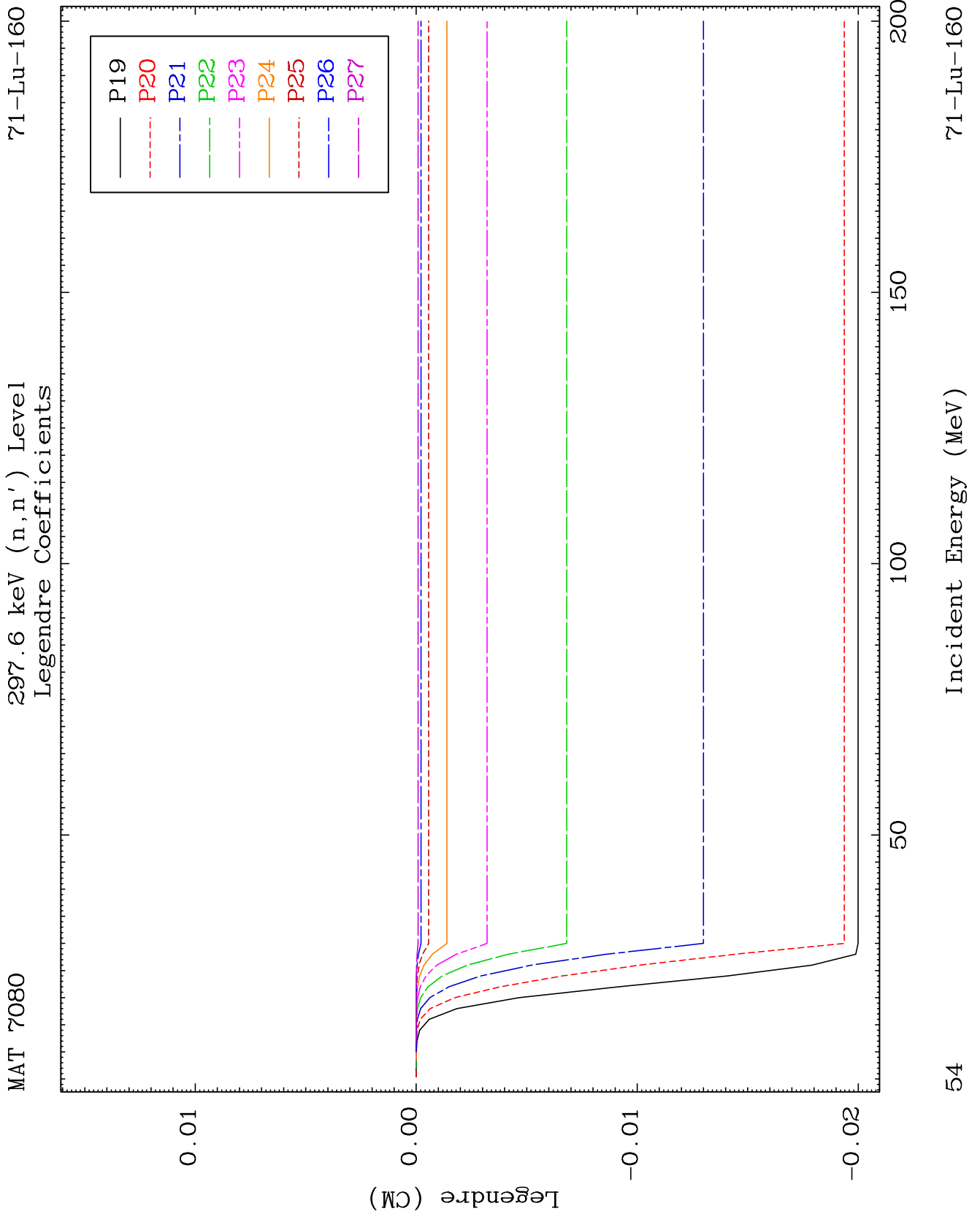


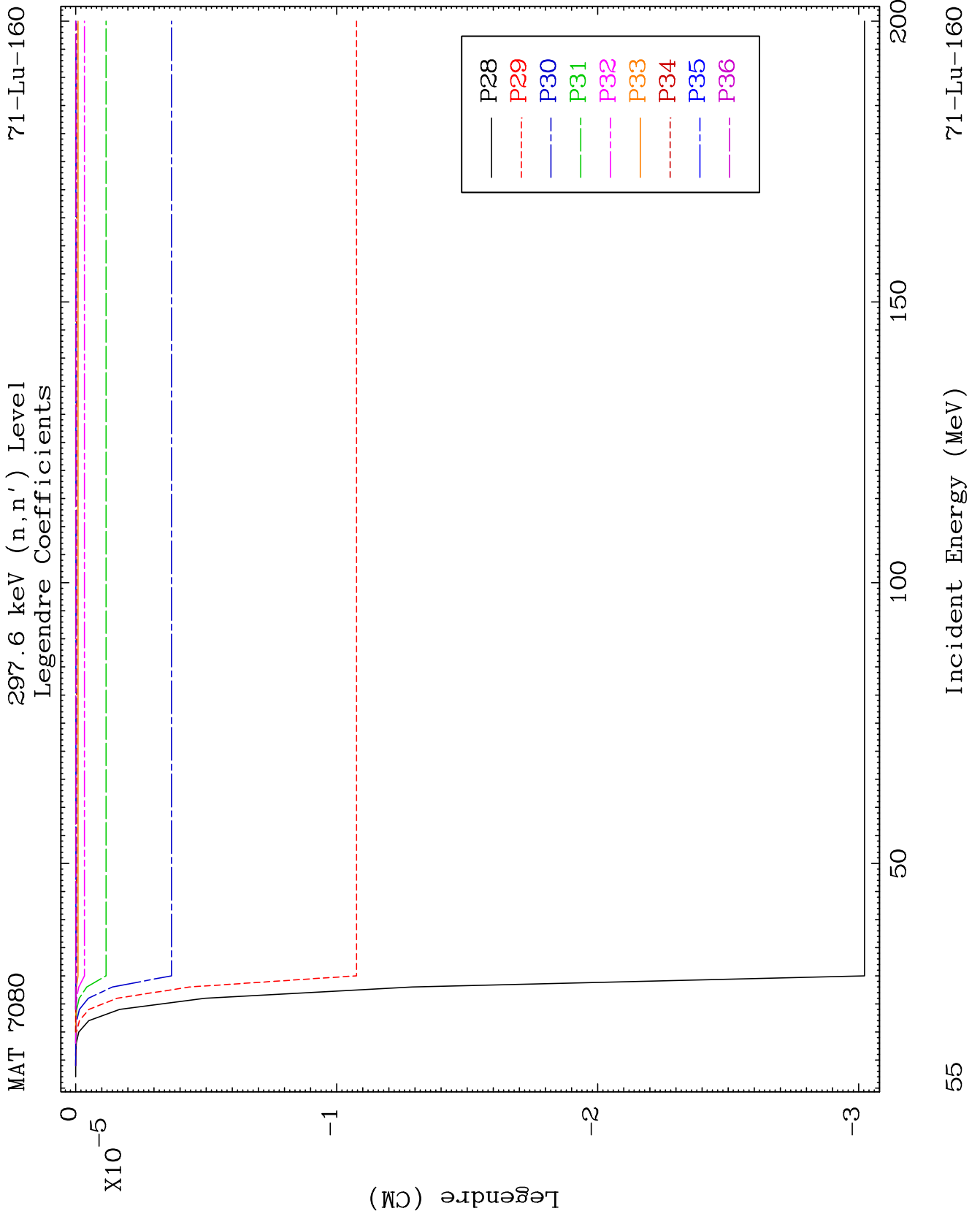




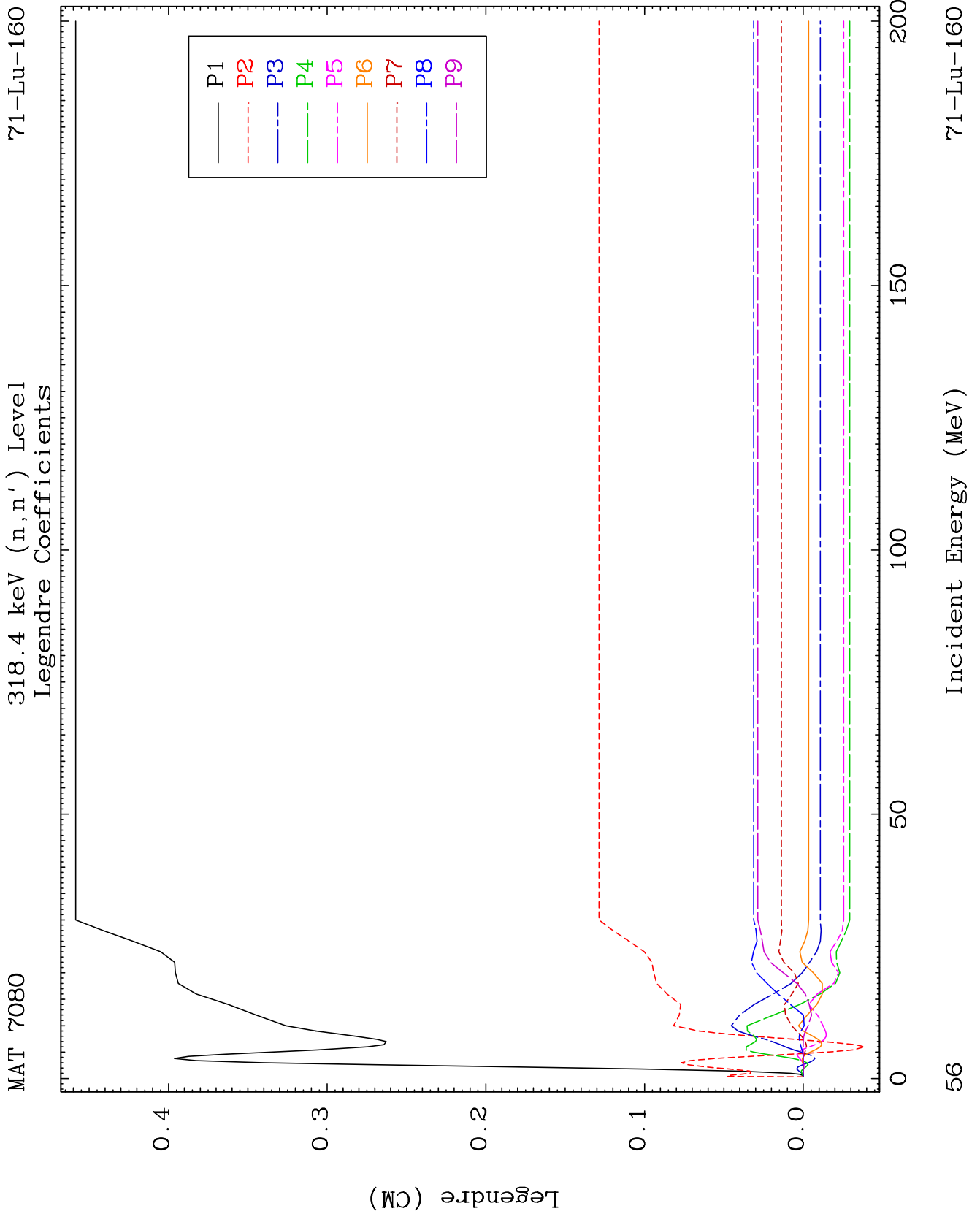


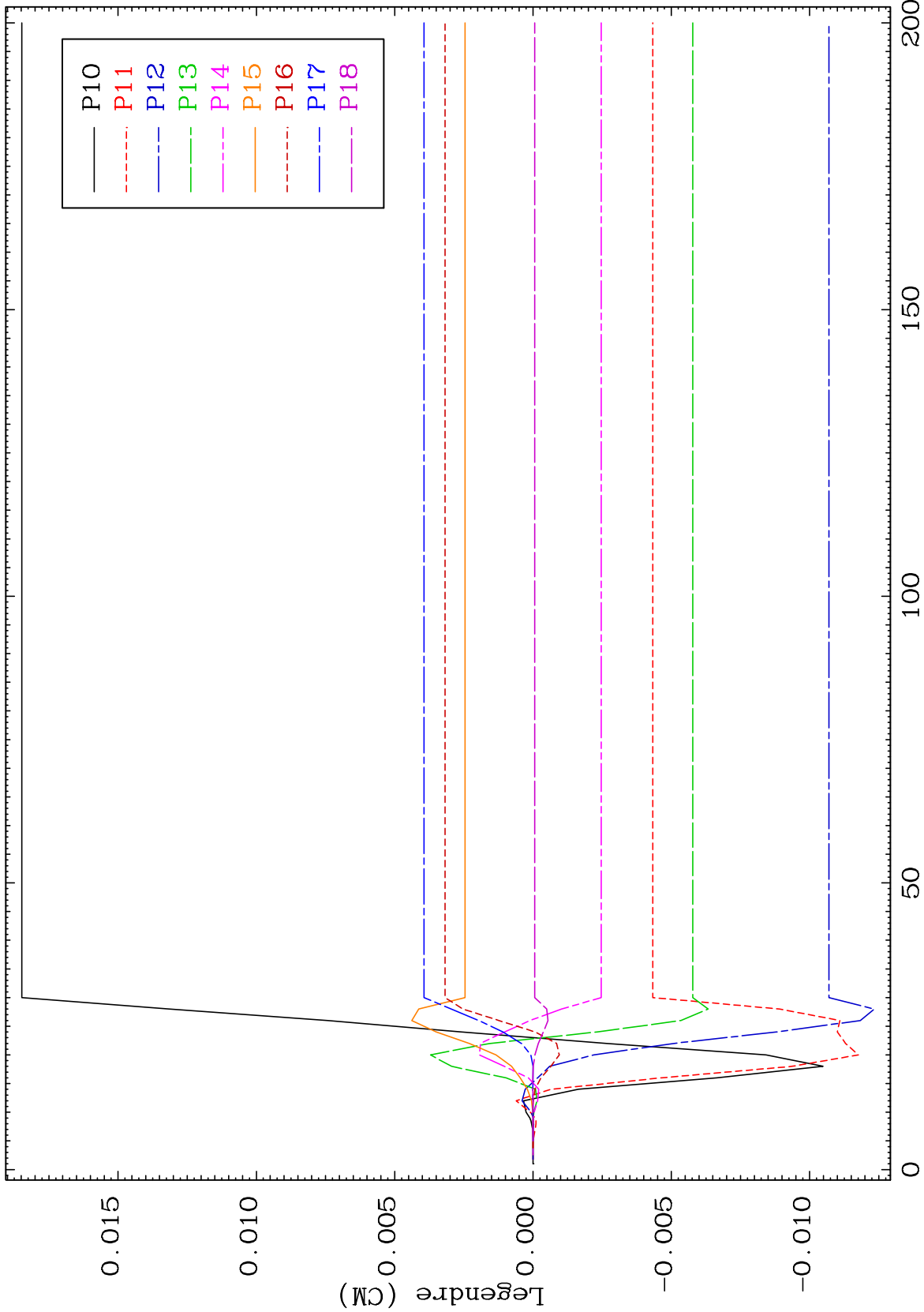


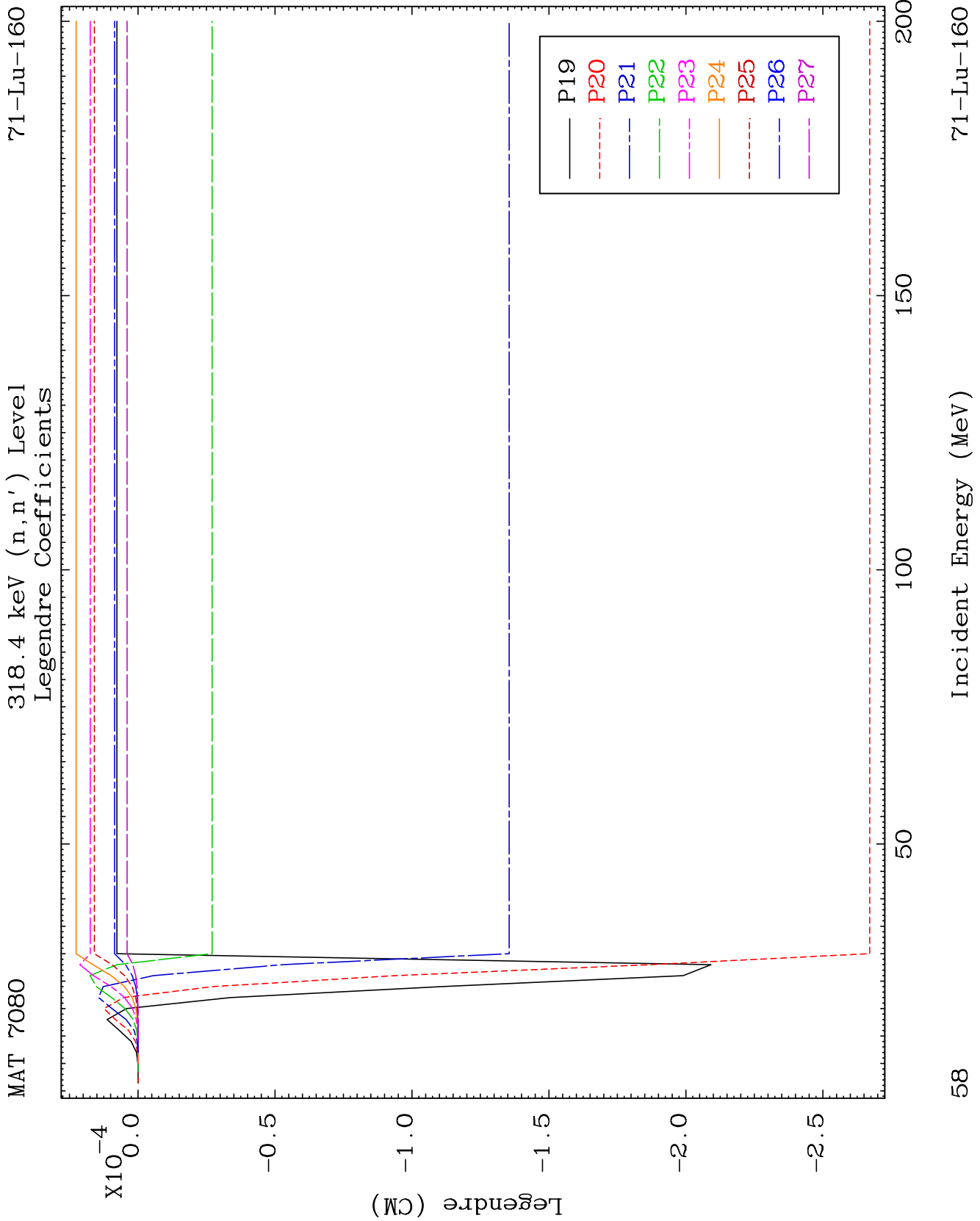


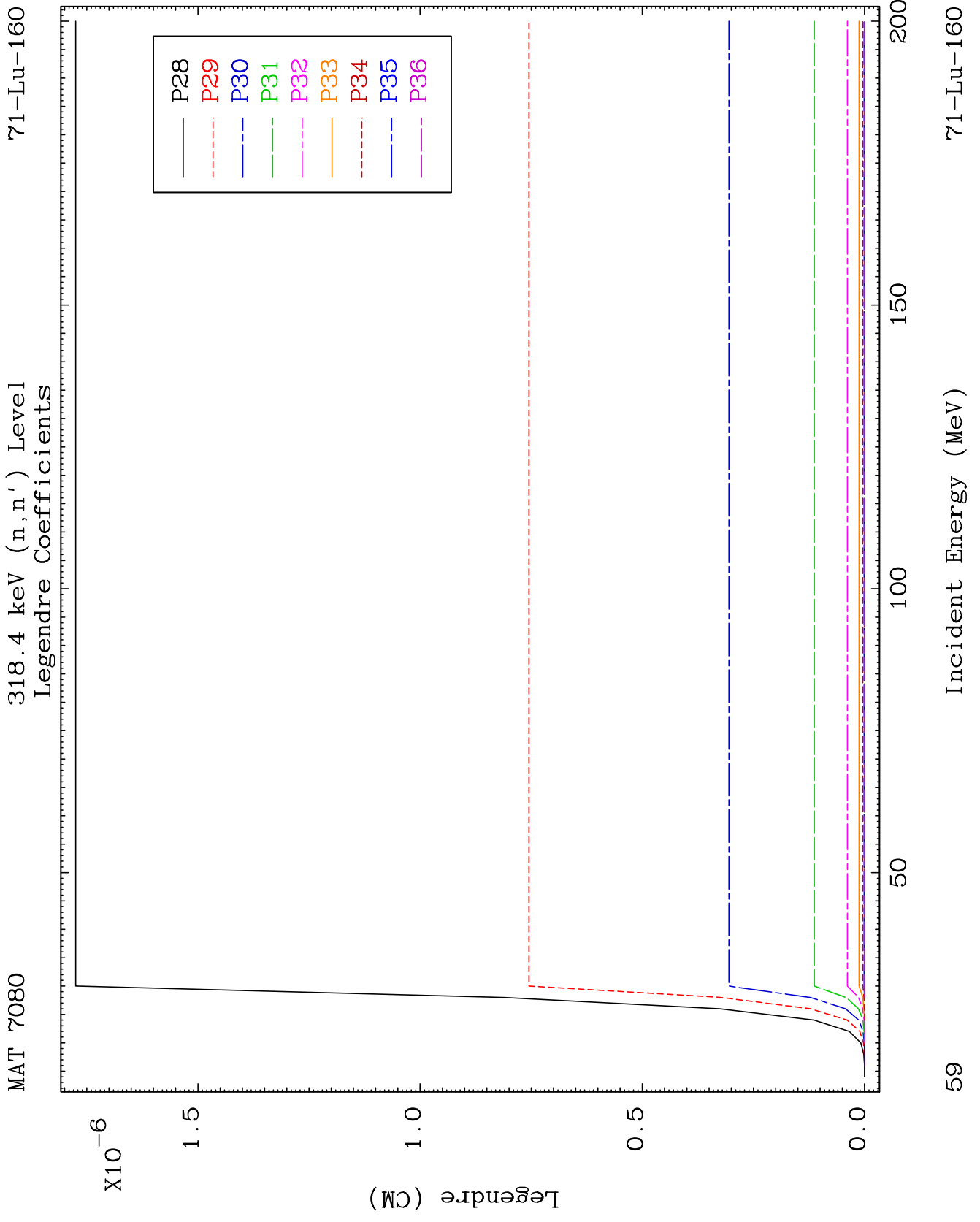


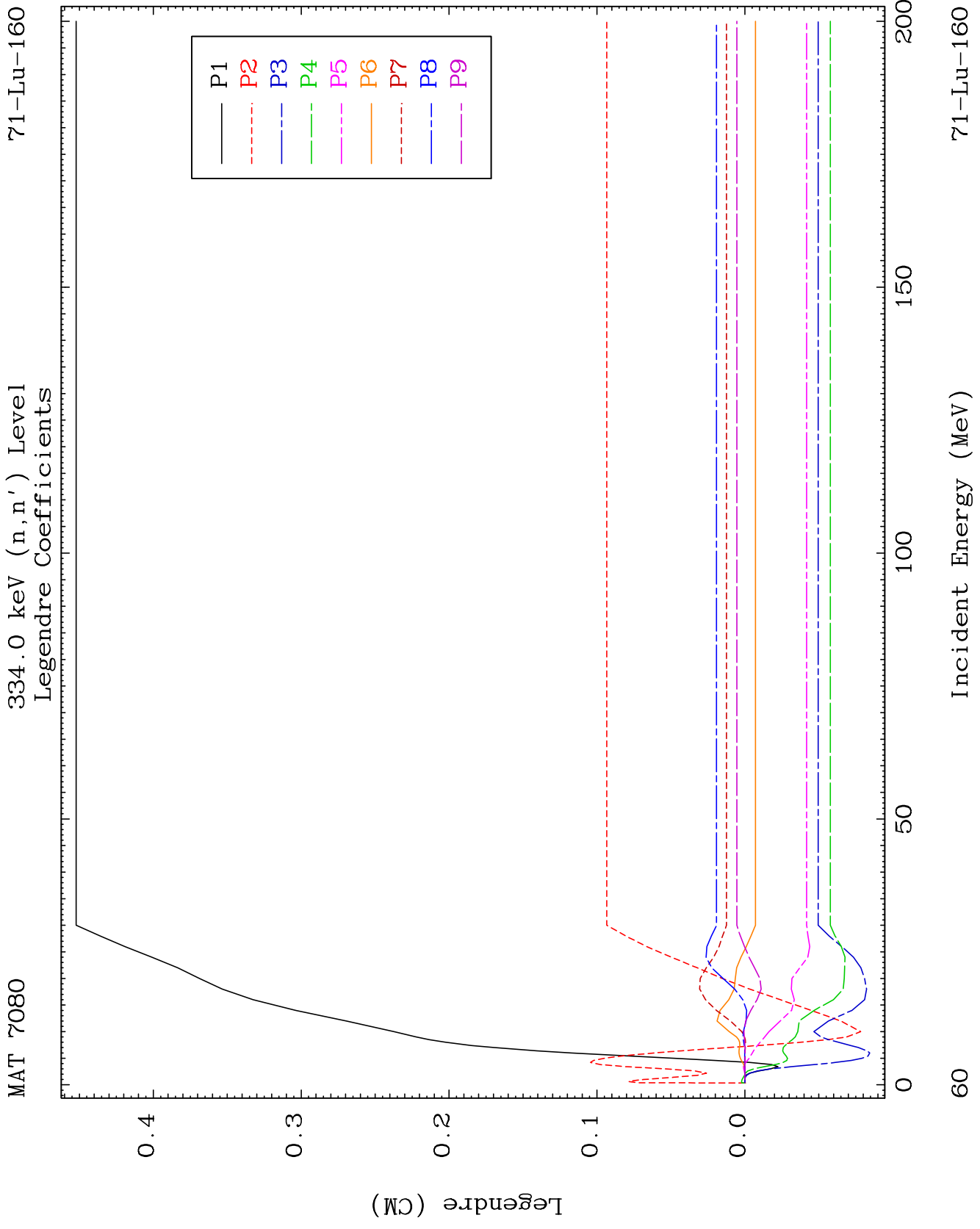








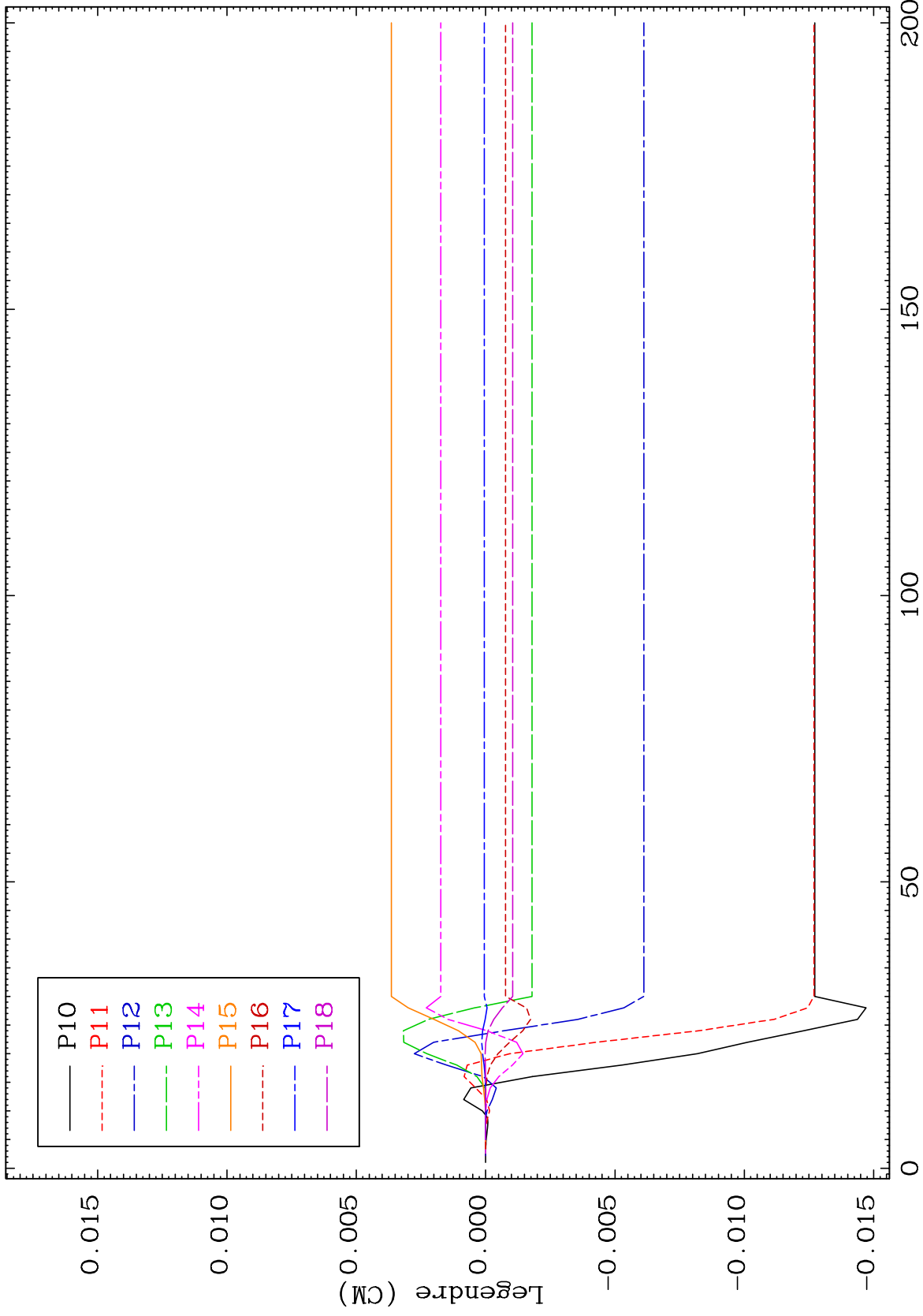




MAT 7080

334.0 keV (n,n') Level  
Legendre Coefficients

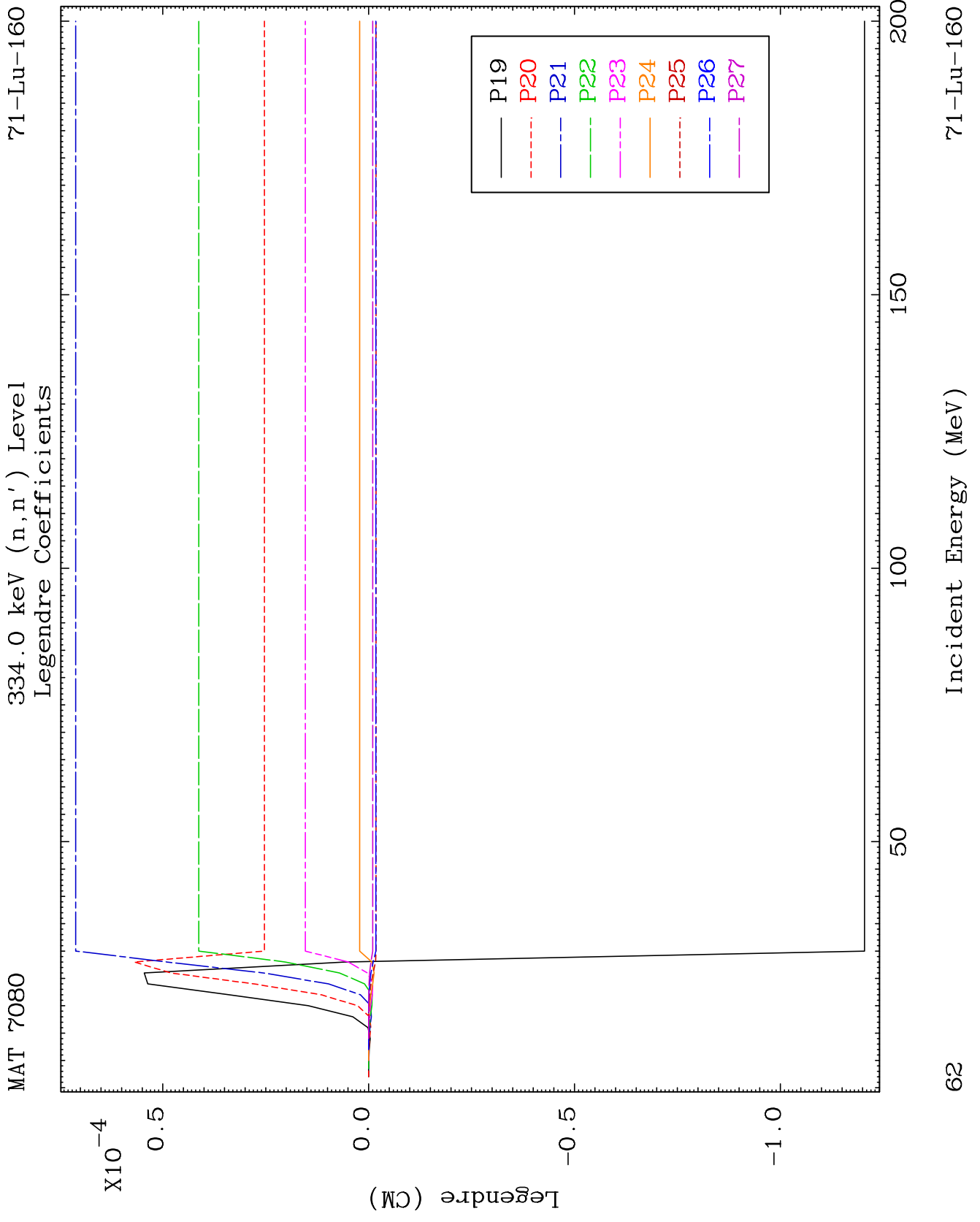
71-Lu-160

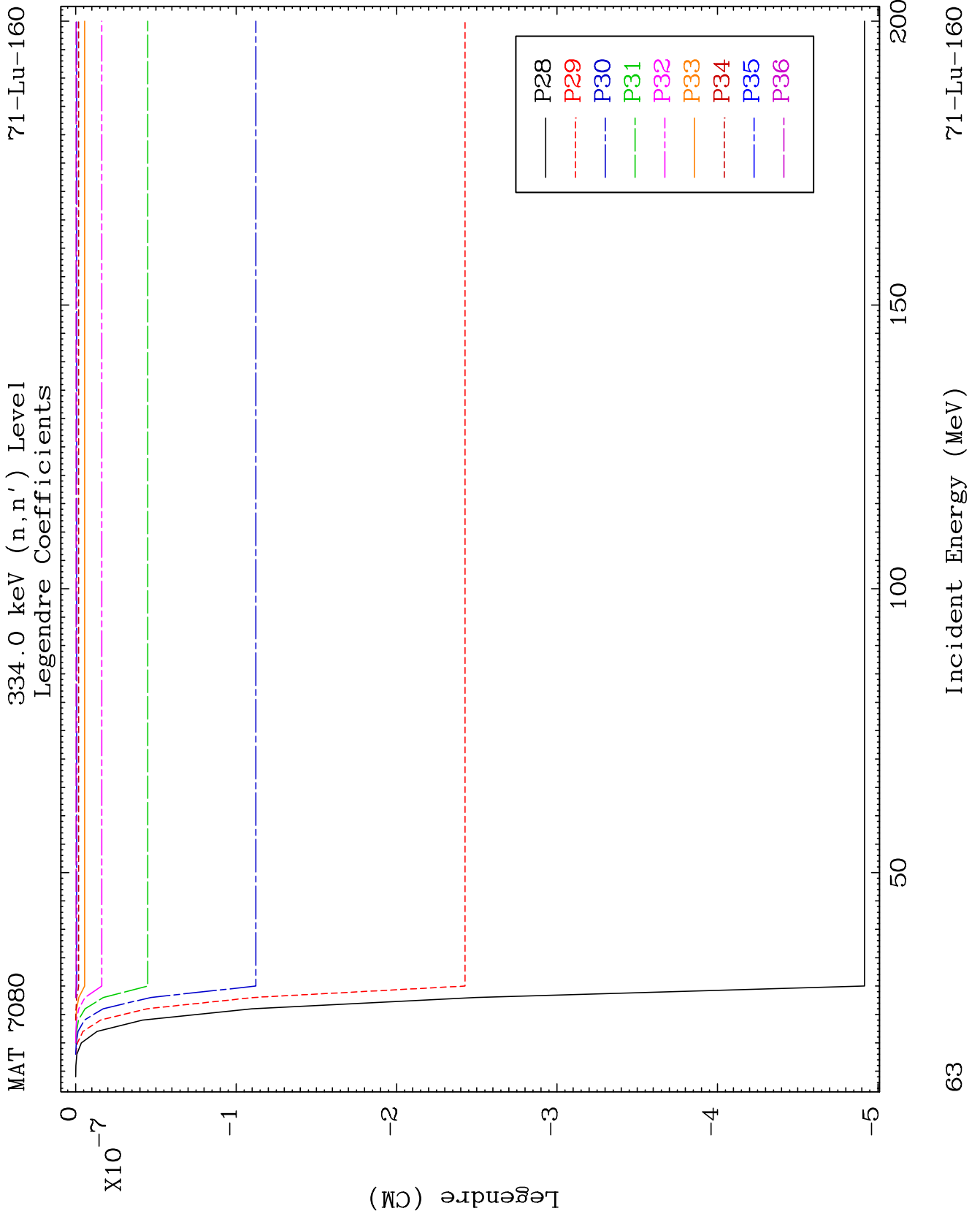


61

Incident Energy (MeV)

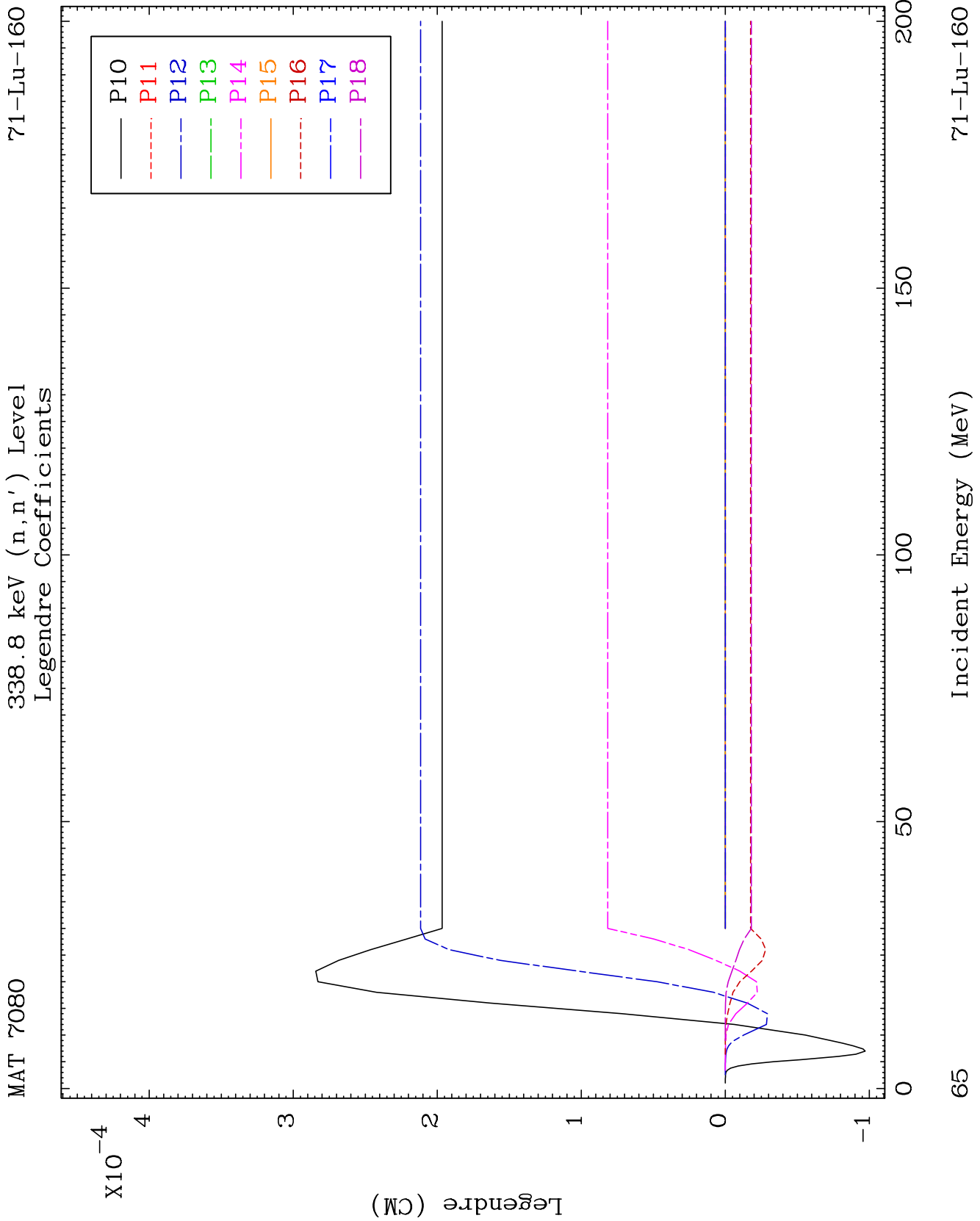
71-Lu-160

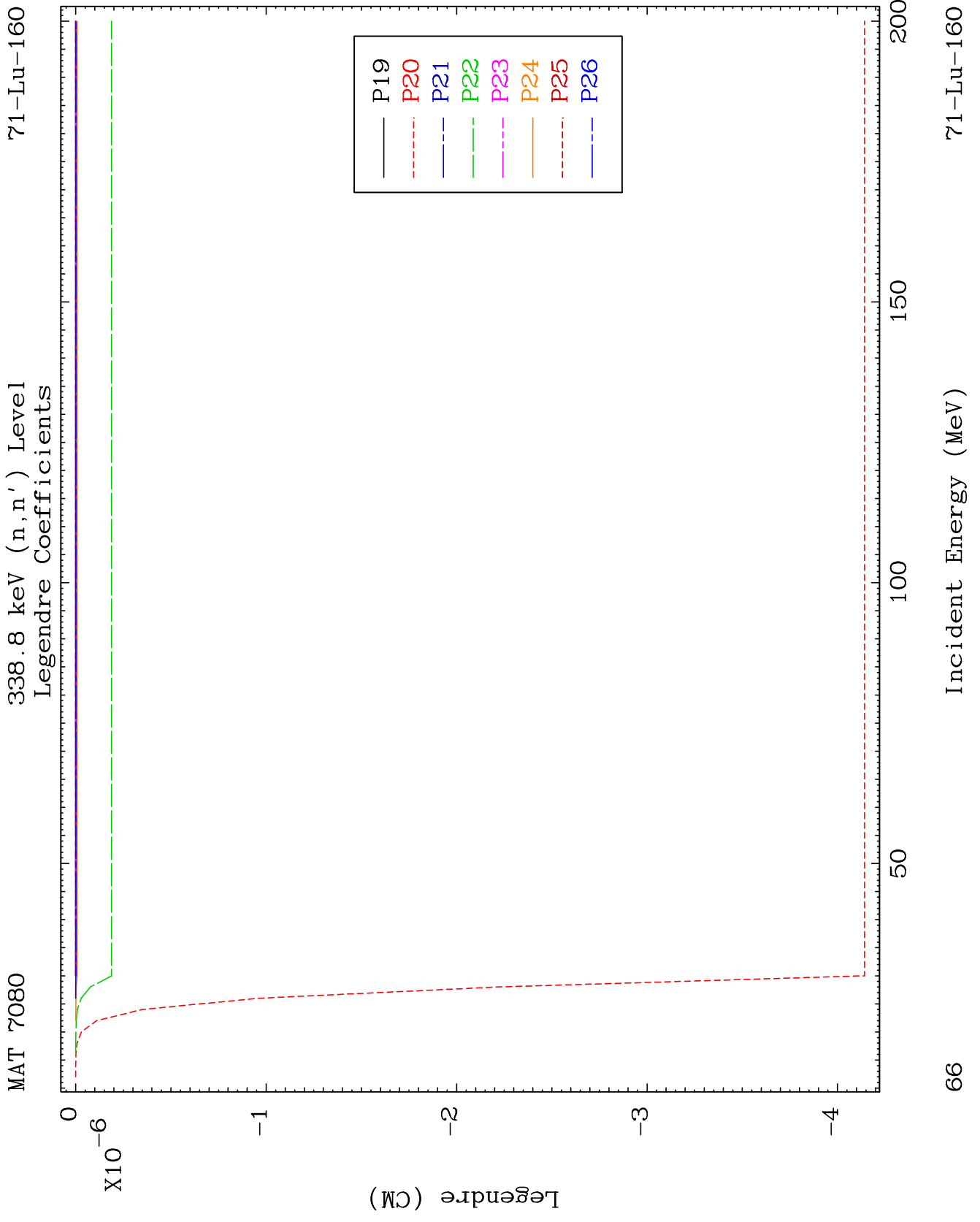


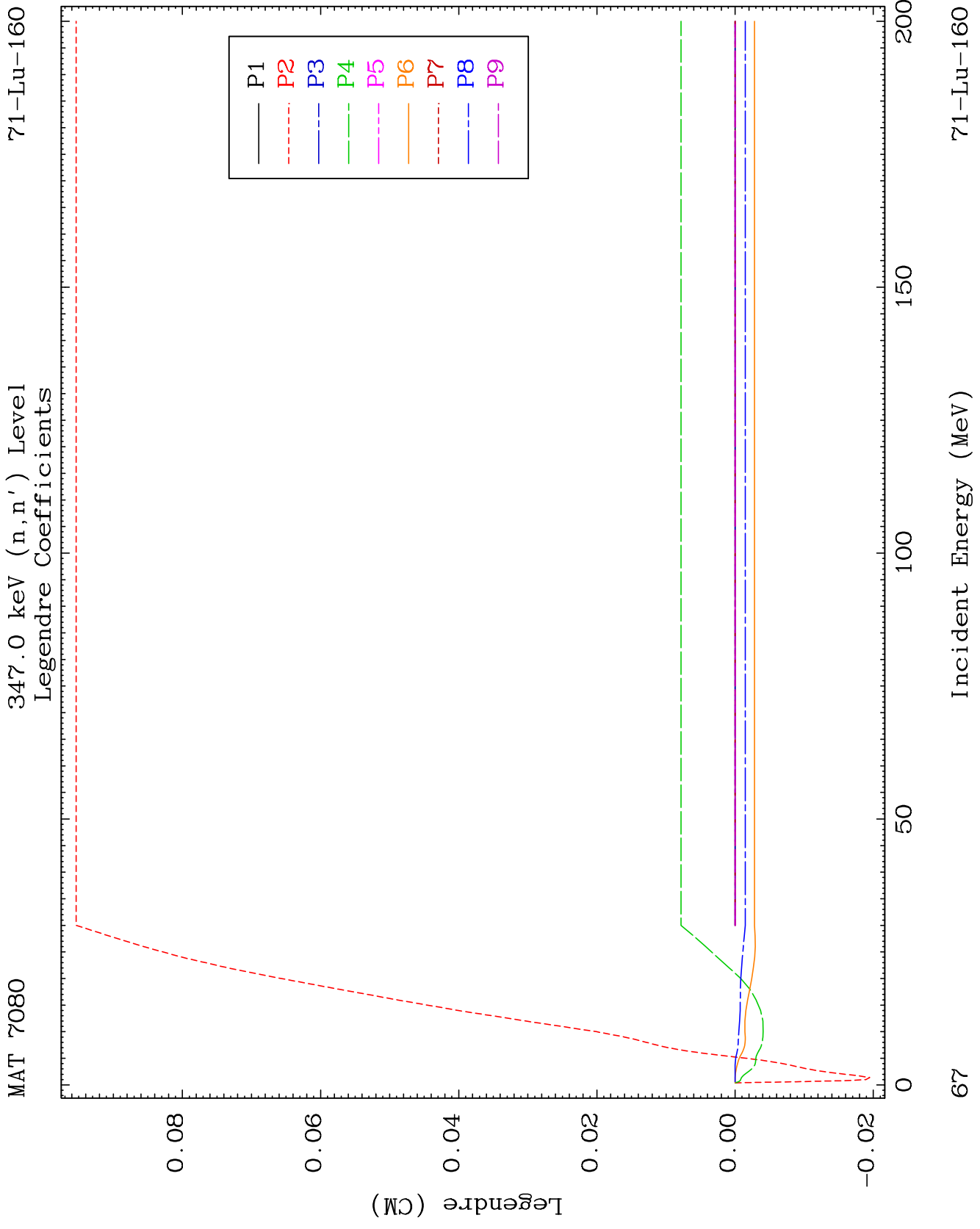








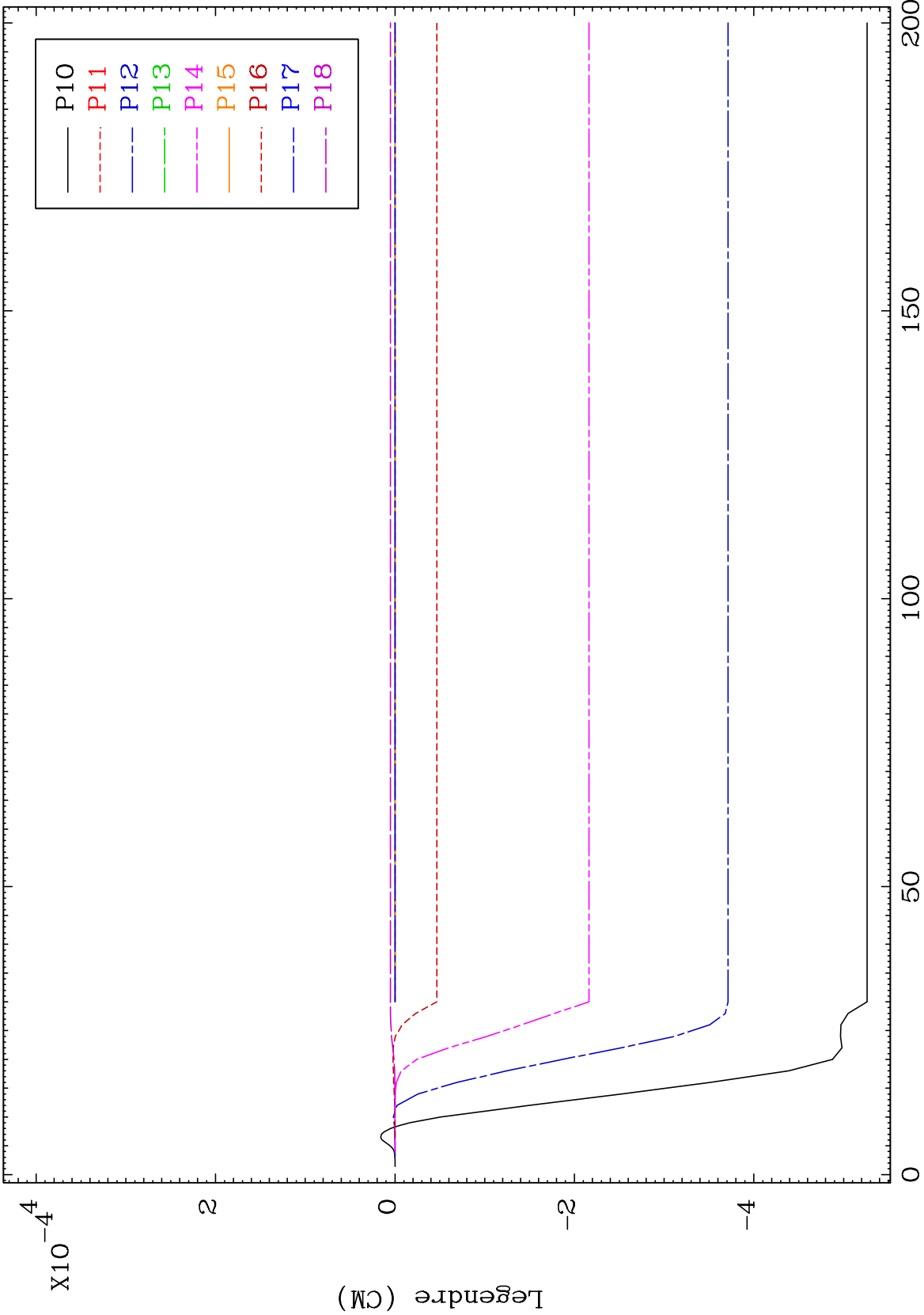




MAT 7080

347.0 keV (n,n') Level  
Legendre Coefficients

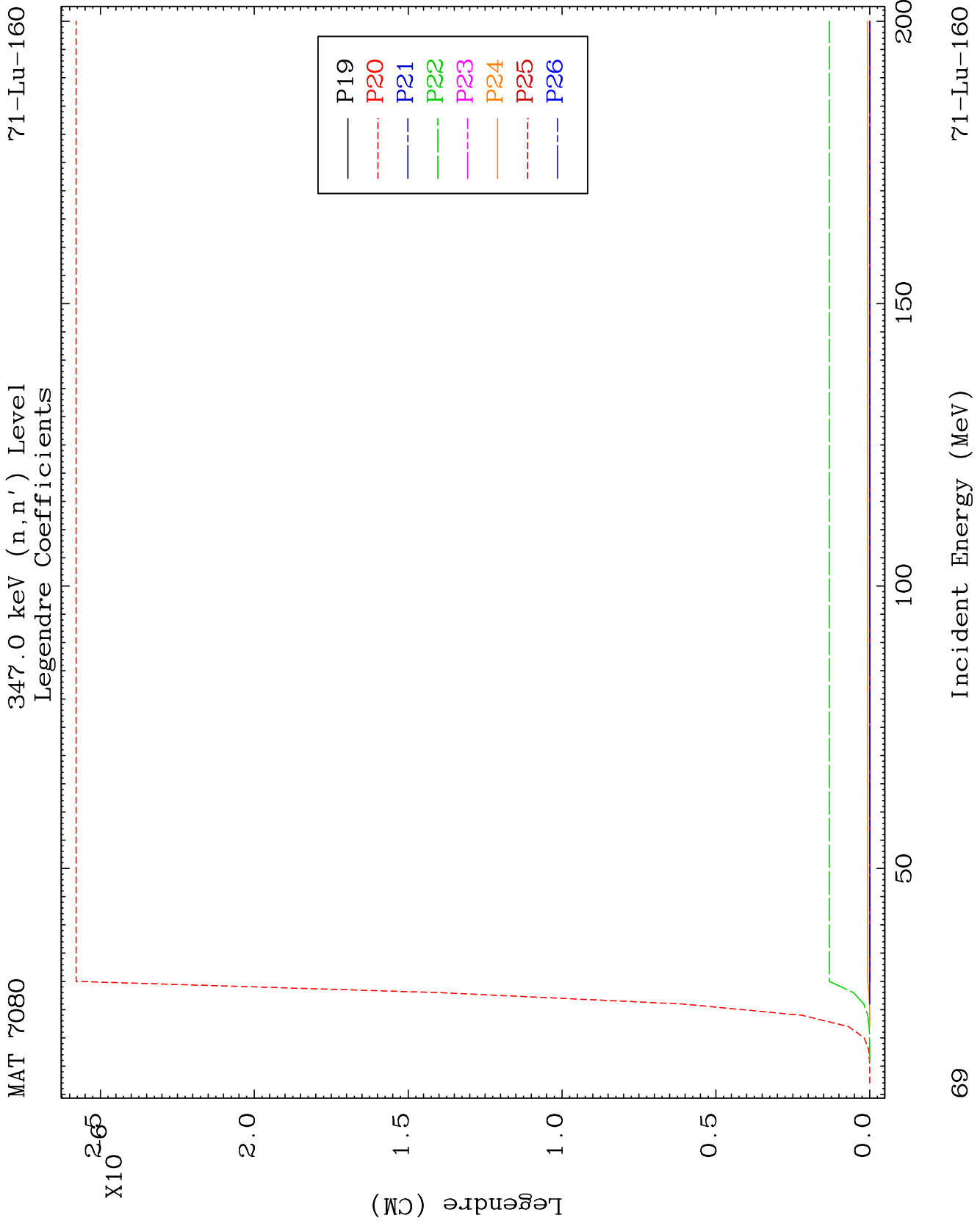
71-Lu-160



68

Incident Energy (MeV)

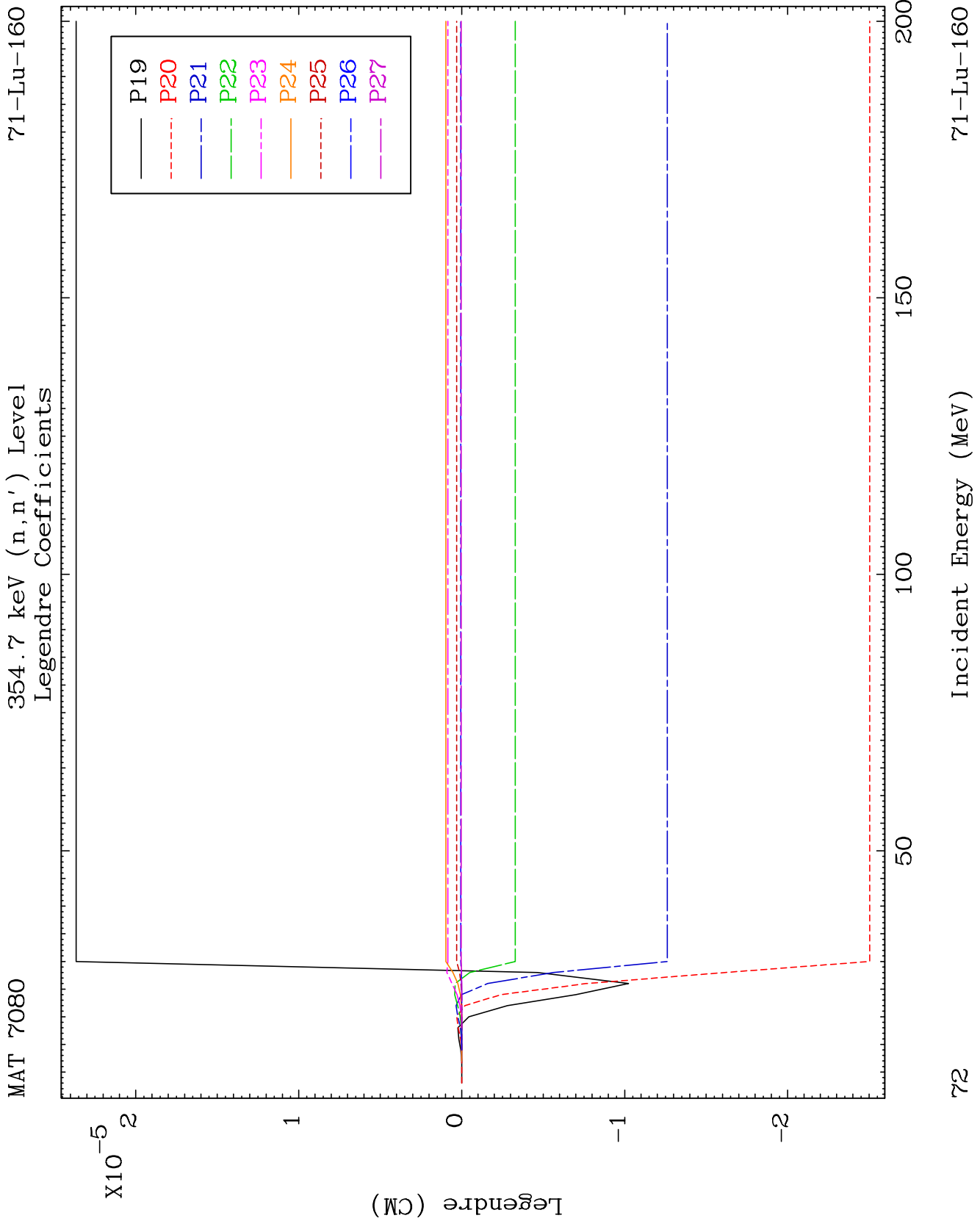
71-Lu-160











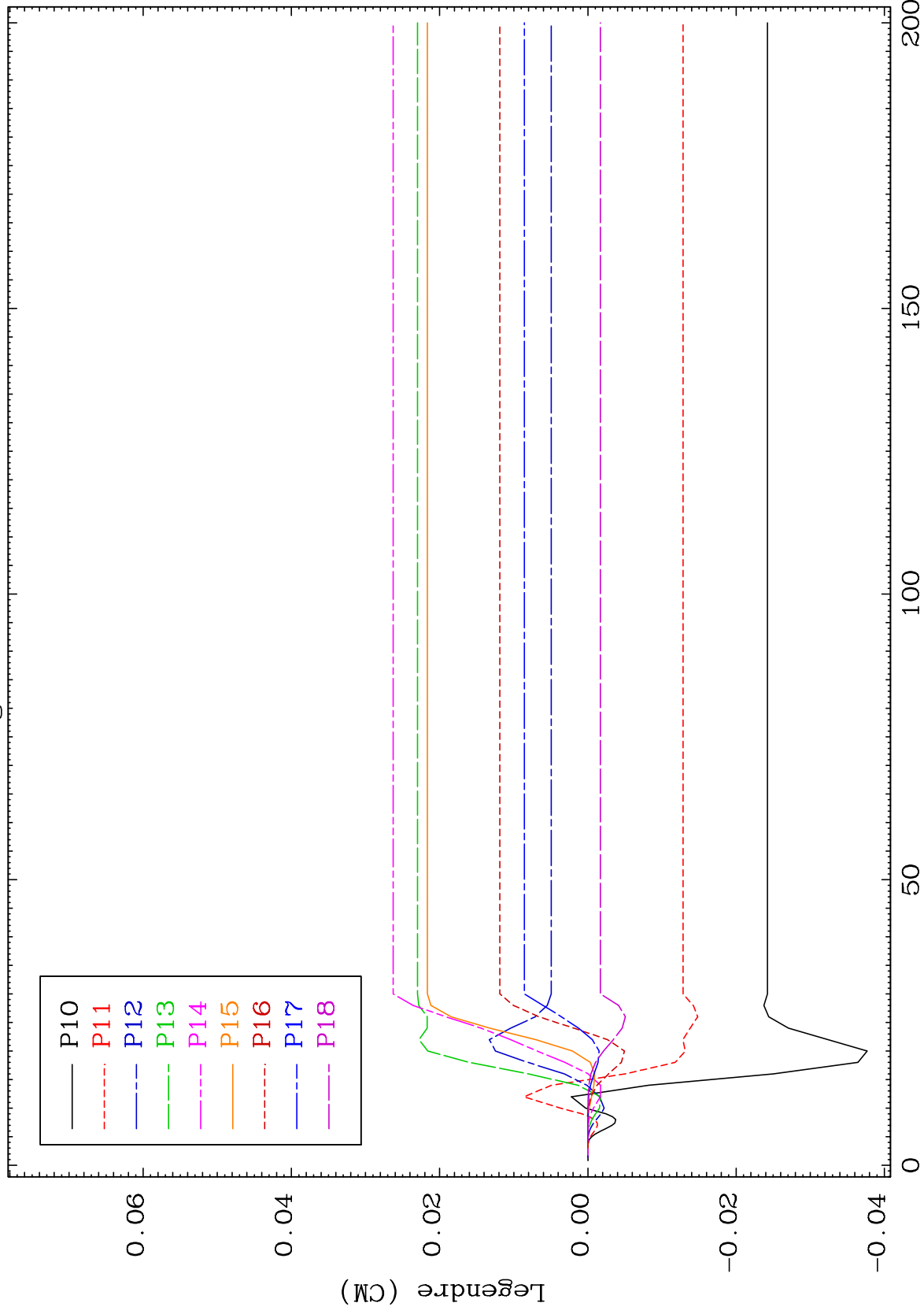




MAT 7080

368.8 keV (n,n') Level  
Legendre Coefficients

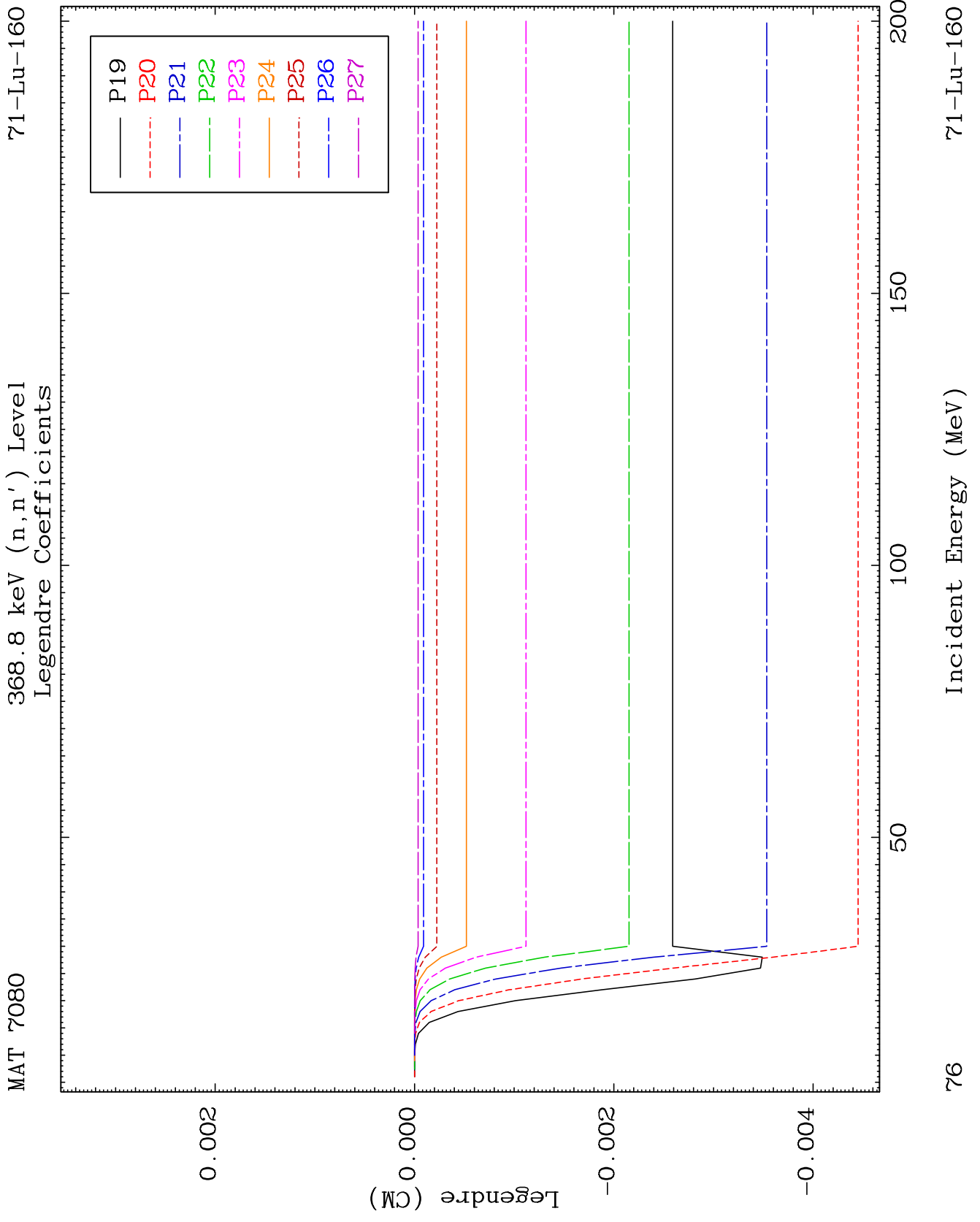
71-Lu-160

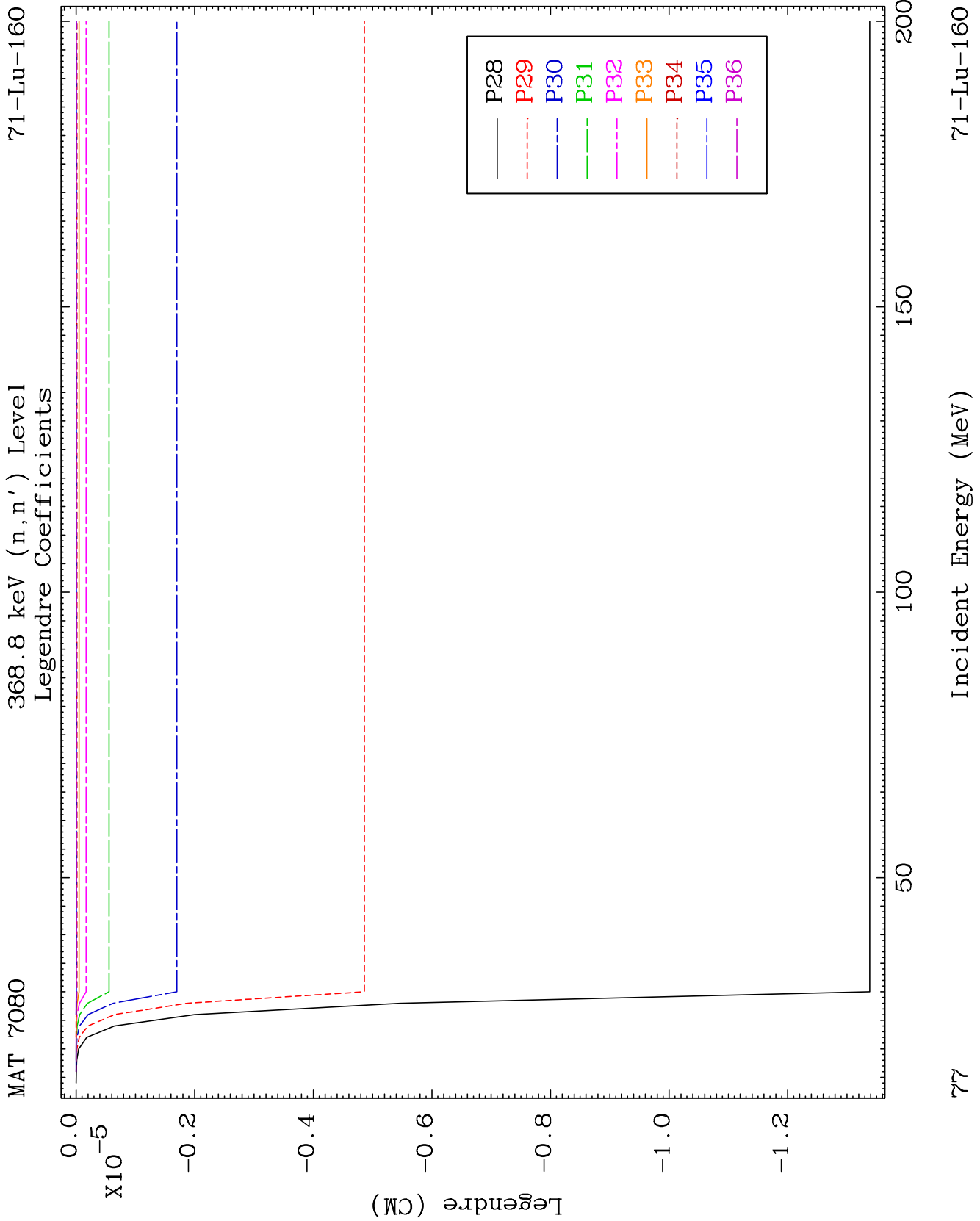


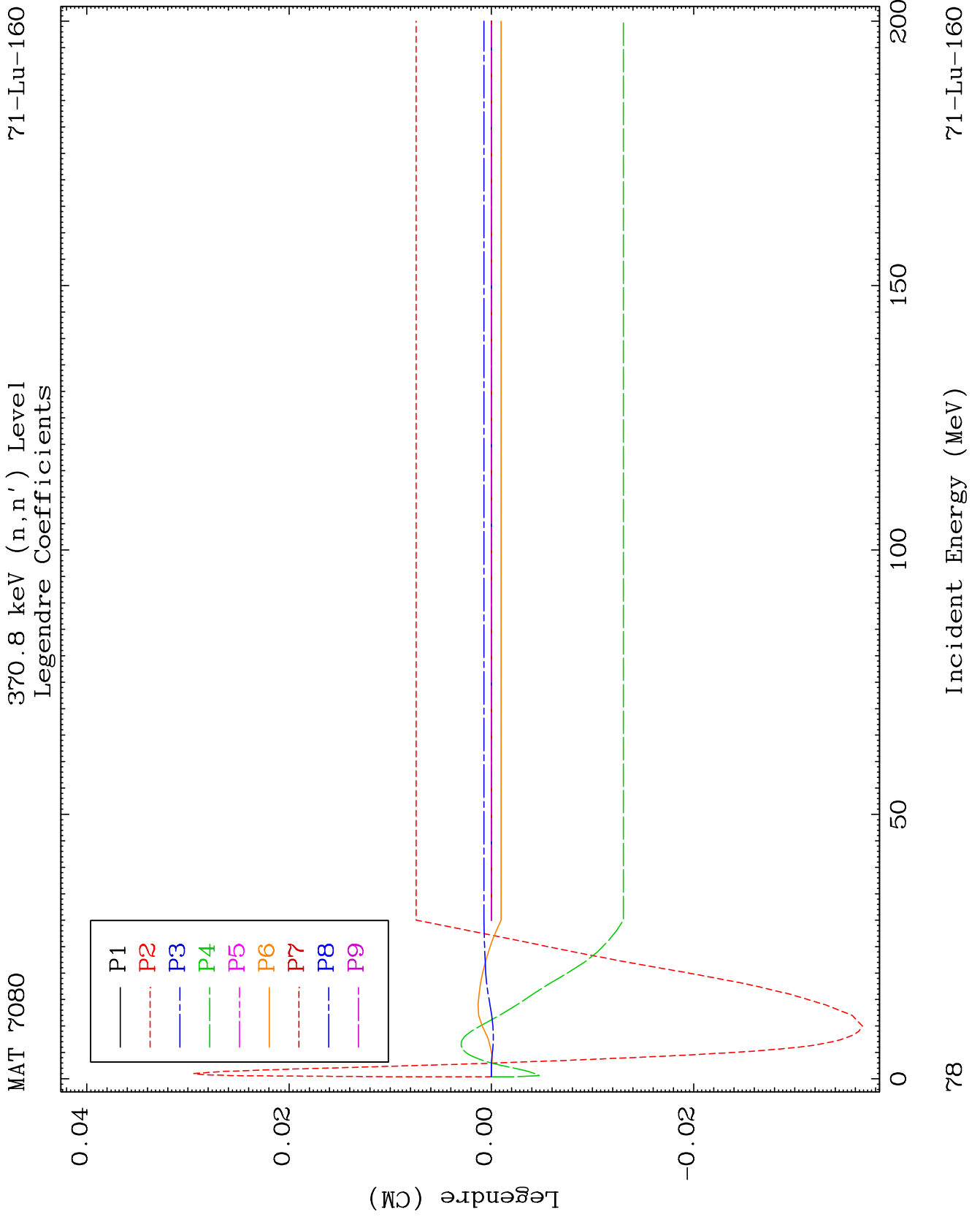
75

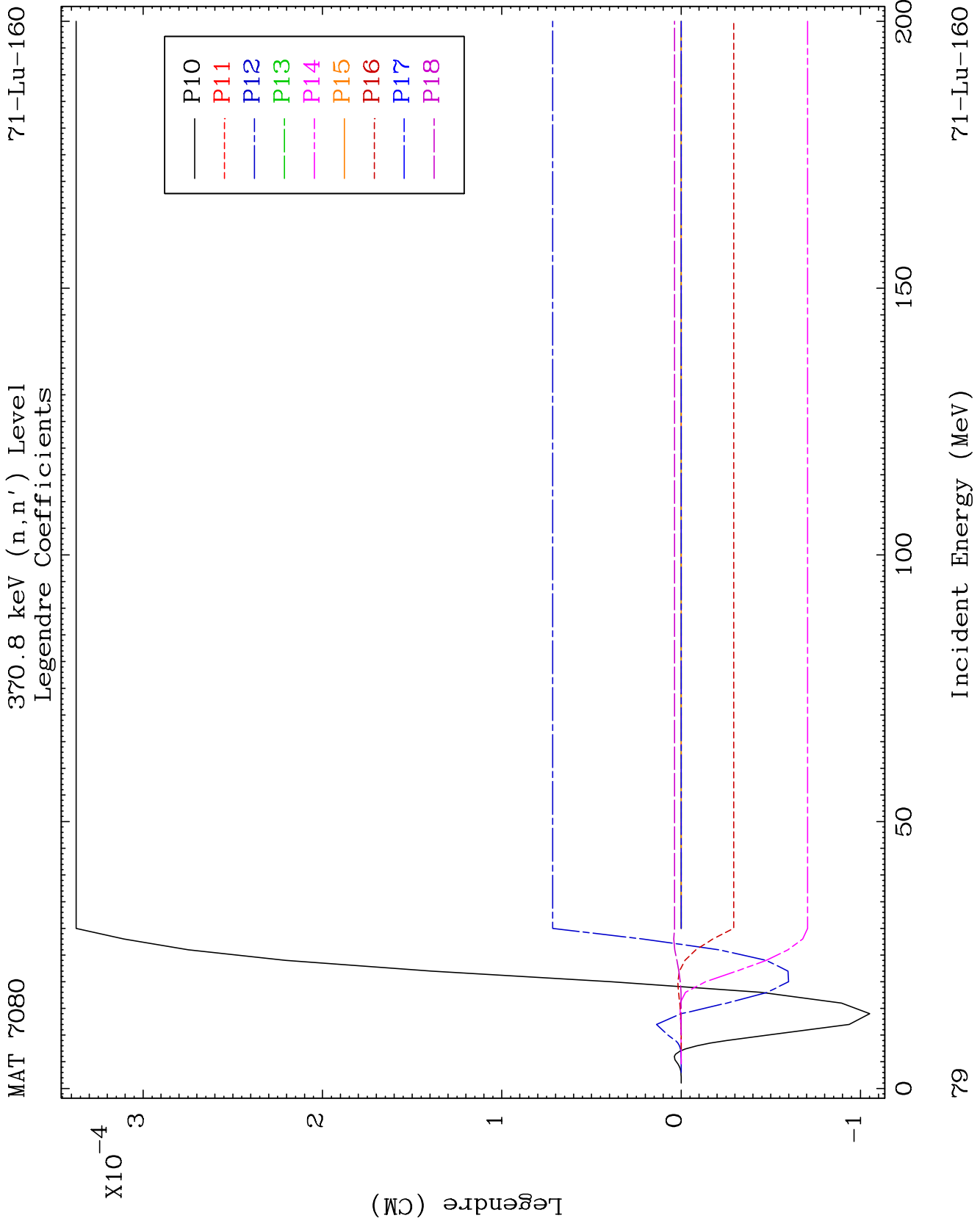
Incident Energy (MeV)

71-Lu-160

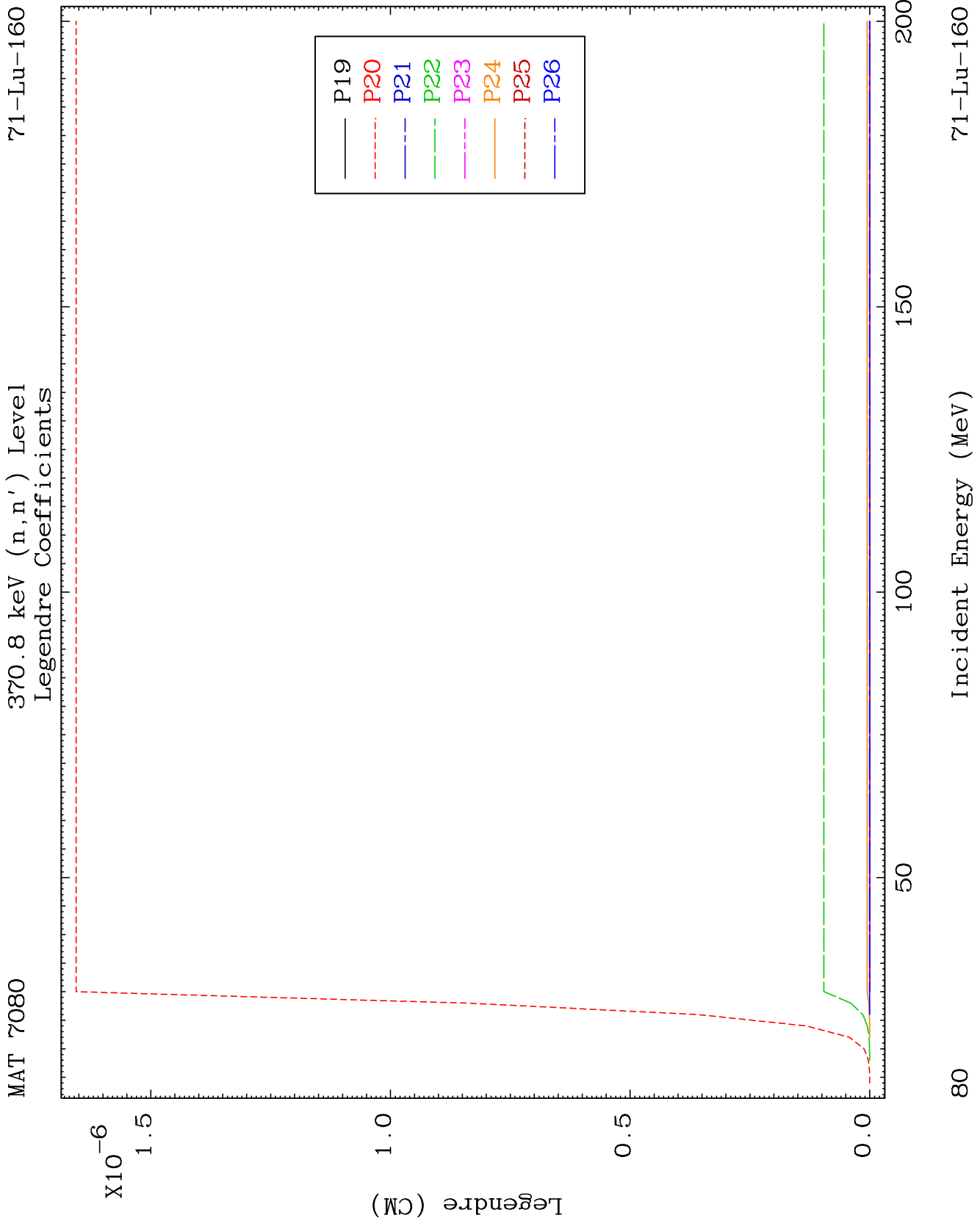


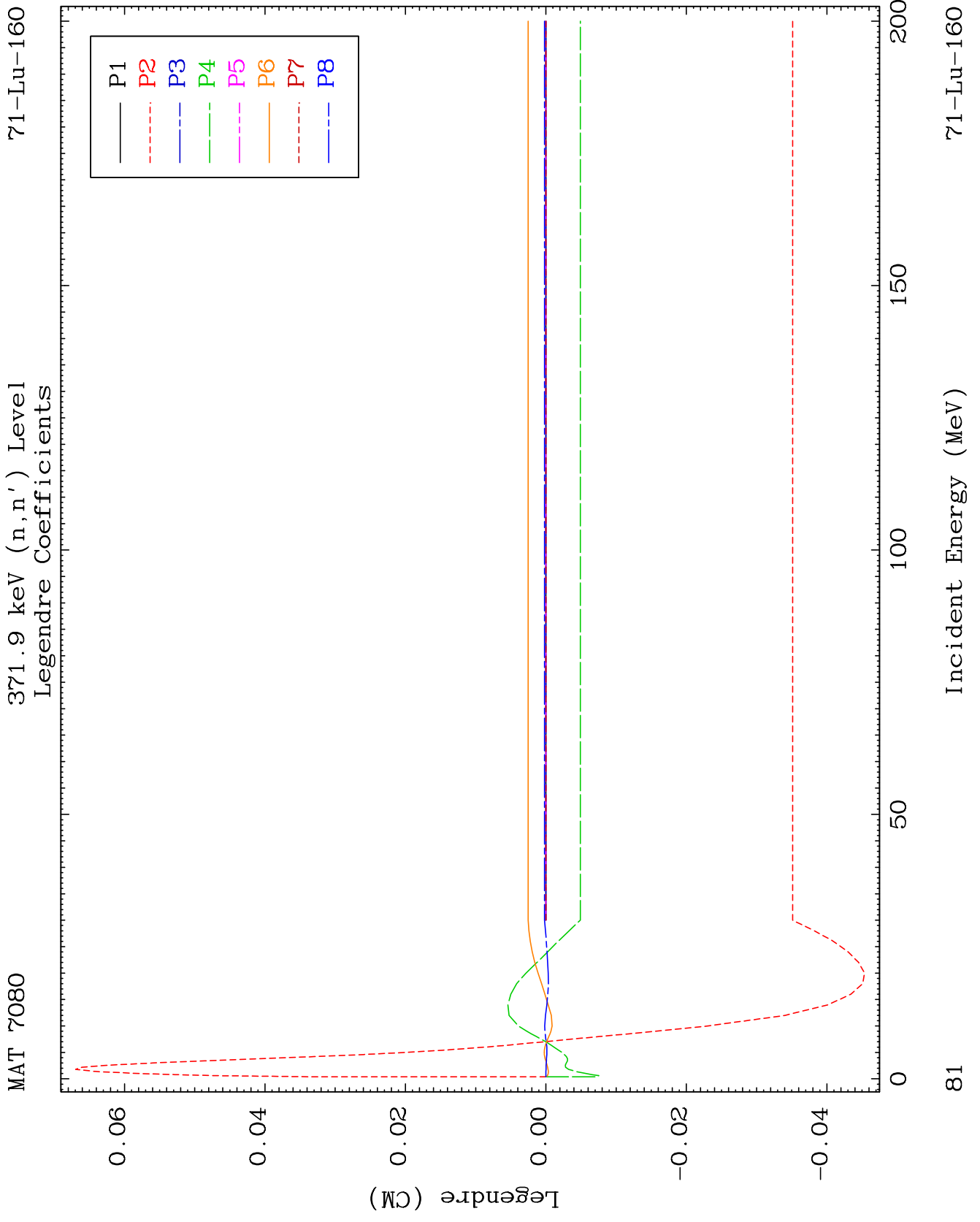


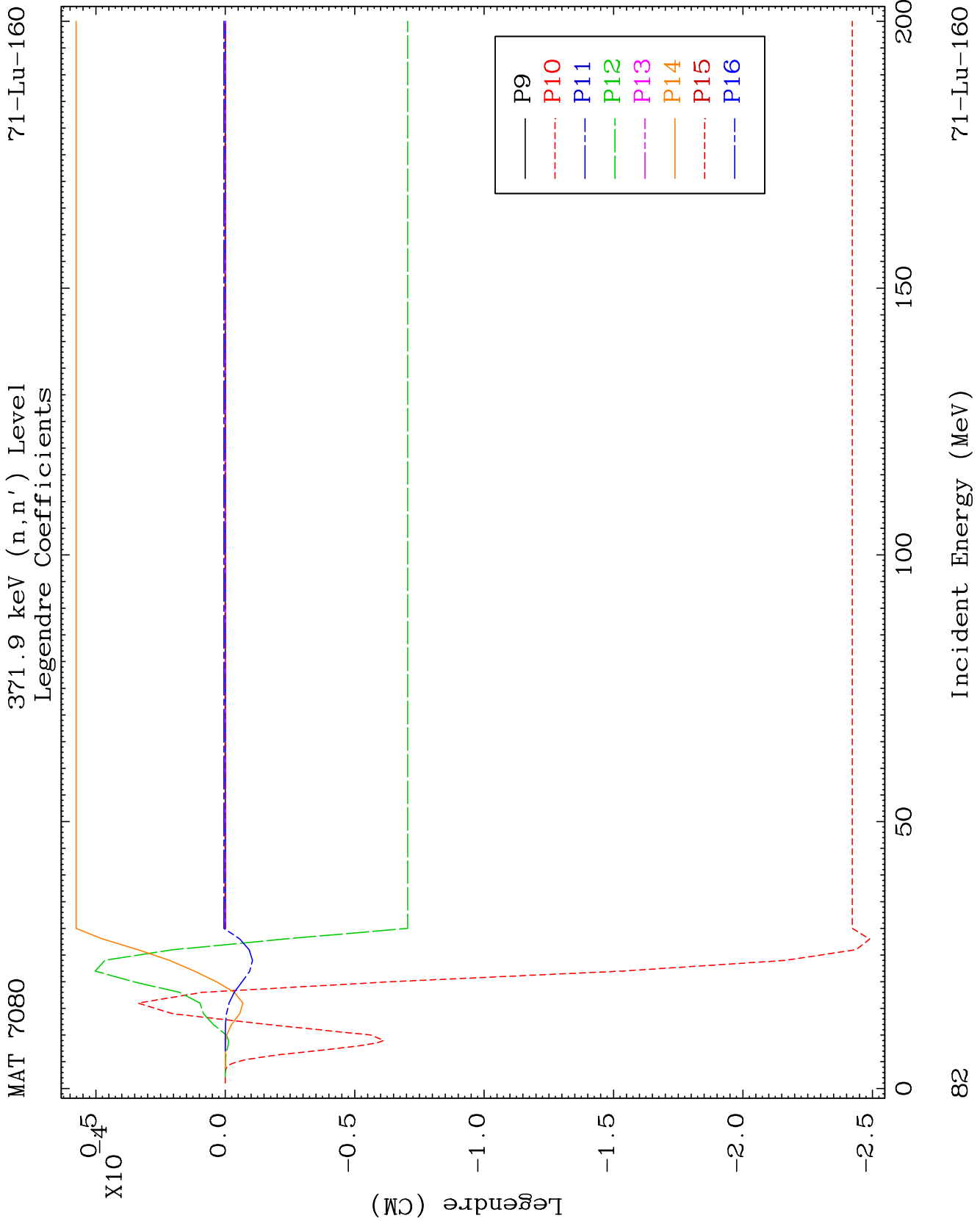


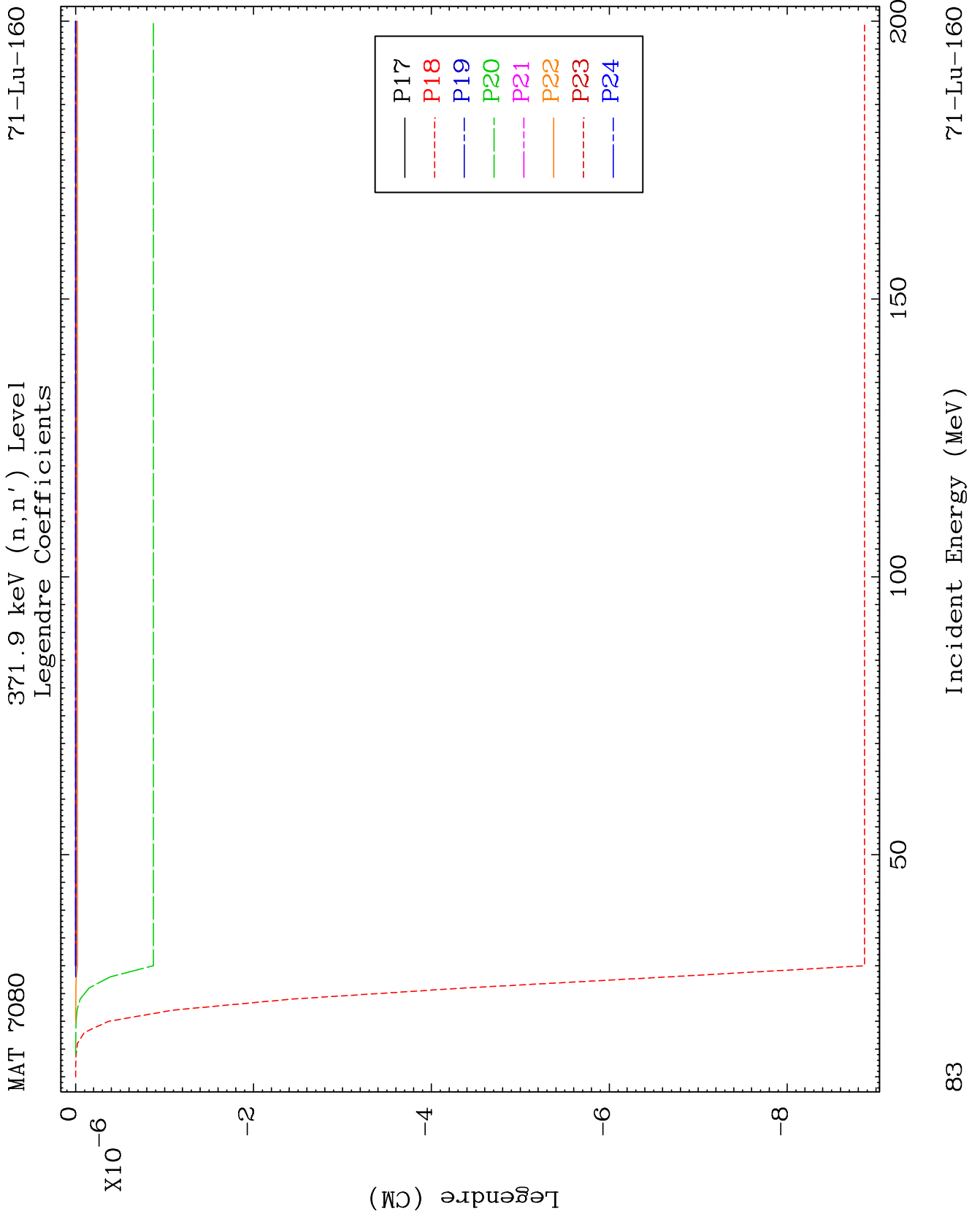


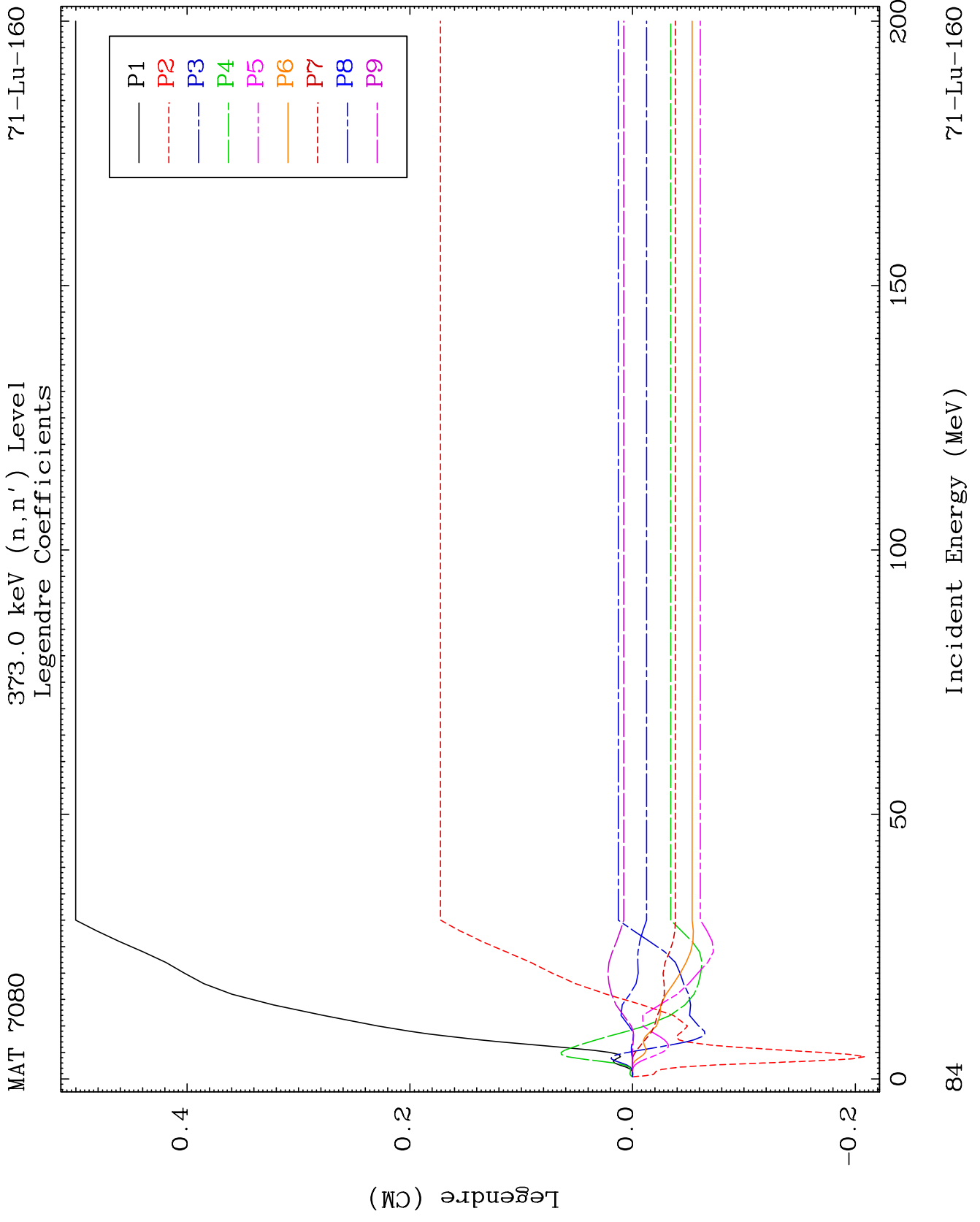


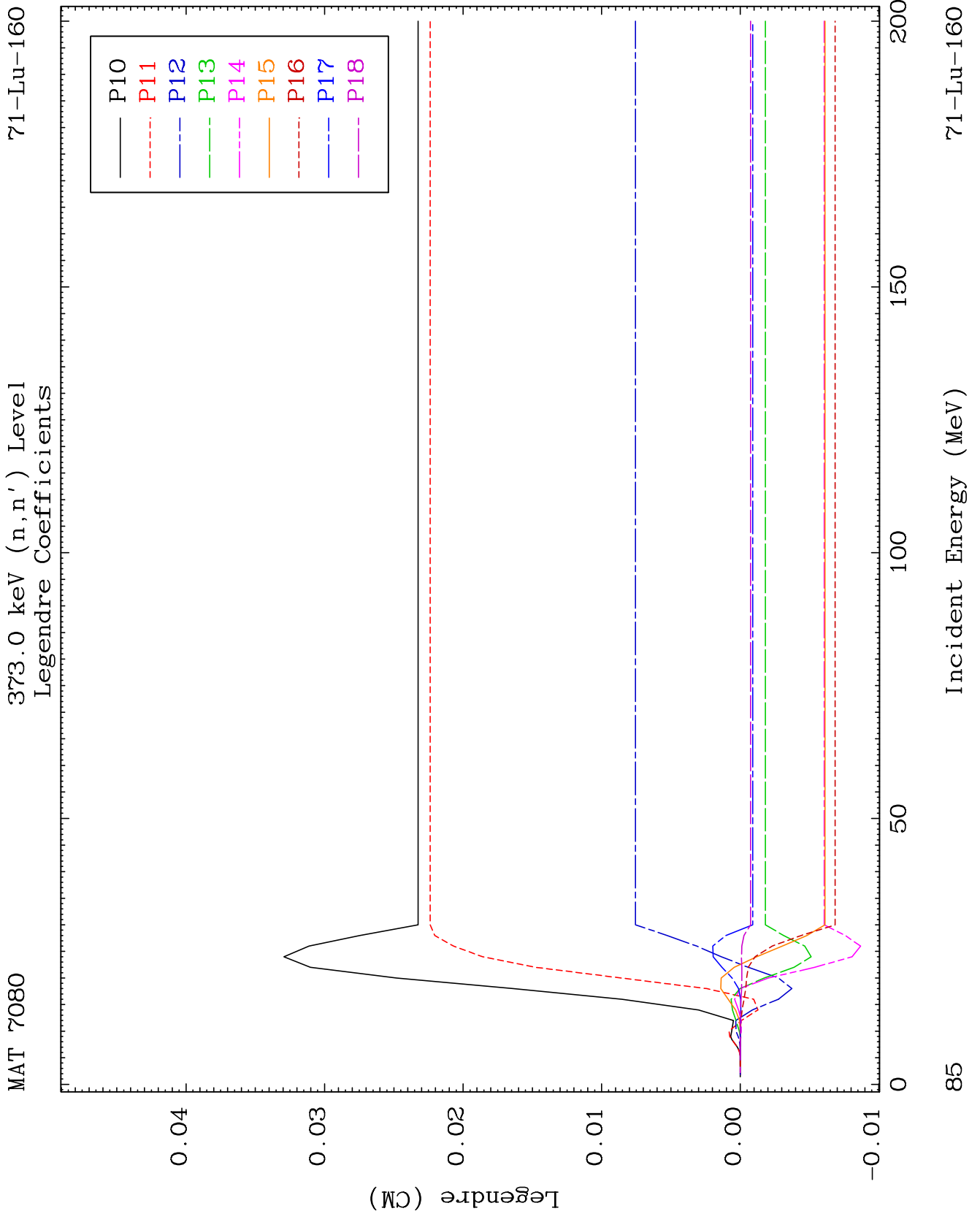


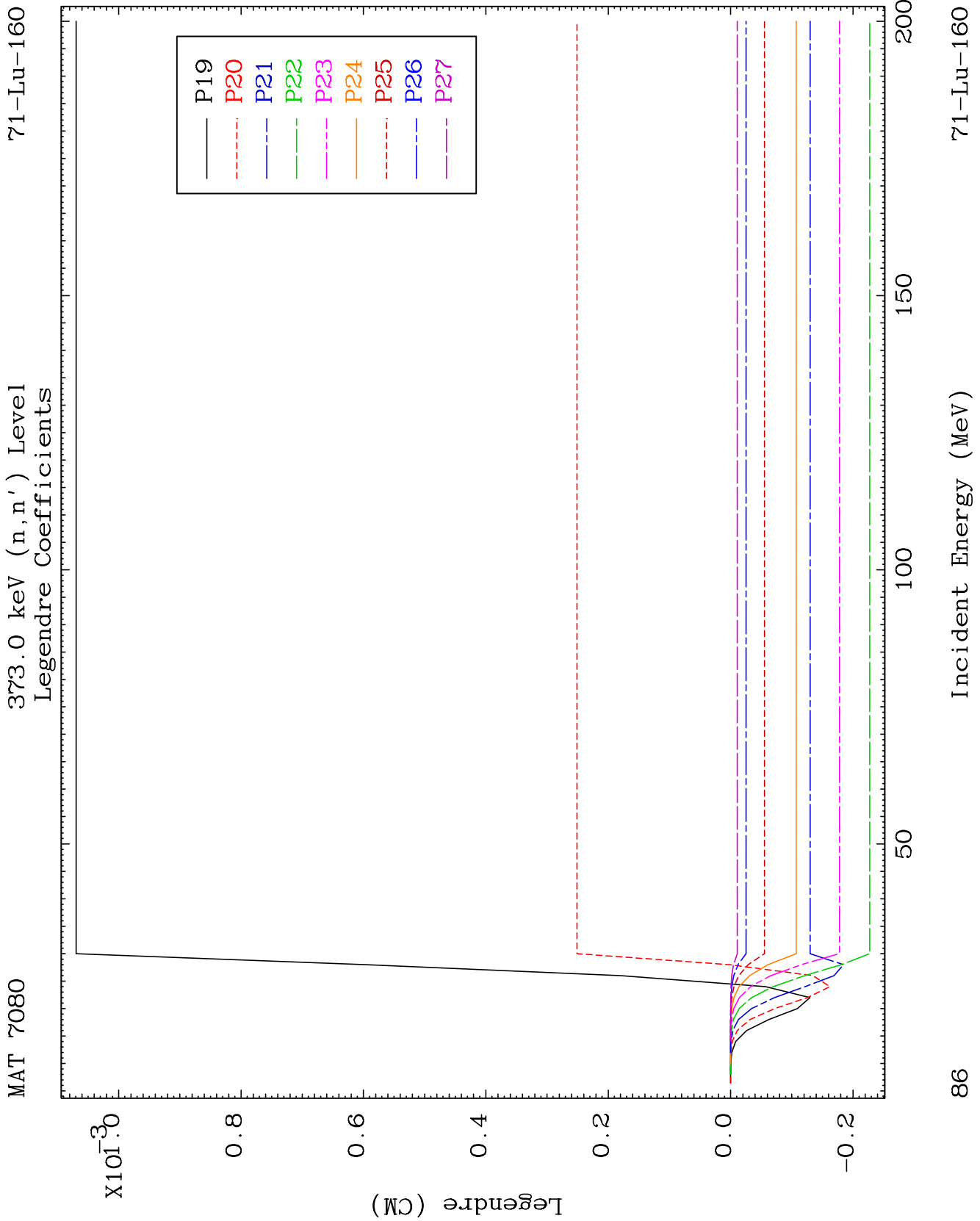


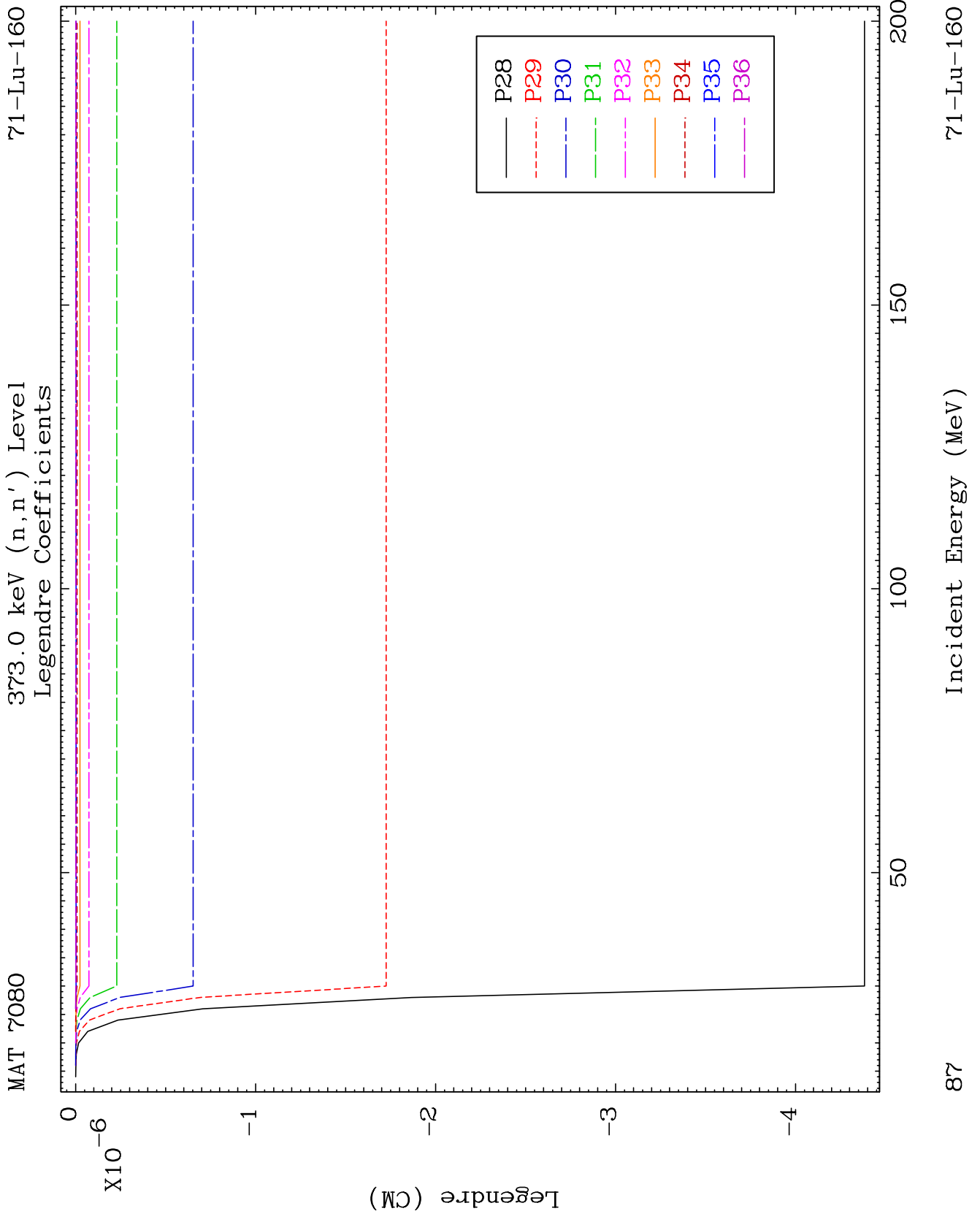




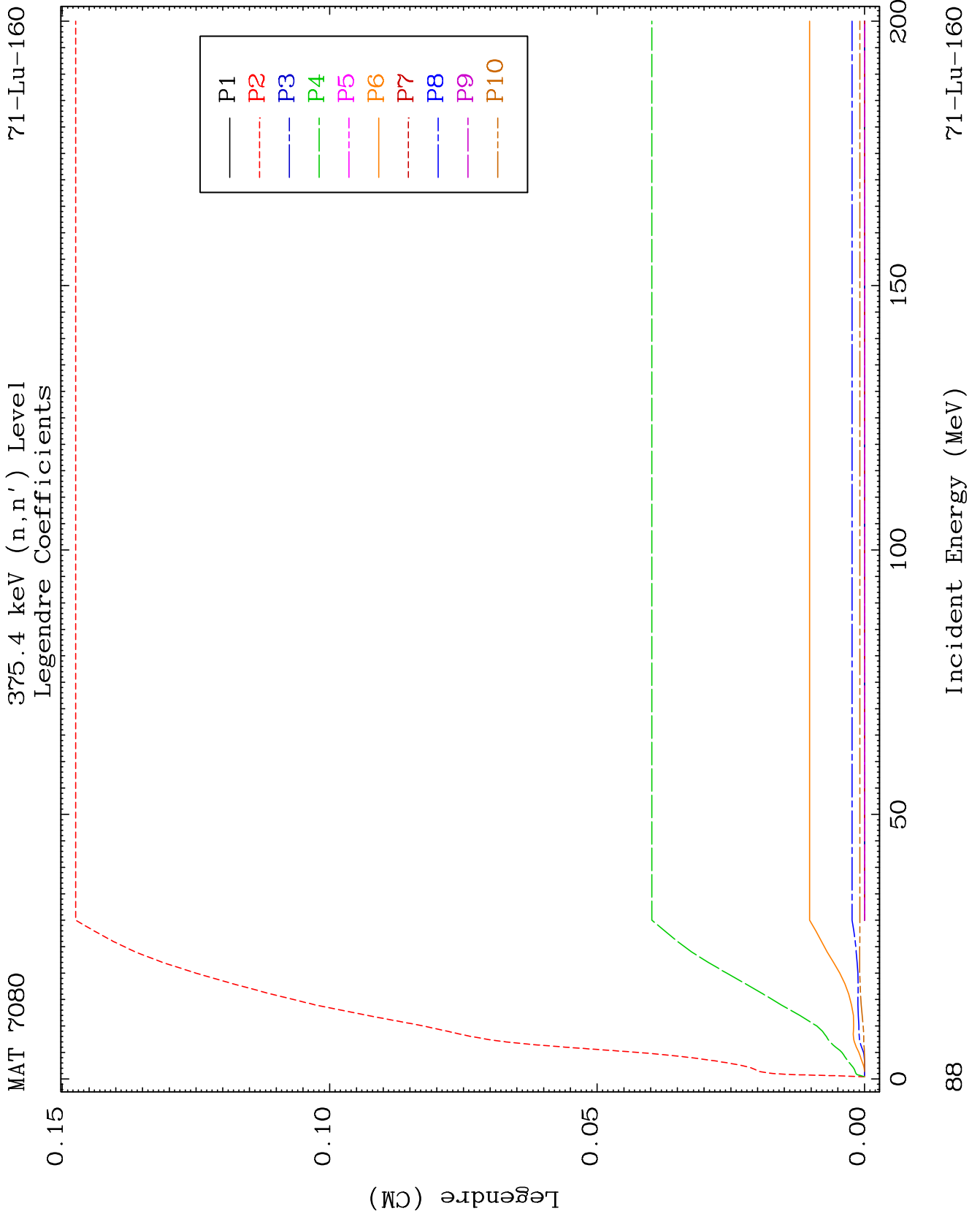








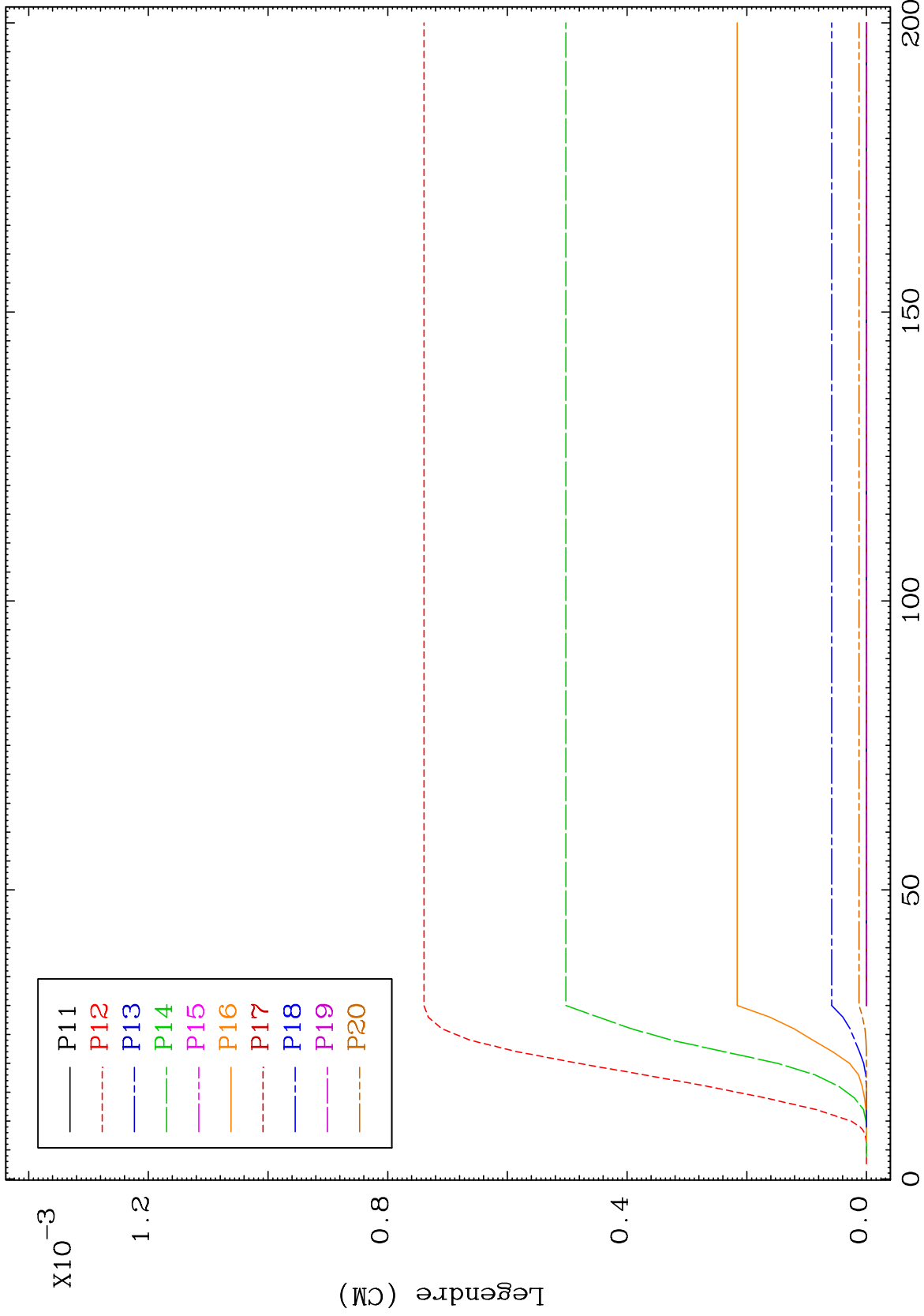


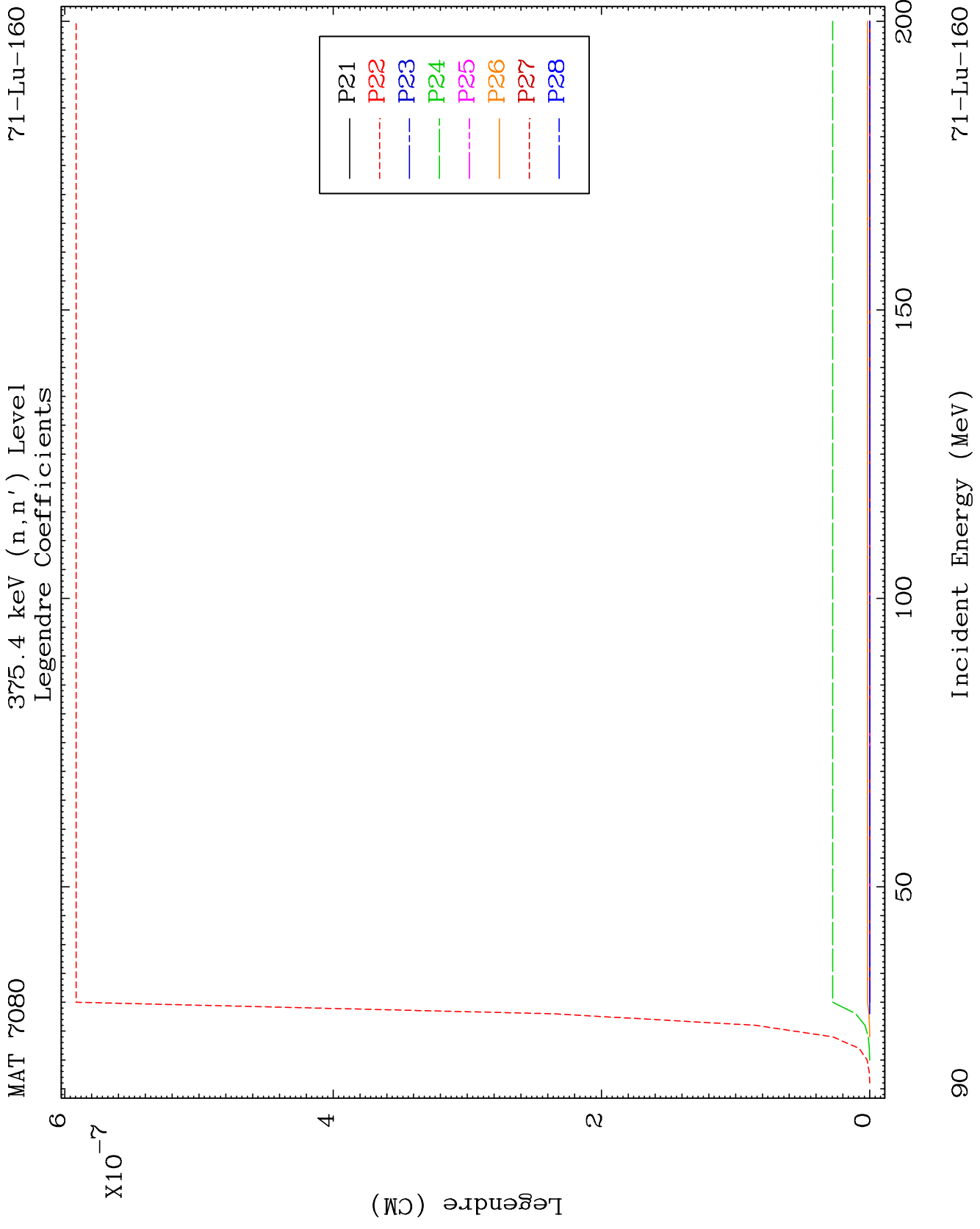


MAT 7080

375.4 keV (n, n') Level  
Legendre Coefficients

71-Lu-160



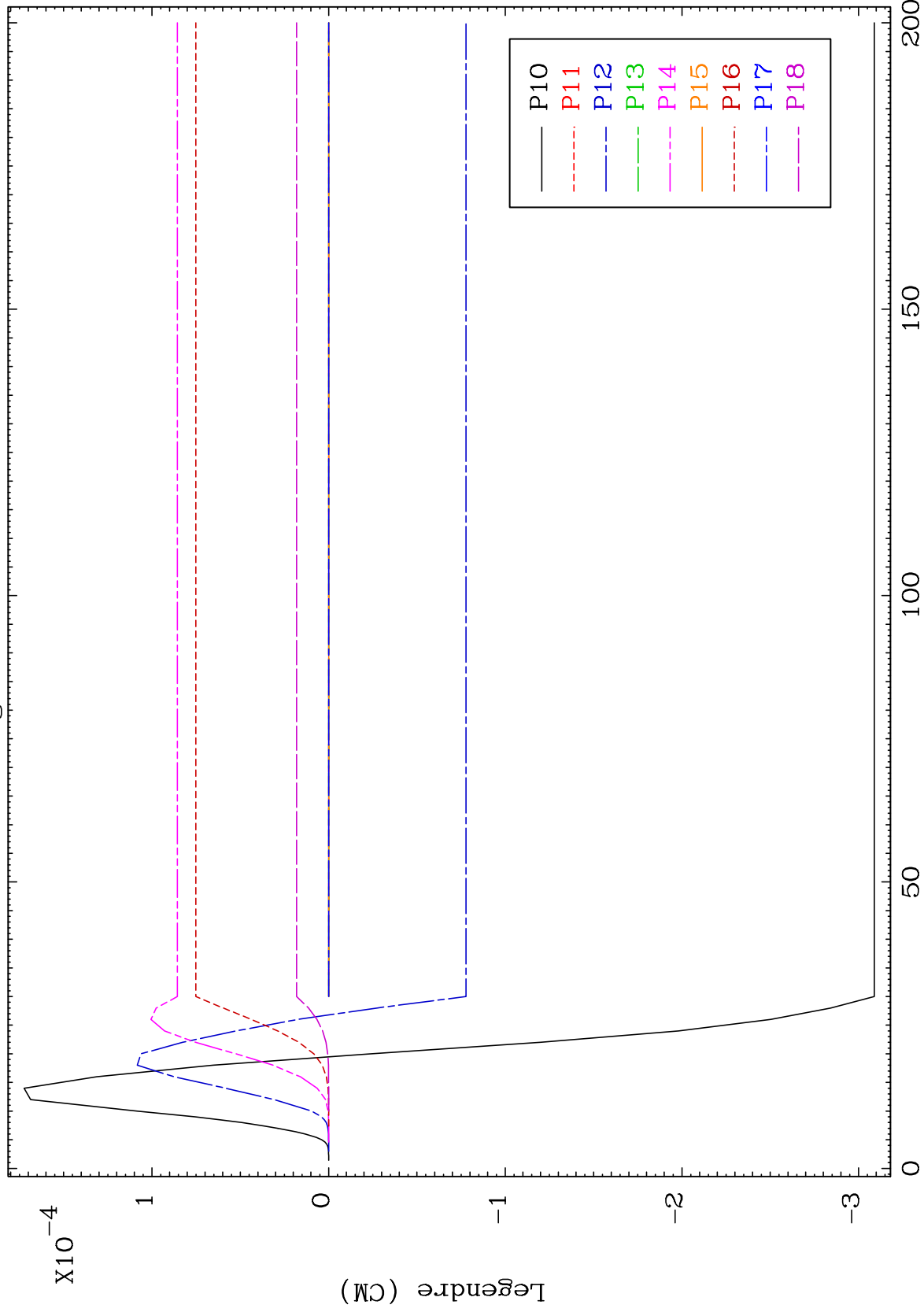




MAT 7080

403.9 keV (n,n') Level  
Legendre Coefficients

71-Lu-160

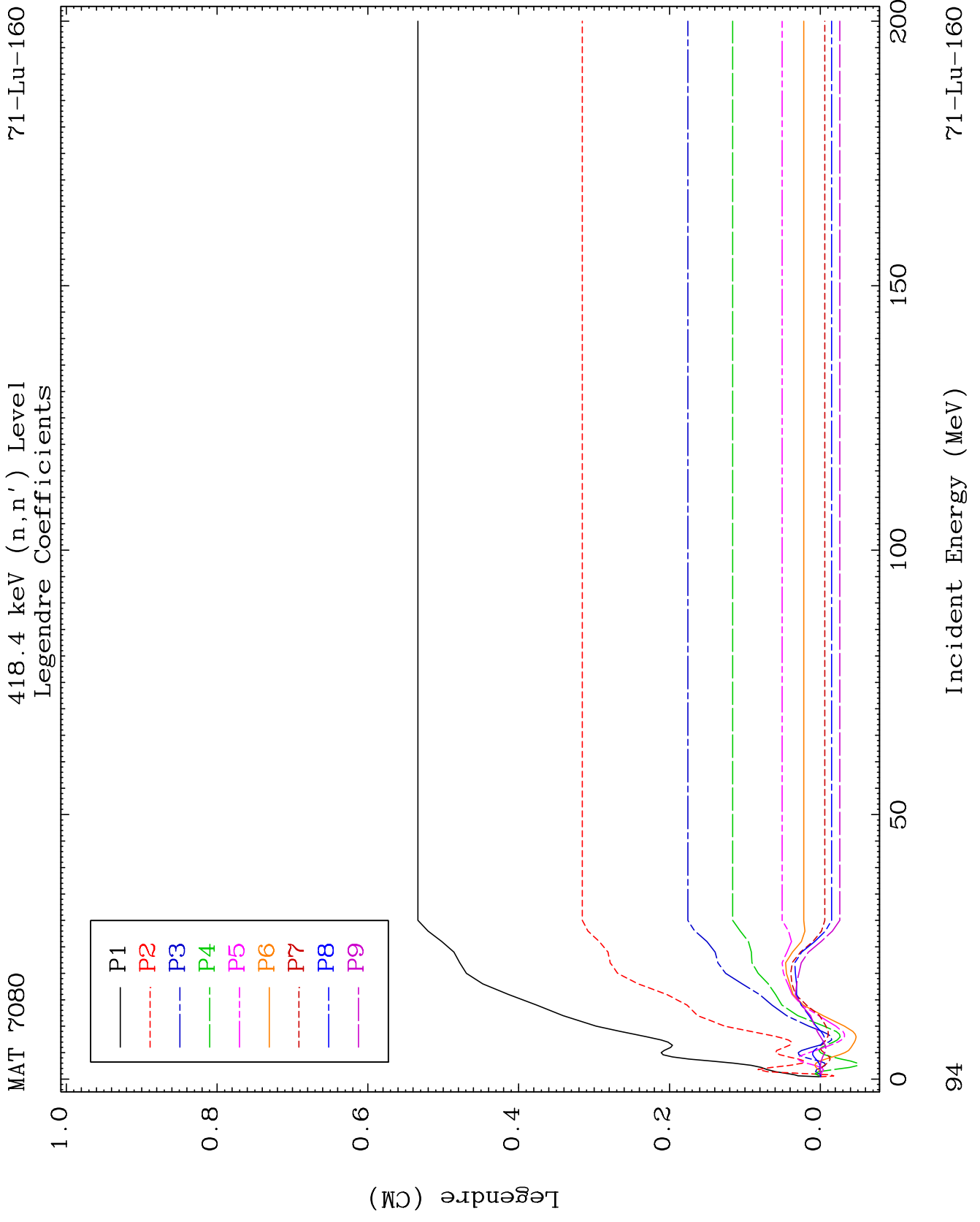


92

Incident Energy (MeV)

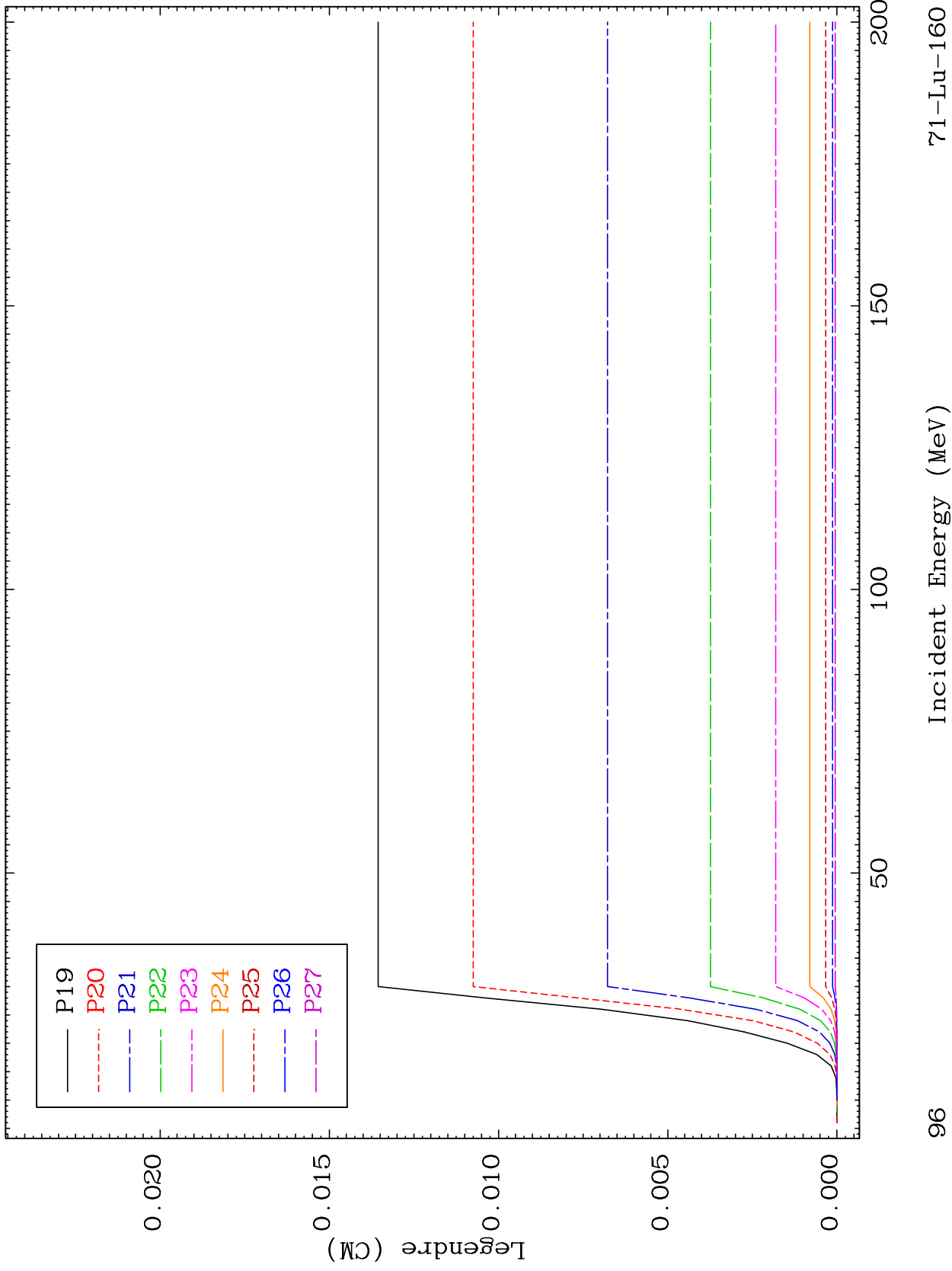
71-Lu-160

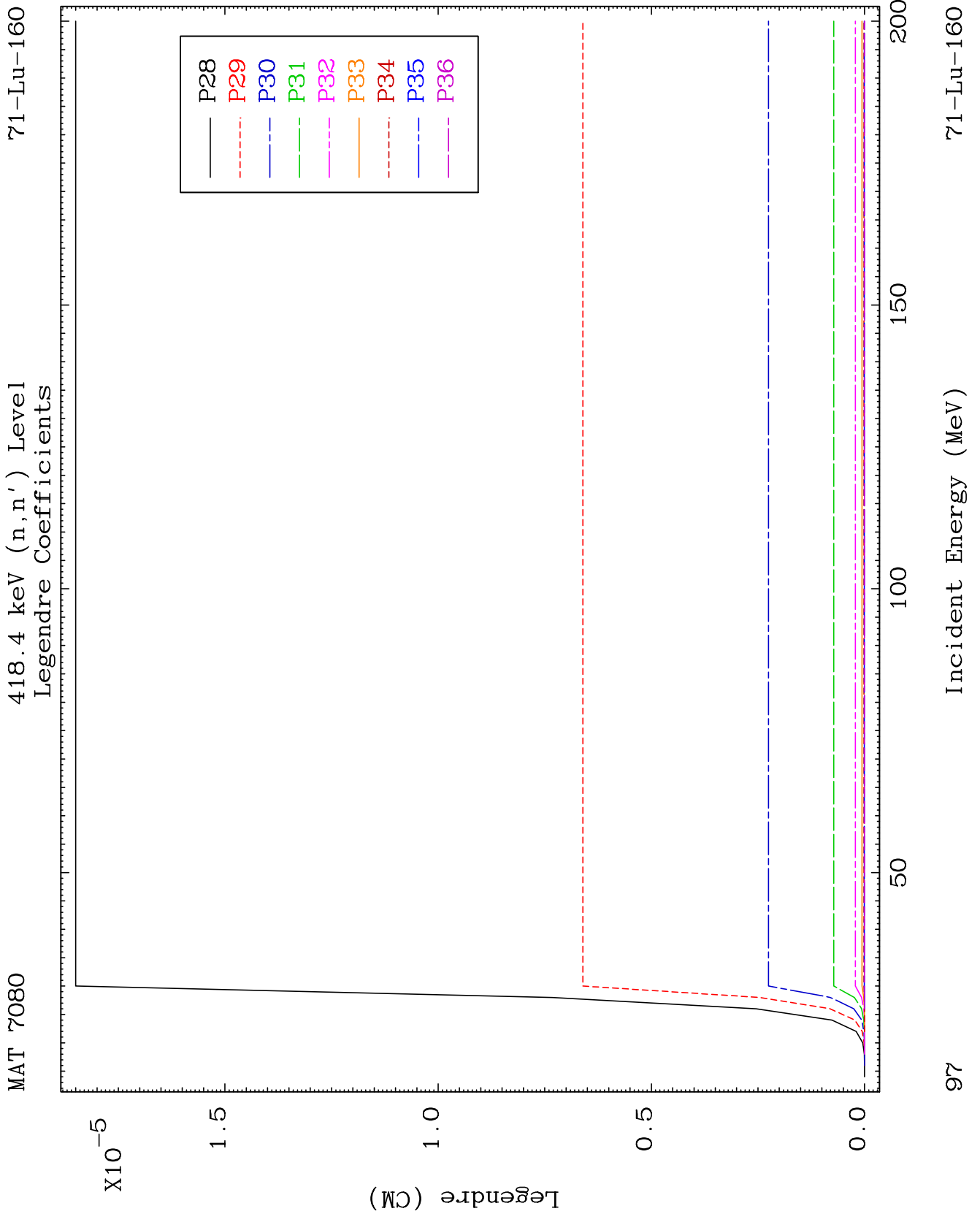








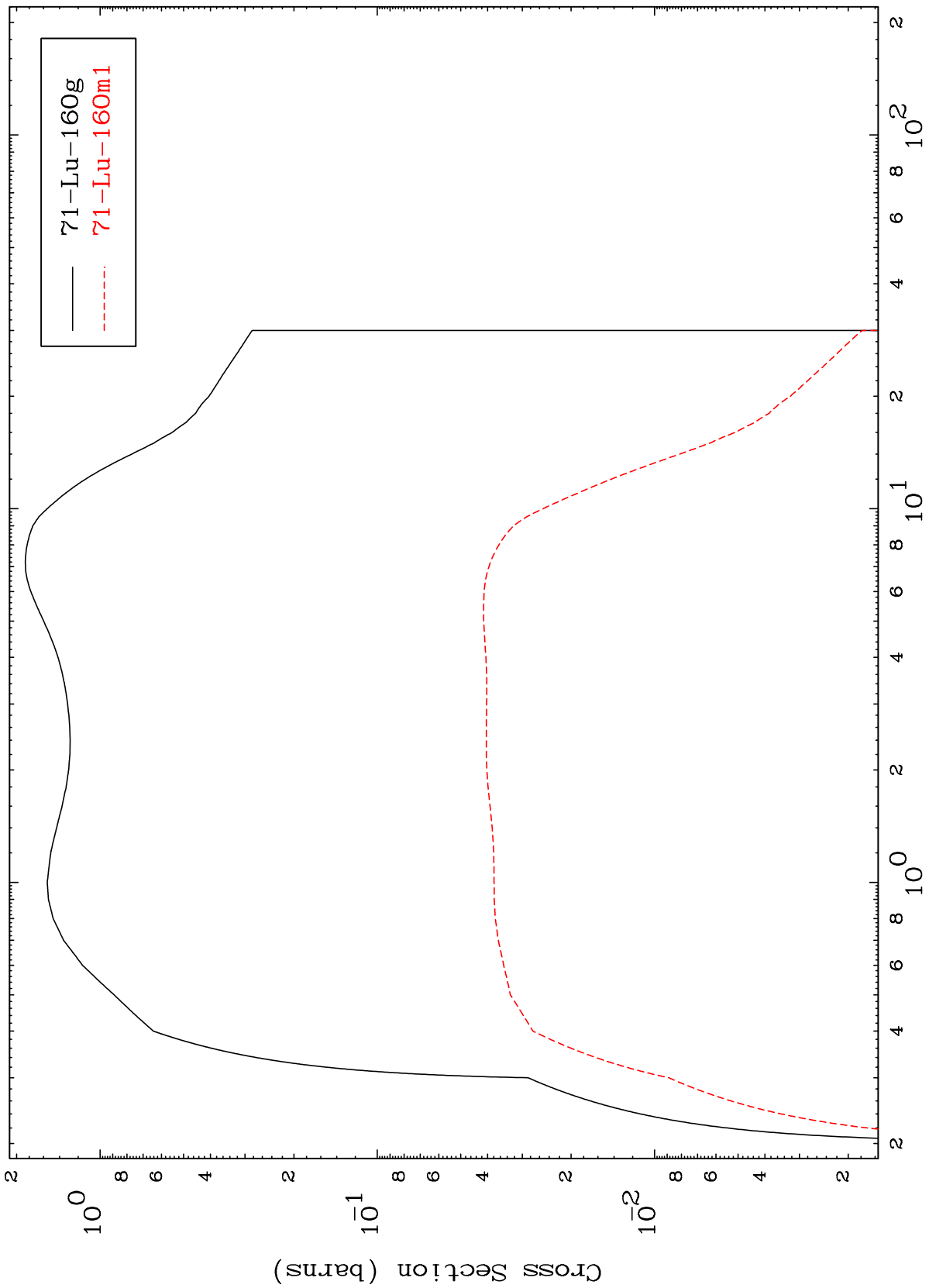




MAT 7080

71-Lu-160

Inelastic  
Radionuclide Production Cross Section



98

Incident Energy (MeV)

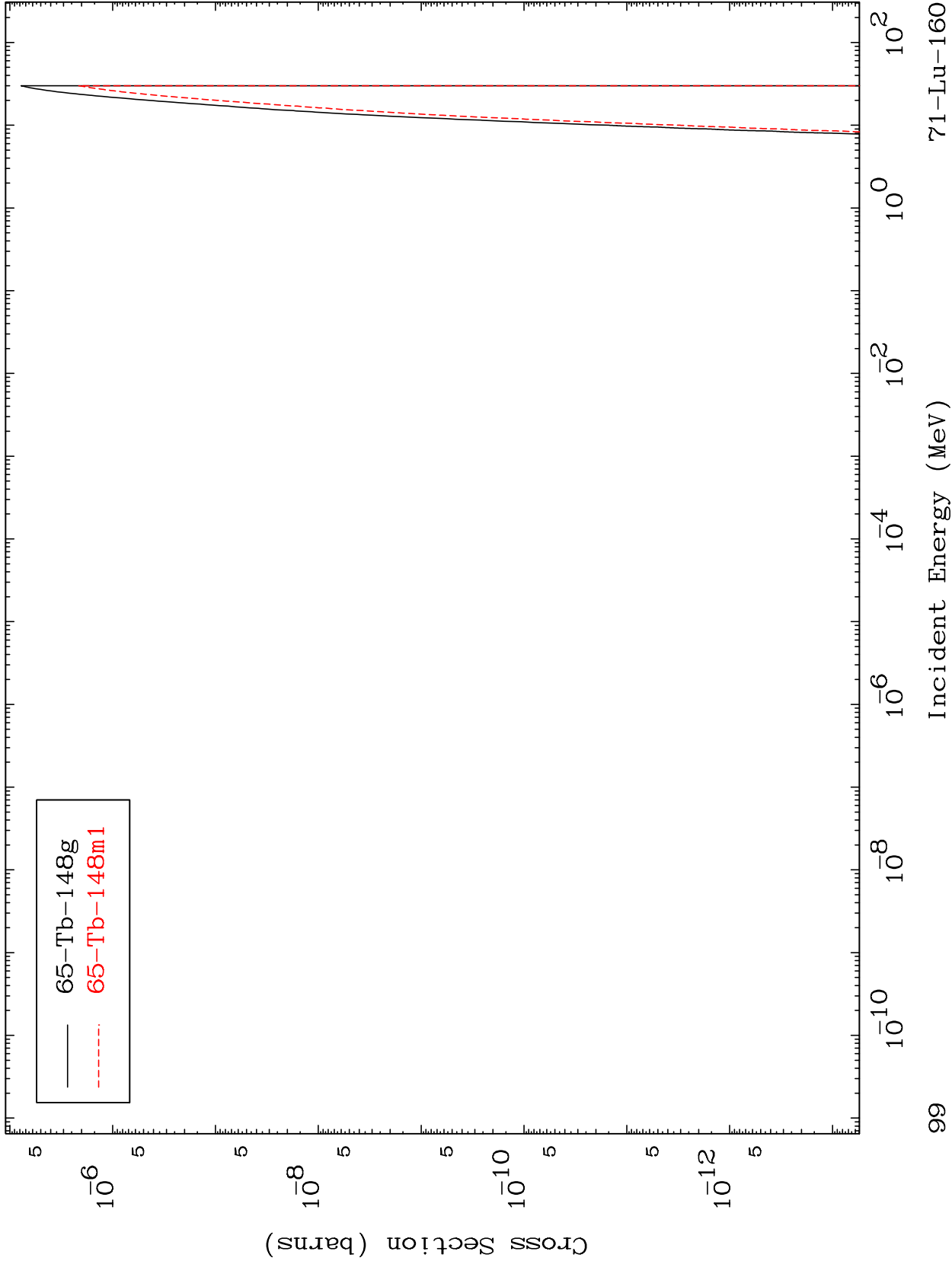
71-Lu-160

MAT 7080

(n,n') 3α

<sup>71</sup>Lu-160

Radionuclide Production Cross Section



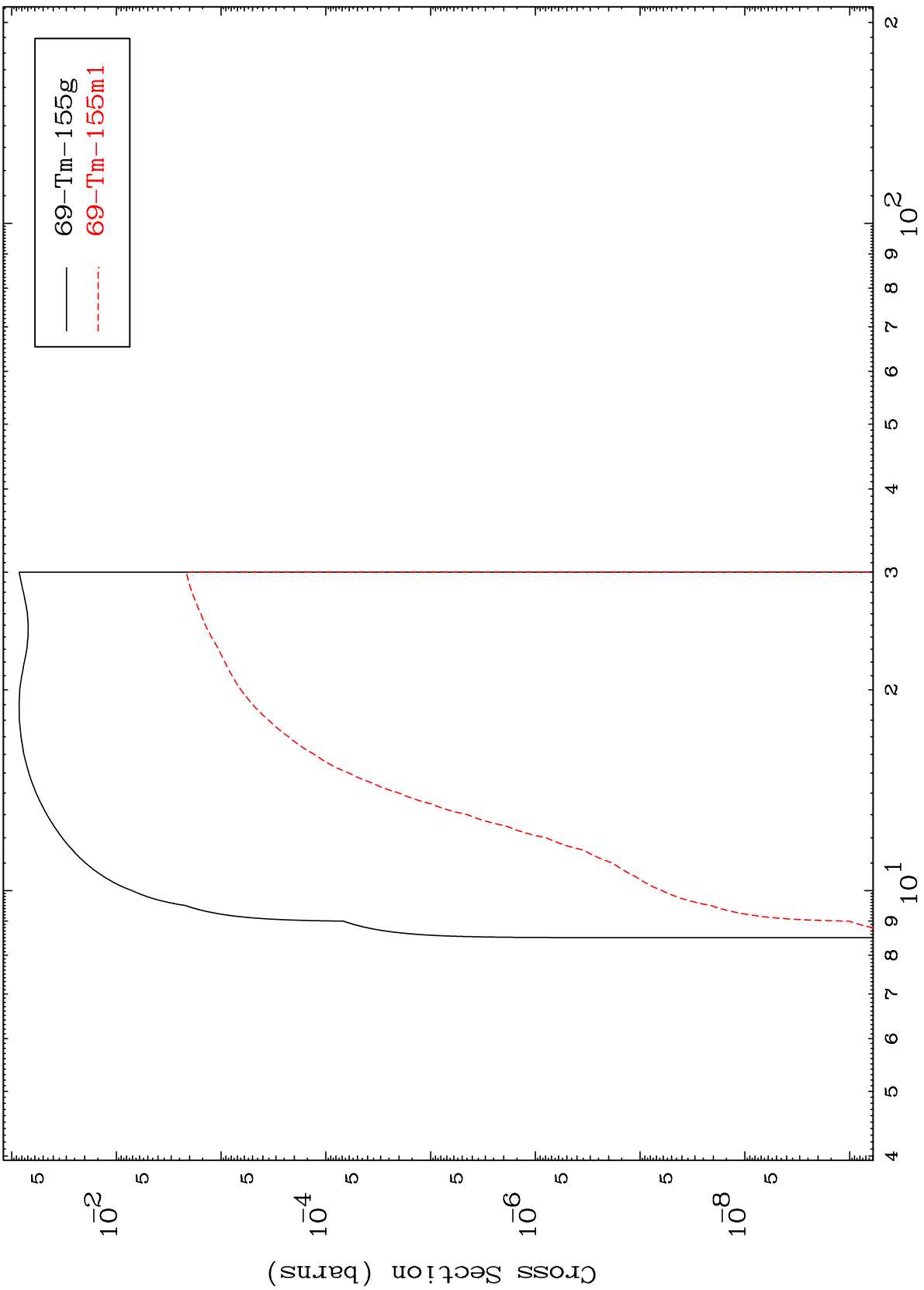
— 65-Tb-148g  
- - - 65-Tb-148m1

MAT 7080

$(n,2n) \alpha$

$^{71}\text{Lu-160}$

Radionuclide Production Cross Section

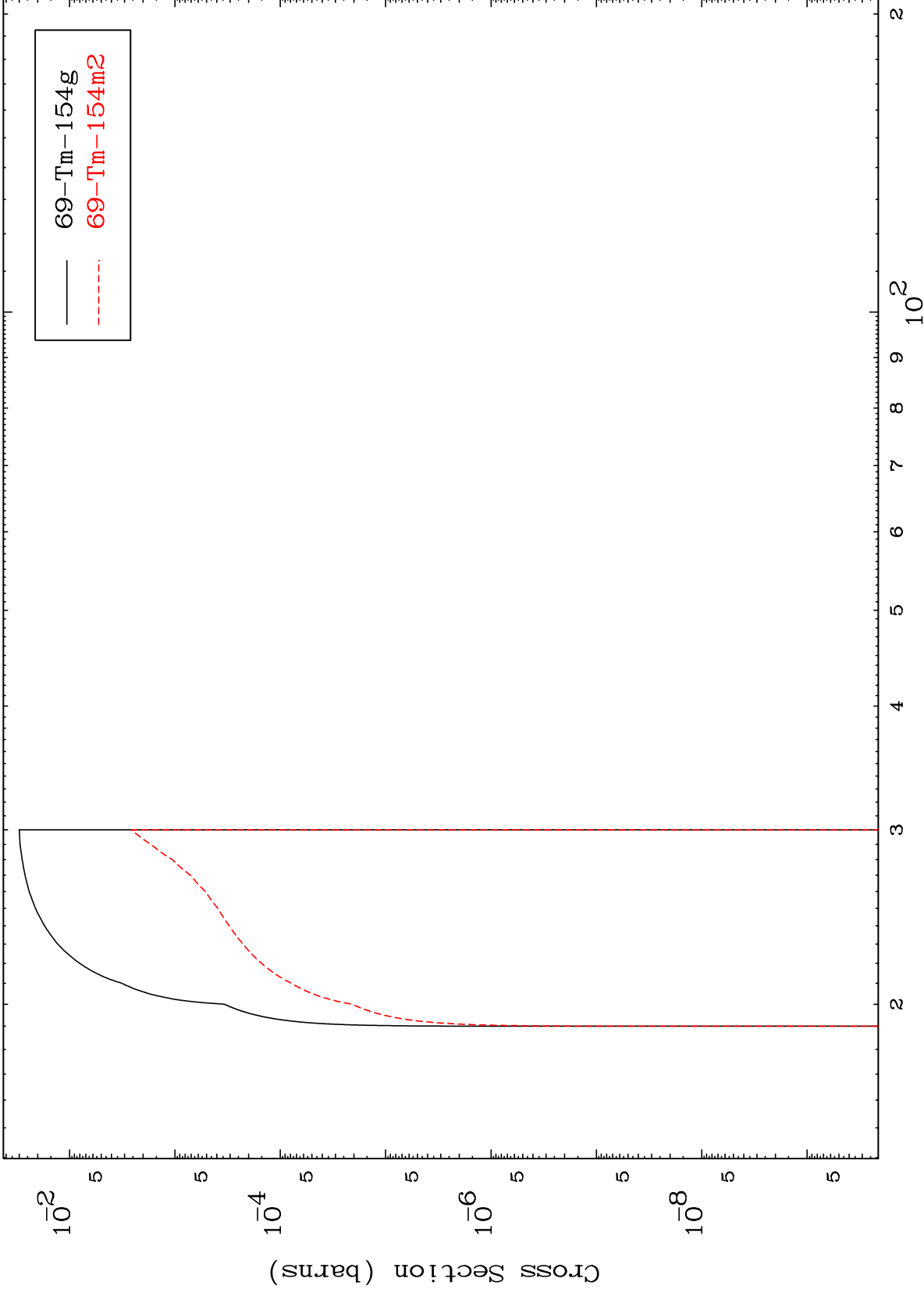


100

Incident Energy (MeV)

$^{71}\text{Lu-160}$

Radionuclide Production Cross Section

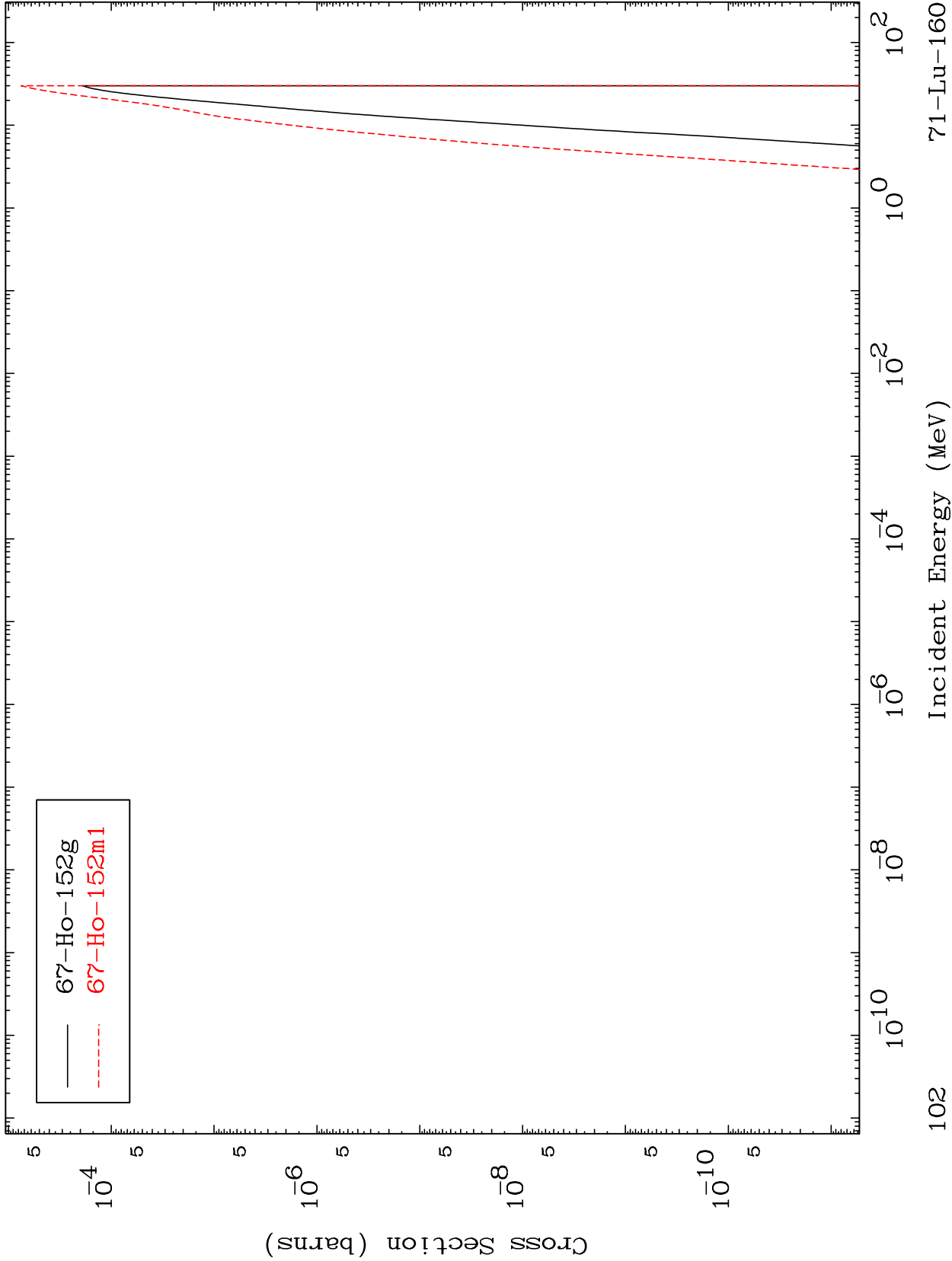


MAT 7080

$(n, n')$   $2\alpha$

$^{71}\text{Lu-160}$

Radionuclide Production Cross Section

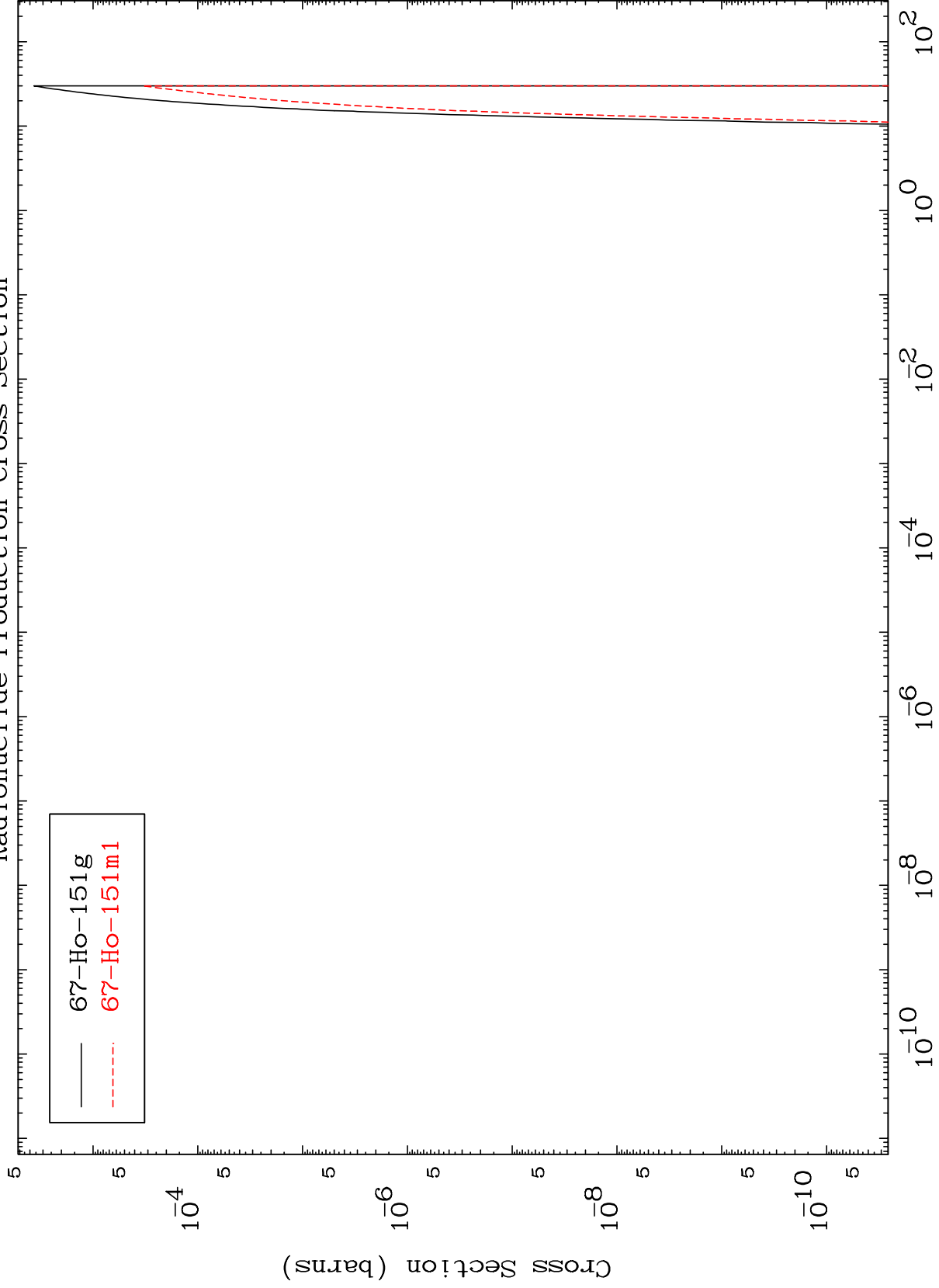


MAT 7080

(n,2n) 2 $\alpha$

<sup>71</sup>Lu-160

Radionuclide Production Cross Section



— 67-Ho-151g  
- - - 67-Ho-151m1

103

Incident Energy (MeV)

<sup>71</sup>Lu-160

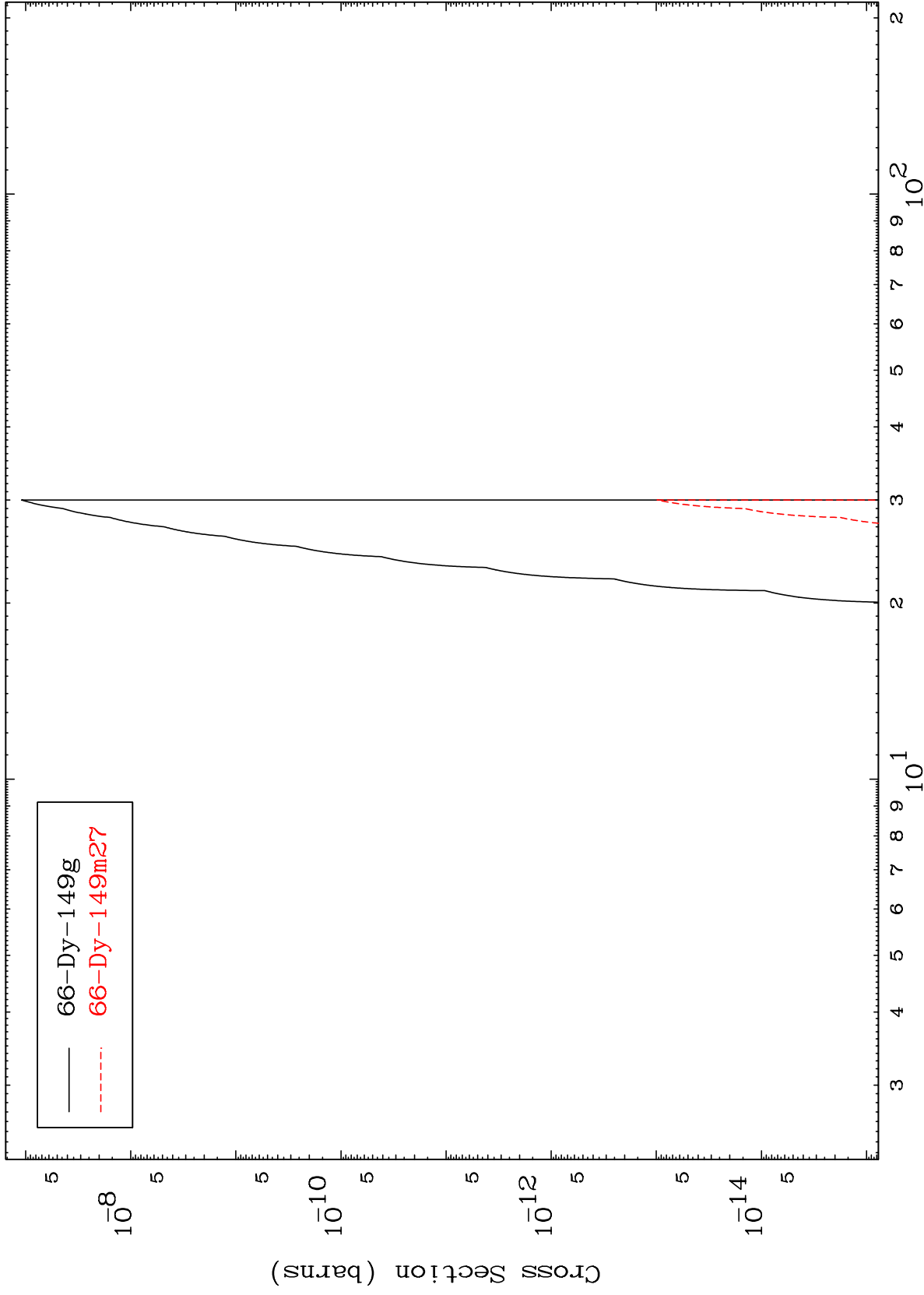


MAT 7080

(n,n') t,2 $\alpha$

71-Lu-160

Radionuclide Production Cross Section



104

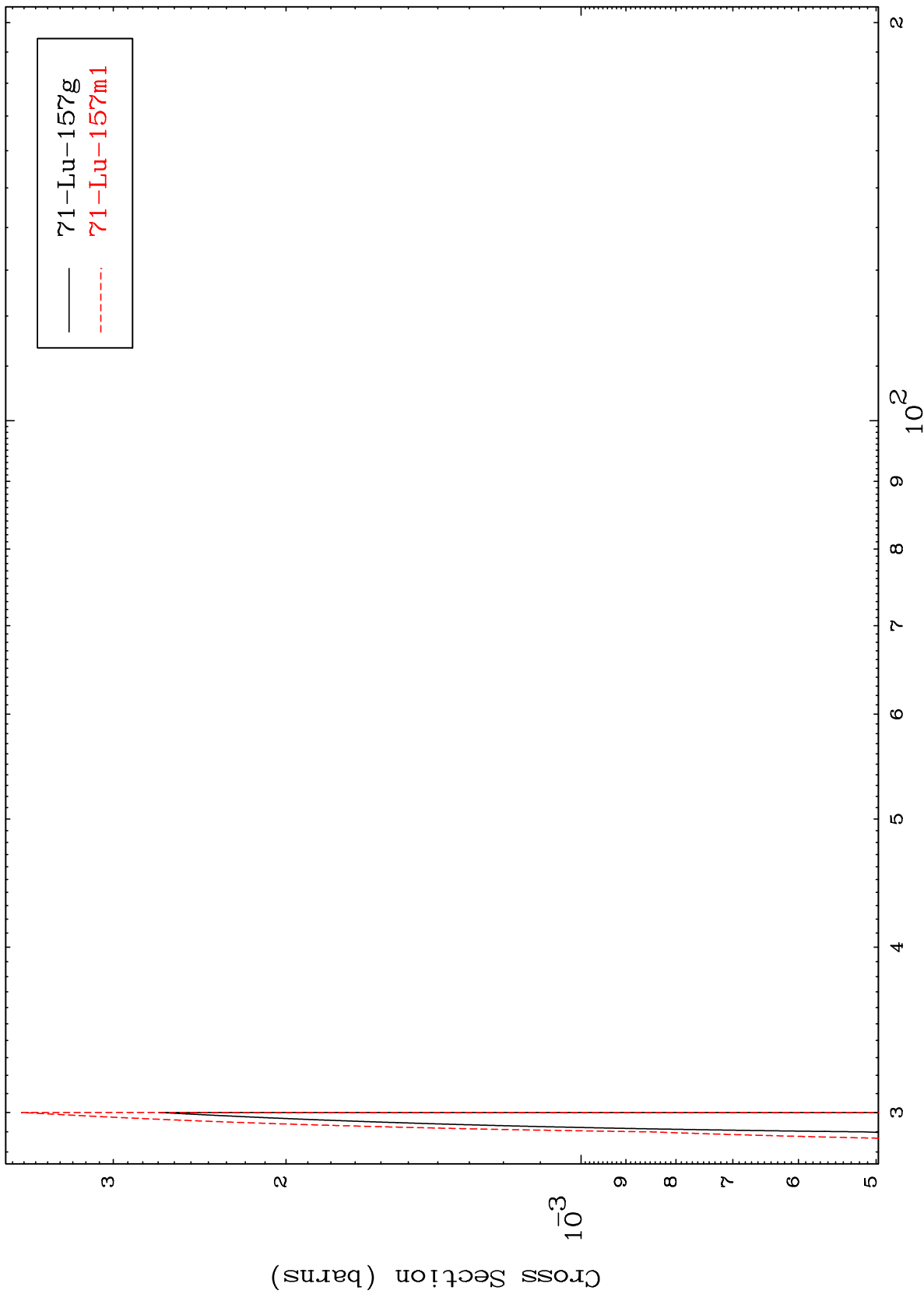
Incident Energy (MeV)

71-Lu-160

MAT 7080

71-Lu-160

(n,4n)  
Radionuclide Production Cross Section



71-Lu-160

Incident Energy (MeV)

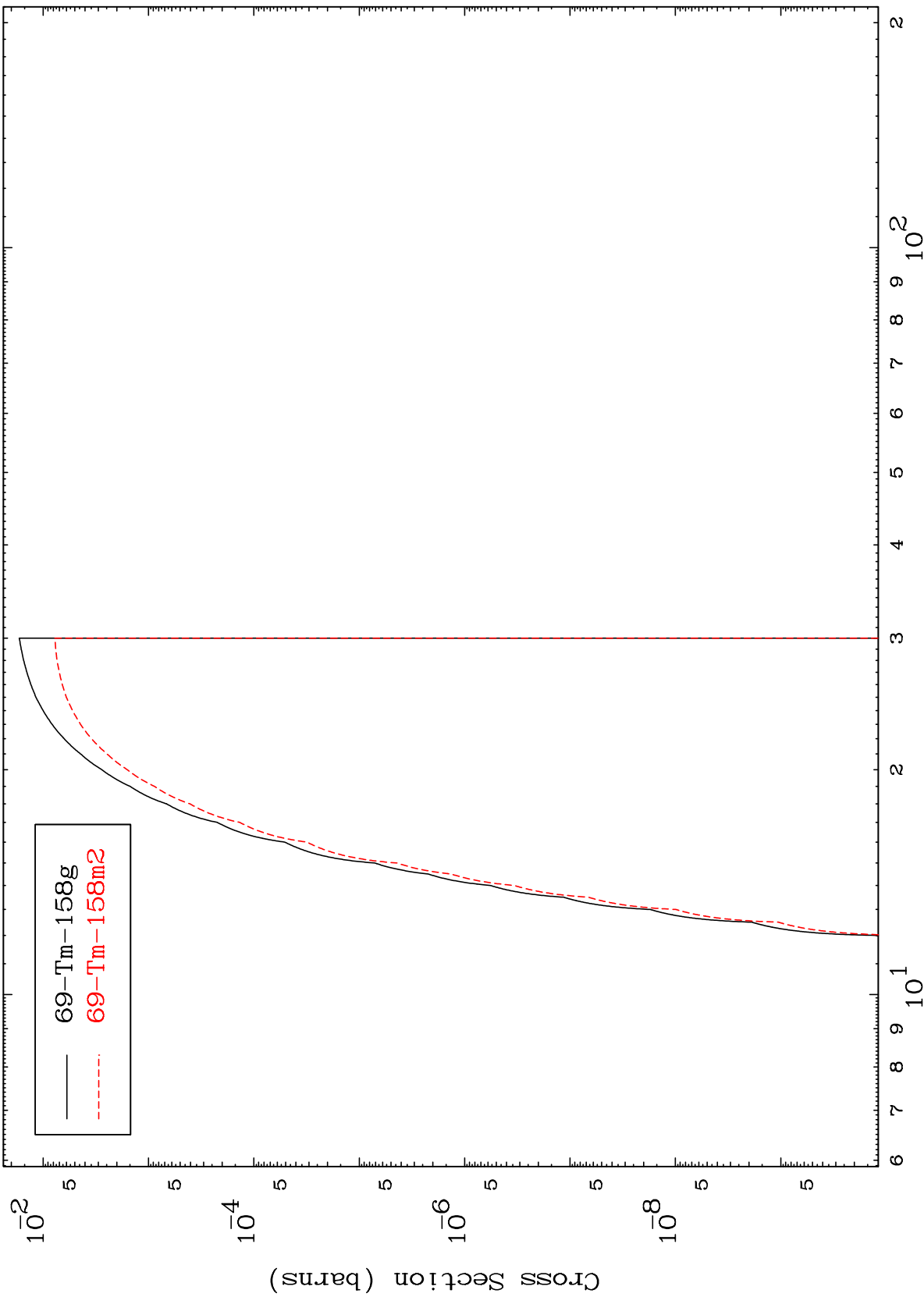
105

MAT 7080

(n,2n) p

<sup>71</sup>Lu-160

Radionuclide Production Cross Section



106

Incident Energy (MeV)

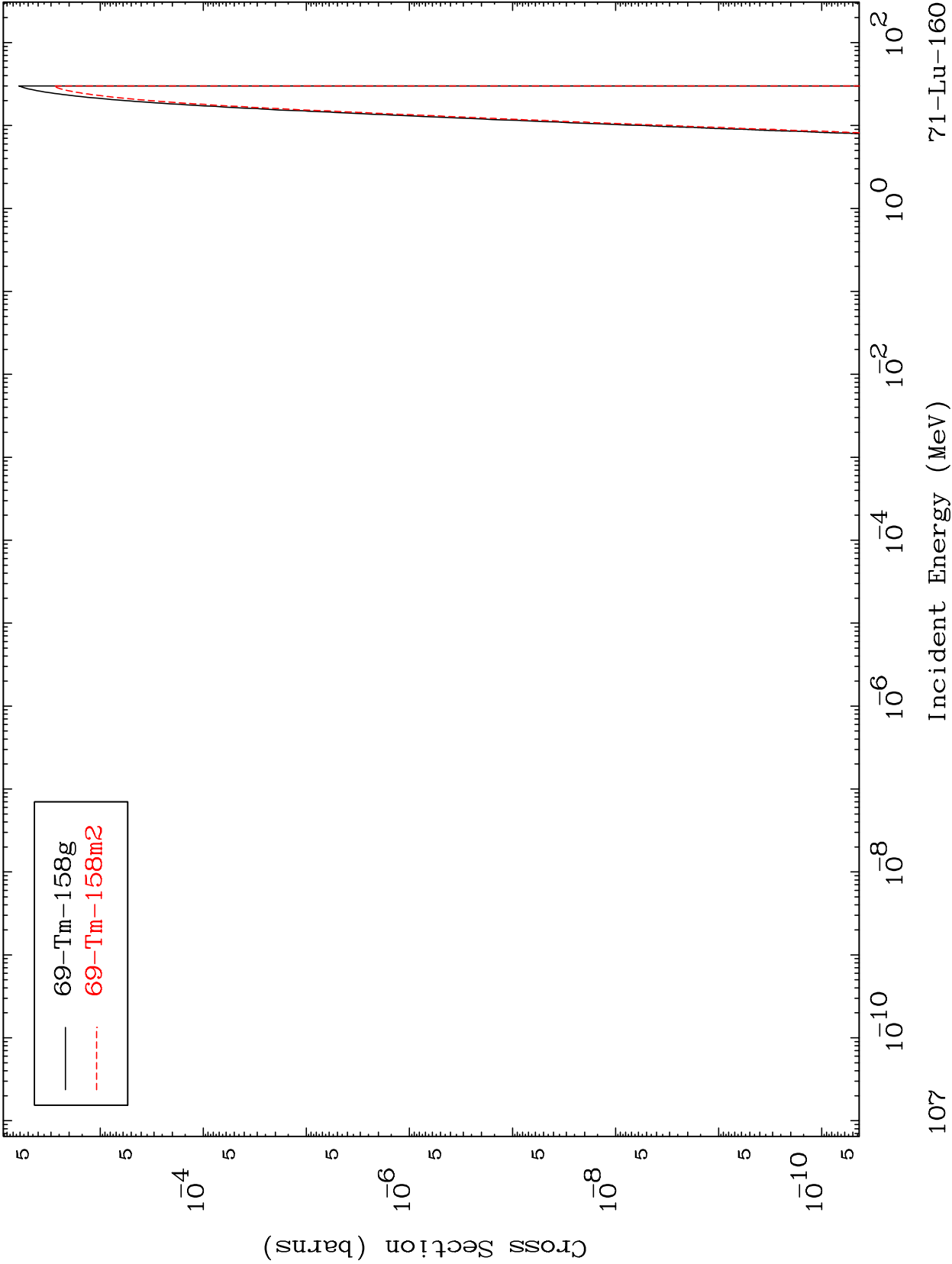
<sup>71</sup>Lu-160

MAT 7080

(n,He-3)

71-Lu-160

Radionuclide Production Cross Section



69-Tm-158g  
69-Tm-158m2

107

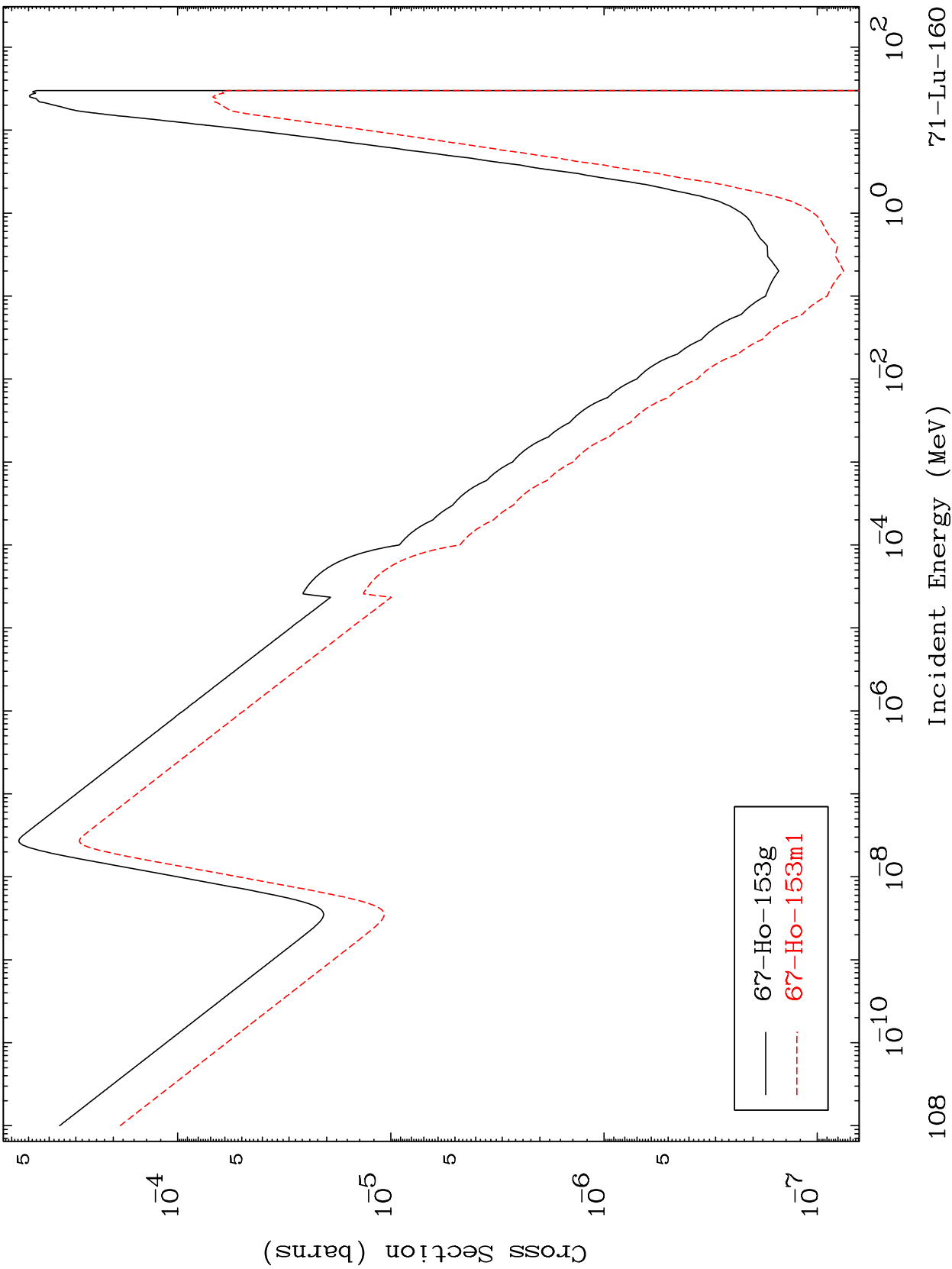
Incident Energy (MeV)

71-Lu-160

MAT 7080

71-Lu-160

Radionuclide Production Cross Section



108

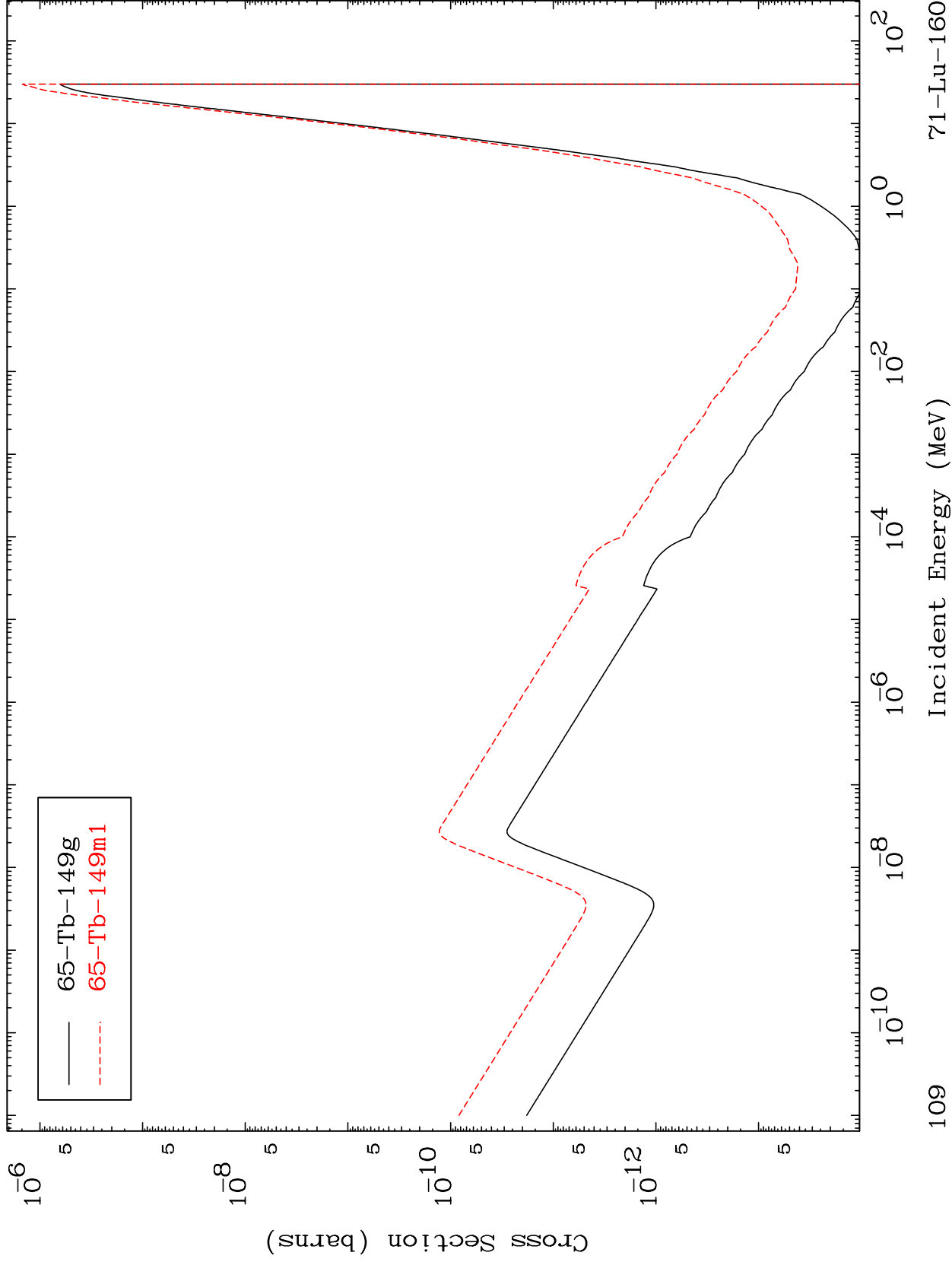
71-Lu-160

MAT 7080

(n, 3α)

<sup>71</sup>Lu-160

Radionuclide Production Cross Section



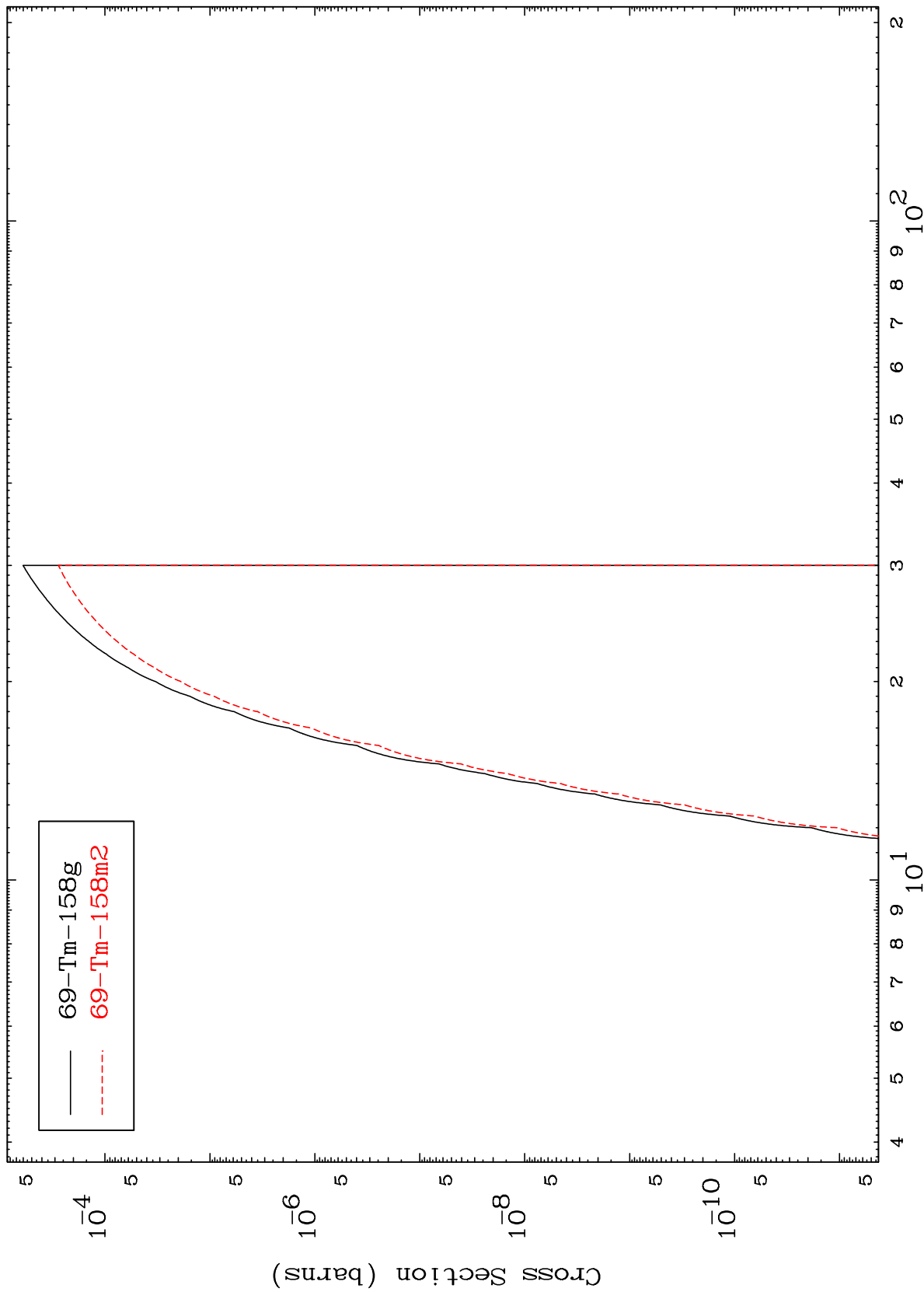
109

MAT 7080

(n,p) d

71-Lu-160

Radionuclide Production Cross Section



110

Incident Energy (MeV)

71-Lu-160